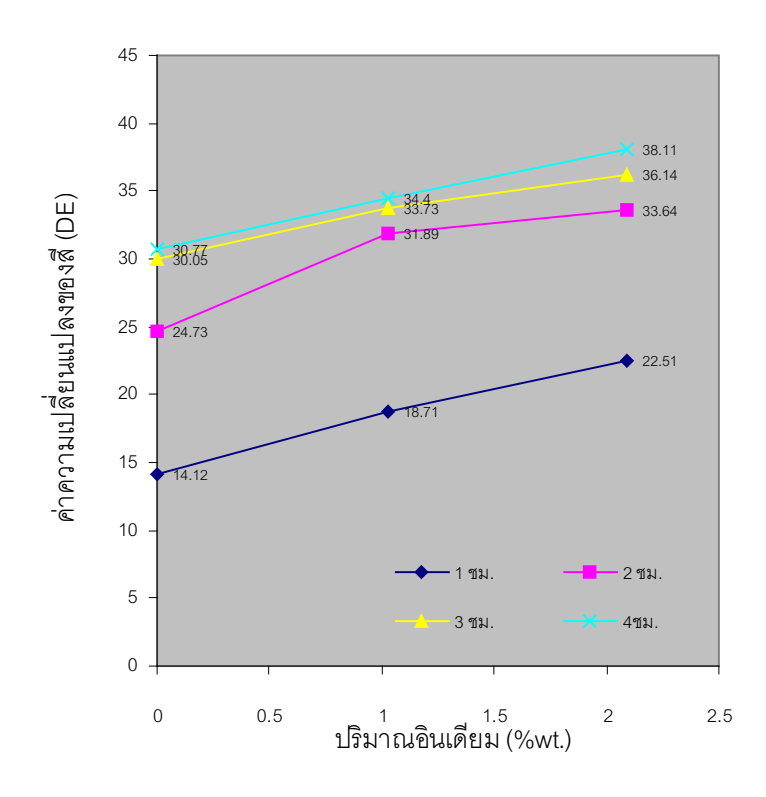
3.15.6 ความต้านทานการหมองของเงินสเตอร์ลิงผสม

ชิ้นงานหล่อเงินสเตอร์ลิงที่ได้มีการผสมซิลิคอนและอินเดียมในปริมาณต่าง ๆกัน เมื่อนำมาทำ การเตรียมผิวด้วยการขัดด้วยกระดาษทราย ตั้งแต่เบอร์ 400 จนถึงเบอร์ 1200 และใช้เวลาทดสอบการ หมองต่างกัน คือ 1, 2, 3 และ 4 ชั่วโมง พบว่าชิ้นงานหล่อที่ทำการทดสอบจะมีสีต่างกัน ดังรูปที่ 3.27 ได้ แสดงให้เห็นความแตกต่างของสีผิวขึ้นงานเงินสเตอร์ลิงที่มีการผสมอินเดียมในปริมาณแตกต่างกัน ระหว่าง 0 - 3.09 % wt. พบว่าความสามารถในการต้านทานการหมองของเงินสเตอร์ลิงจะลดลงตาม ปริมาณของอินเดียมที่ผสมลงไปในปริมาณระหว่าง 0 - 3.09 % wt. จากกราฟรูปที่ 3.28 ทั้งนี้จากการ วิเคราะห์จากโครงสร้างจุลภาค จะสังเกตเห็นปริมาณของ Secondary Structure กระจายตัวอยู่ทั่วเนื้อ พื้น โดยที่ Secondary Structure เหล่านี้จะมีการกระจายตัวอย่างหนาแน่นสูงขึ้นเมื่อเปรียบเทียบกับชุด ส่วนผสมของเงินสเตอร์ลิงธรรมดาที่ไม่ผสมอินเดียม และจาก EDX พบว่าใน Secondary Structure เหล่านี้จะมีส่วนผสมของทองแดง และอินเดียมในระหว่าง 25.98 - 38.73 % wt. และ 0.44 - 1.32 % wt. ตามลำดับ ซึ่งผลของทองแดงที่มีอยู่สูงใน Secondary Structure นี้เองทำให้ความสามารถในการป้องกัน การหมองของชิ้นงานลดลง เนื่องจากโครงสร้างที่มีทองแดงอยู่ในปริมาณที่สูงและขนาดใหญ่นี้ จะไว ต่อการเกิดปฏิกิริยา Oxidation และ Sulphidation มากกว่า เมื่อเปรียบเทียบกับชิ้นงานจากชุดส่วน ผสมที่เป็นเงินสเตอร์ลิงธรรมดา (6.90 % Cu – balance of Ag) ขณะที่หากใช้ EDX ตรวจสอบปริมาณ ของธาตุผสมในเนื้อพื้น จะปรากฏปริมาณของเงินและทองแดงใกล้เคียงกันในชุดส่วนผสมที่มีการผสม ปริมาณของอินเดียม 0-3.09~% wt.รวมทั้งในเงินสเตอร์ลิงธรรมดาเช่นกัน



รู**ปที่ 3.27** ภาพถ่ายแสดงสีผิวชิ้นงานหล่อเงินสเตอร์ลิงที่เติมอินเดียม 0, 1 และ 2 %wt. (มีอยู่ จริง

ในชิ้นงาน 0, 1.03 และ 3.09 ตามลำดับ) โดยใช้เวลาทดสอบ 1, 2, 3 และ 4 ชม.



รูปที่ 3.28 กราฟแสดงผลการวัดค่าความเปลี่ยนแปลงของสี (DE) ของชิ้นงานเงิน สเตอร์ลิงที่ มีการผสมอินเดียม 0, 1.03 และ 2 .09% wt. โดยใช้เวลาทดสอบ 1, 2, 3 และ4 ซม.

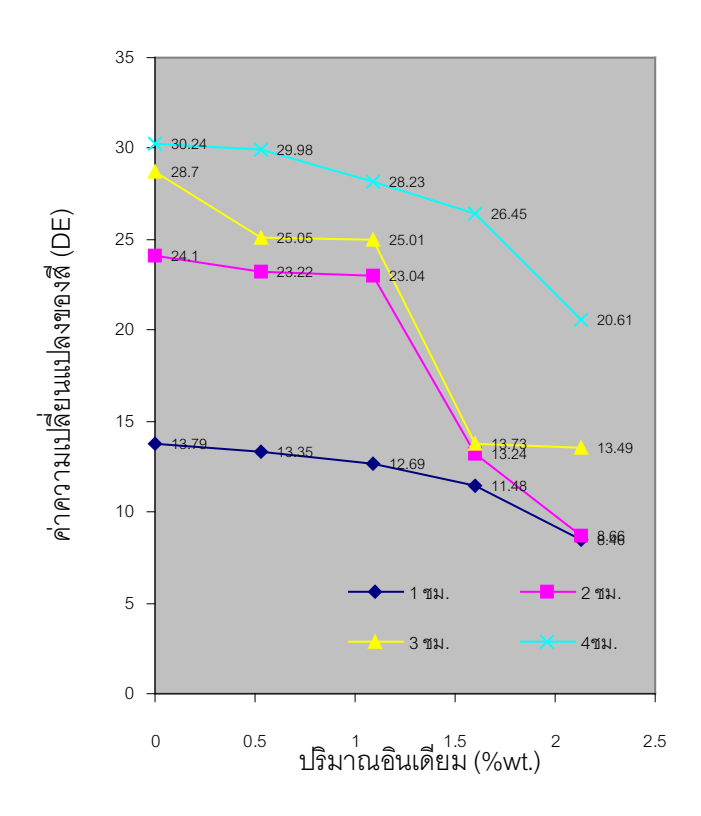
สำหรับชิ้นงานเงินสเตอร์ลิงที่มีการผสมเฉพาะซิลิคอนคือชุดส่วนผสม 6.26% Cu – 0.11% Si – balance of Ag ซึ่งจากการตรวจสอบส่วนผสมพบว่าคงเหลือปริมาณซิลิคอนเพียง 0.11 % wt. เท่านั้น แต่เมื่อนำไปเปรียบเทียบกับชุดส่วนผสมที่เป็นเงินสเตอร์ลิงธรรมดาพบว่าเงินสเตอร์ลิงที่มีการผสม เฉพาะซิลิคอนจะมีความสามารถในการต้านทานการหมองดีกว่า โดยสังเกตจากสีของผิวชิ้นงานที่ ปรากฏและจากค่าการเปลี่ยนแปลงของสี (DE) ที่มีค่าน้อยกว่า ดังแสดงไว้ในตารางที่ 3.11

หากทำการเปรียบเทียบระหว่างชุดส่วนผสมของเงินสเตอร์ลิงที่มีปริมาณที่เหลืออยู่ของ ซิลิคอนใกล้เคียงกัน แต่มีปริมาณของอินเดียมแตกต่างกัน (ชิ้นงานทดสอบจากส่วนผสมที่มีปริมาณ ซิลิคอนระหว่าง 0.09 – 0.11% wt. และ ปริมาณอินเดียมที่มีอยู่ในชิ้นงานระหว่าง 0 - 3.13% wt. ตาม ลำดับ) จากสีของชิ้นงานที่ปรากฏดังรูปที่ 3.29 สามารถสังเกตได้ว่า ความสามารถในการต้านทานการ หมองชิ้นงานที่มีซิลิคอนเท่า ๆกัน จะเพิ่มขึ้นตามปริมาณอินเดียมที่ผสมลงไปในช่วง 0- 3.13% wt. ทั้งนี้ จากการตรวจสอบค่า DE ดังกราฟรูปที่ 3.30 ก็แสดงผลไปในทางเดียวกันคือ ค่าการเปลี่ยนแปลงของสี

(DE) จะลดลงตามปริมาณของอินเดียมที่ผสมลงไปในช่วงระหว่าง 0 – 3.13% wt. และจากการตรวจ สอบโครงสร้างจุลภาคของชิ้นงานชุดดังกล่าวจะพบปริมาณของ Secondary Structure กระจายตัวอย่าง หนาแน่นขึ้นตามปริมาณของอินเดียมที่เติมลงไป โดยสังเกตได้ขัดว่า Secondary Structure เหล่านี้จะ ประกอบด้วยทองแคงและซิลิคอนในปริมาณที่สูงมากกว่าในเนื้อพื้นมาก โดยเฉพาะในชุดชิ้นงานที่ เติมอินเดียมสูงที่สุดคือ ซิ้นงานของชุดส่วนผสม 3.76% Cu - 0.11% Si – 3.13% In – balance of Ag) จากการตรวจสอบส่วนผสมโดย EDX พบสัดส่วนปริมาณของธาตุผสมใน Secondary Structure บริเวณ แถบสีขาวคือ Ag : Cu : Si : In เท่ากับ 93.22 : 4.33 : 0.08 : 3.37% wt. และมีสัดส่วนปริมาณของธาตุผสมที่พบในเนื้อพื้นคือ Ag : Cu : Si : In เท่ากับ 93.55 : 4.85 : 0.15 : 1.45% wt. สามารถพิจารณาได้ว่า Matrix และ Secondary Structure ที่มีปริมาณของอินเดียมและซิลิคอนเหลืออยู่มากที่สุดจะมีความ สามารถในการต้านทานการหมองดีที่สุด โดยที่ความสามารถในการละลายของซิลิคอนจะขึ้นอยู่กับ ปริมาณของทองแดงในโครงสร้างดังกล่าว (ต้องมีทองแดงละลายอยู่สูง ๆ) โดยซิลิคอนจะมีผลต่อ ความสามารถในการต้านทานการหมองมากที่สุดโดยมีอินเดียมเป็นตัวช่วยเสริมให้ต้านทานการหมอง ดีทิ่งขึ้น



รูปที่ 3.29 ภาพถ่ายแสดงสีผิวชิ้นงานหล่อเงินสเตอร์ลิงที่มีปริมาณของซิลิคอนใกล้เคียงกัน (0.09 - 0.11% wt.) แต่มีปริมาณของอินเดียมแตกต่างกันได้แก่ 0, 0.5, 1, 1.5 และ 3.0 % wt.(มีอยู่จริงในชิ้นงาน 0, 0.53, 1.09, 1.60 และ 3.13 % wt.ตามลำดับ)โดยใช้ เวลาทดสอบ 1, 2, 3 และ 4 ซม.



รูปที่ 3.30 กราฟแสดงผลการวัดค่าความเปลี่ยนแปลงของสี (DE) ของชิ้นงานเงินสเตอร์ลิงที่มี ปริมาณ ของซิลิคอนใกล้เคียงกัน (0.09 – 0.11% wt.) แต่มีปริมาณของอินเดียมแตกต่างกันได้แก่ 0, 0.53, 1.09, 1.60 และ 3.13 % wt. โดยใช้เวลาทุดสอบ 1, 2, 3 และ 4 ซม.

3.16 สรุปผลการทดลอง

- 1. อินเดียมจะมีบทบาทในการลดอุณหภูมิ ณ จุดหลอมเหลวสมบูรณ์ (liquidus) ของเงินส เตอร์ลิง ทำให้สามารถลดอุณหภูมิในการขึ้นรูปผลิตภัณฑ์ได้ เนื่องจากการไหลตัวของโลหะหลอมเหลว ดีขึ้น แต่จะไม่มีผลกับเงินสเตอร์ลิงที่มีซิลิคอนผสมอยู่
- 2. ซิลิคอนและทองแดงใน Solid Solution และ Secondary Structure ของเงินสเตอร์ลิงมีผลต่อ การเพิ่มความแข็ง และความต้านทานแรงดึงของเงินสเตอร์ลิง โดยซิลิคอน 0.09 - 0.11% wt. ทำให้เงิน สเตอร์ลิงมีความแข็งเพิ่มขึ้น 38.4% และมีความต้านทานแรงดึงเพิ่มขึ้น 75 %
- 3. ในกรณีที่ผสมอินเดียมมีผลทำให้ความแข็ง และความต้านทานแรงดึงของเงินสเตอร์ลิงลด ลงเนื่องจากอินเดียมดึงเอาทองแดงและซิลิคอนในเนื้อพื้นออกมาอยู่ในSecondary Structure มากขึ้น ตามปริมาณอินเดียมที่ผสมลงไป นอกจากนี้การเตรียมส่วนผสมของเงินสเตอร์ลิงก่อนการหล่อได้ลด ปริมาณสัดส่วนของทองแดงลงโดยการผสมอินเดียมลงไปแทนที่ก็เป็นปัจจัยหนึ่งที่ทำให้เงินสเตอร์ลิงมี ความแข็ง และความต้านทานแรงดึงลดลง

4. ในกรณีที่ผสมซิลิคอน 0.09 - 0.11% wt. เป็นผลทำให้ความต้านทานการหมองของเงิน สเตอร์ลิงสูงขึ้น และเมื่อมีการผสมอินเดียมร่วมด้วย 0 - 3.13% wt ช่วยทำให้ความต้านทานการหมอง ของชิ้นงานเงินสเตอร์ลิงสูงยิ่งขึ้นตามปริมาณอินเดียมที่ผสมลงไปโดยมีความต้านทานการหมองสูงขึ้น 33 - 40% เมื่อเปรียบเทียบกับเงิน สเตอร์ลิงธรรมดา และสูงขึ้น 31.84 - 38.65% เมื่อเปรียบเทียบกับ เงินสเตอร์ลิงที่ผสมเฉพาะซิลิคอนในปริมาณ (0.09 - 0.11% wt.)

บทที่ 4

การศึกษาอิทธิพลของธาตุแมงกานีส ต่อสมบัติทางกลและความต้านทานการ หมอง ของโลหะผสมเงินสเตอร์ลิง (เงิน 92.5% – ทองแดง – แมงกานีส)

4.1 ความสำคัญของงานวิจัย

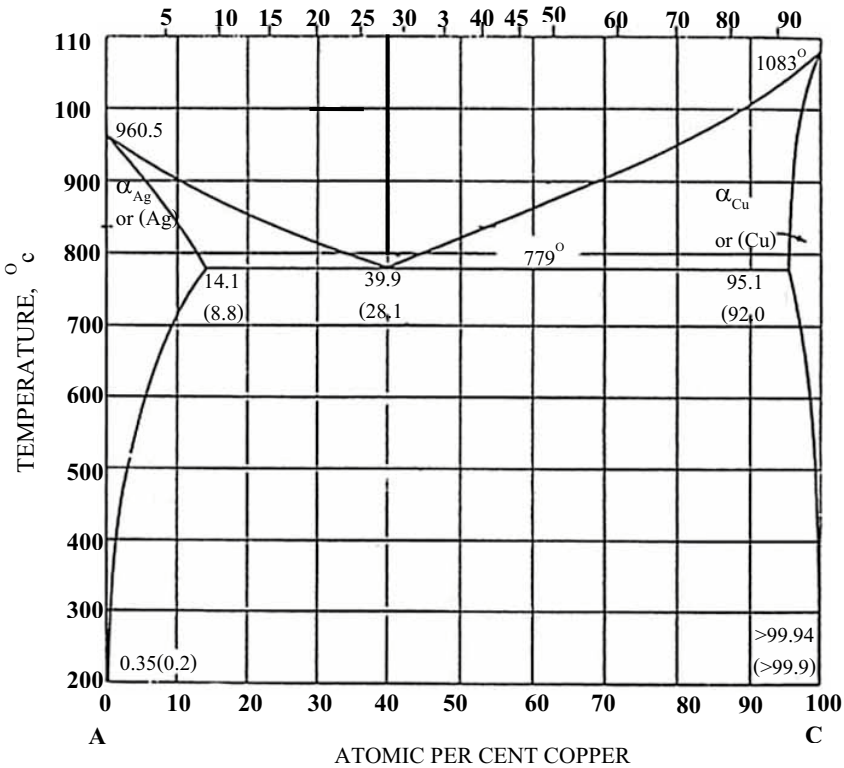
ในปัจจุบันอุตสาหกรรมอัญมณีและเครื่องประดับ เป็นอุตสาหกรรมที่มีบทบาทสำคัญในการ เติบโตทางเศรษฐกิจของประเทศไทย โดยอุตสาหกรรมด้านเครื่องประดับชนิดที่ผลิตจากโลหะเงินมี มากขึ้น และมีมูลค่าการส่งออกเป็นจำนวนมากในแต่ละปี ทั้งยังมีแนวโน้มที่ดีในการพัฒนาอุตสาห กรรมของประเทศ โดยโลหะผสมสำคัญที่ใช้ในอุตสาหกรรมนี้ คือ โลหะผสมเงินสเตอร์ลิง (Sterling Silver) ซึ่งเป็นโลหะเงินผสมเพียงชนิดเดียวที่มีความสำคัญในอุตสาหกรรมเครื่องประดับ

โลหะผสมเงินสเตอร์ลิง ได้ถูกกำหนดมาตรฐานไว้ว่า ต้องมีส่วนผสมของโลหะเงินบริสุทธิ์ 92.5 เปอร์เซ็นต์โดยน้ำหนัก ที่เหลือ 7.5 เปอร์เซ็นต์โดยน้ำหนักเป็นธาตุอื่น แต่โดยปกติธาตุที่ใช้ผสมคือ ทองแดงซึ่งทำให้มีความแข็งเพิ่มขึ้น

เนื่องจากโลหะเงินบริสุทธิ์มีความอ่อนมาก ไม่สามารถนำไปผลิตเป็นเครื่องประดับได้ จึงได้นำ ทองแดงมาผสม เพื่อเพิ่มความแข็ง ด้วยกลไกการเพิ่มความแข็งโดยการตกตะกอน(Precipitation hardening) พิจารณาความสัมพันธ์ระหว่างส่วนผสมและอุณหภูมิ จากแผนภูมิสมดุลเฟสของระบบ ธาตุเงิน – ทองแดง ดังรูปที่ 4.1 ซึ่งแสดงการเกิดปฏิกิริยายูเทคติคที่อุณหภูมิ 779.1°C สัดส่วนผสมยูเท คติคเกิดที่ส่วนผสมทองแดง 28.1 เปอร์เซ็นต์โดยน้ำหนัก ความสามารถในการละลายได้สูงสุดของ ทองแดงในเงิน คือ 8.8 เปอร์เซ็นต์โดยน้ำหนัก ขณะที่ความสามารถในการละลายของเงินในทองแดงอยู่ ที่ 8 เปอร์เซ็นต์โดยน้ำหนัก และความสามารถในการละลายจะลดลงตามอุณหภูมิที่ลดลง ตามเส้น Solvus ดังรูป

การผลิตเครื่องประดับจากเงินสเตอร์ลิงมีหลายกระบวนการ เช่น การหลอมโดยใช้เตาที่อาศัย หลักการเหนี่ยวนำไฟฟ้า (Induction Furnace) ในระบบสุญญากาศ บรรยากาศปกติ หรือใช้ก๊าซเฉื่อย ปกคลุมด้วยก็ได้ โดยข้อดีของการใช้ไฟฟ้าเหนี่ยวนำในการหลอมโลหะ คือ การหลอมทำได้รวดเร็ว สามารถควบคุมส่วนผสมและอุณหภูมิได้ง่าย มีการสูญเสียโลหะที่ใช้ในการหลอมน้อย และมีสภาพ การทำงานที่สะดวกสบายขึ้น

WEIGHT PER CENT COPPER



รูปที่ 4.1 แผนภูมิสมดุลเฟสระบบเงิน – ทองแดง

ทั้งขั้นตอนการหลอมโลหะ และการหล่อโลหะ ต้องทำการควบคุมบรรยากาศอย่างดี ในกรณีที่ การควบคุมบรรยากาศไม่เหมาะสม เช่น ทำการหลอมและหล่อโลหะในบรรยากาศที่มีออกซิเจนอยู่ และใช้อุณหภูมิหลอมที่สูงเกินไป จะทำให้ออกซิเจนละลายเข้าไปในโลหะหลอมเหลว ก่อให้เกิด ปัญหาต่าง ๆ เช่น เกิด Cupric Oxide (CuO) และ Cuprous Oxide (Cu2O) ซึ่งมีสีน้ำตาลถึงเทาดำ และสี ชมพูอมแดง ตามลำดับ ปฏิกิริยาที่เกิดขึ้นแสดงดังสมการที่ (4.1) และ (4.2) โดยออกไซด์ที่เกิดขึ้น จะมีผลต่อโลหะเงิน สเตอร์ลิง ทำให้คุณสมบัติทางกลของโลหะลดลง อีกทั้งยังมีผลต่อความสวยงาม ด้วย

$$2Cu + O_2 -----> 2CuO$$
 (4.1)

$$4Cu + O_2 ----- 2Cu_2O$$
 (4.2)

ปัญหาอื่น ๆ ที่สำคัญ ได้แก่ การเกิดโพรงหรือรูพรุน (Porosity) เนื่องจากก๊าซ และจากการหด ตัว โดยกรณีของโพรงหรือรูพรุนเนื่องจากก๊าซ (Gas Porosity) เกิดจากการที่ก๊าซรวมตัวกันเป็นฟอง อากาศอยู่ในน้ำโลหะ และขณะโลหะหลอมเหลวเริ่มแข็งตัวนั้น ก๊าซที่ละลายในโลหะหลอมเหลวและ มลทินต่าง ๆ จะถูกปล่อยออกจากน้ำโลหะ แต่ถ้าไม่สามารถปล่อยออกได้ทัน เนื่องจากขณะทำการ หลอม ใช้อุณหภูมิหลอมสูงเกินไป ทำให้ก๊าซที่ละลายอยู่ในโลหะหลอมเหลว มีปริมาณมากเกินไป ก๊าซ นั้นจึงติดอยู่ในงานหล่อและเกิดเป็นโพรงหรือรูพรุนขึ้น การป้องกันทำได้โดยไม่ให้อากาศสัมผัสโดยตรง กับโลหะหลอมเหลว ขณะทำการหลอมและหล่อโลหะผสม ส่วนกรณีของโพรงหรือรูพรุนเนื่องจากการ หดตัว (Shrinkage Porosity) เกิดจากการหดตัวของโลหะขณะที่โลหะแข็งตัว แต่การชดเชยโลหะหลอม เหลวเกิดขึ้นไม่สมบูรณ์ จึงทำให้เกิดโพรงหรือรูพรุนขึ้น

นอกจากนี้ปัญหาที่สำคัญอีกอย่างหนึ่ง คือ ปัญหาการหมอง ซึ่งเกิดขึ้นที่ผิวของโลหะ เนื่อง จากเกิดจากการทำปฏิกิริยาของเงิน กับบรรยากาศที่มีกำมะถัน (S) สูง เช่น ไฮโดรเจนซัลไฟด์ (H_2S) เกิดเป็นสารประกอบ Ag_2S ซึ่งมีสีน้ำตาลเข้มแกมเขียวถึงดำทำให้เครื่องเงินหรือเครื่องประดับเงินหมอง

จากปัญหาการเกิดออกไซด์ของทองแดง และซัลไฟด์ของเงิน ได้มีการแก้ไขปัญหาที่เกิดขึ้น ด้วยการเติมธาตุผสมบางชนิดลงไป เพื่อให้ธาตุผสมนี้จับตัวกับออกซิเจน เกิดเป็นสารประกอบออกไซด์ ทำให้ปริมาณออกซิเจนในโลหะหลอมเหลวลดลง และยังช่วยหน่วงปฏิกิริยาออกซิเดชัน ระหว่าง ทองแดงและออกซิเจนให้ซ้าลง นอกจากนี้ธาตุผสมที่เติมลงไปนี้ยังสามารถหน่วงการเกิดปฏิกิริยาของ เงินกับกำมะถันได้อีกด้วย

จากการศึกษาข้อมูลเบื้องต้น ธาตุผสมที่ใช้กันโดยทั่วไป ได้แก่ เจอร์มาเนียม (Ge) สังกะสี (Zn) อะลูมิเนียม (Al) แคดเมียม (Cd) และซิลิคอน (Si) และฟอสฟอรัส (P) ซึ่งธาตุผสมเหล่านี้มี สมบัติเป็นตัวลดออกชิเจน(Deoxidizer)

โดยในปี 1930 เป็นต้นมา Price L.E และ Thomas G.J⁽²⁸⁾ ได้ศึกษาการเกิดออกซิเดชันของธาตุ อะลูมิเนียม พบว่าเกิดชั้นฟิล์มออกไซด์โปร่งใส ซึ่งช่วยในการป้องกันการเกิดการหมองได้ และในปี 1948 มีงานวิจัยที่สนับสนุนงานของ Price และ Thomas โดยพบว่าการเติมธาตุอะลูมิเนียม 2 เปอร์เซ็นต์ โดยน้ำหนัก แทนการเติมธาตุทองแดง จะช่วยป้องการการเกิดออกไซด์ที่มีสีหมองคล้ำถึงแดงที่ผิว ซึ่ง เรียกว่า firestain ในโลหะเงินสเตอร์ลิงได้ ⁽²⁹⁾ แต่หากปริมาณธาตุอะลูมิเนียมที่เติมลงไปมากกว่า 1.5 เปอร์เซ็นต์โดยน้ำหนักแล้ว จะทำให้โลหะเงินสเตอร์ลิงมีสีไม่สวยงาม และยังทำให้โลหะเงินสเตอร์ลิงมี ความแข็งสูงขึ้นมาก ยากต่อการขึ้นรูปเครื่องประดับเงินด้วยมือ

สำหรับธาตุเจอร์มาเนียม พบว่าสามารถลดออกซิเจนได้ดีกว่าธาตุอื่น ๆ ที่เคยศึกษามา ซึ่ง ฟิล์มออกไซด์ (GeO_x) ที่ได้จะโปร่งใส สามารถป้องกันการเกิด firestain ขณะทำการเชื่อมและอบอ่อน แต่ธาตุเจอร์มาเนียมมีราคาแพง และพบว่าโลหะเงินสเตอร์ลิงที่ผสมเจอร์มาเนียมมีความเปราะสูงใน สภาวะของแข็ง โดยโลหะเงินสเตอร์ลิงที่มีส่วนผสมของเงินบริสุทธิ์ 92.5 เปอร์เซ็นต์ และธาตุเจอร์มา เนียม 7.5 เปอร์เซ็นต์ จะมีความเปราะสูงและแตกในขณะทำการรีด จึงไม่นิยมนำมาใช้ในอุตสาห กรรม

นอกจากนี้ธาตุซิลิคอน ก็มีคุณสมบัติเป็นตัวลดออกซิเจน และยังทำให้ผิวเงาขึ้นอีกด้วย เนื่อง จากมีแรงตึงผิวเกิดขึ้น แต่จากการศึกษาของ John C. Mccloskey, Paul R. WelchและShankar Aithal พบว่าธาตุซิลิคอนที่เติมลงในโลหะมีค่า มีคุณสมบัติในการเพิ่มขนาดเกรนทำให้โลหะมีพฤติกรรม เปราะ สำหรับธาตุฟอสฟอรัสสามารถลดออกซิเจนได้ แต่จะไม่ทำให้เกิดความเงาที่ผิวโลหะ ส่วนธาตุ สังกะสีและแคดเมียมเป็นตัวลดออกซิเจนที่ดี แต่จะมีผลต่อความแข็งแรง โดยจะทำให้โลหะเงินสเตอร์ ลิงอ่อนลง ไม่เหมาะในการทำเครื่องประดับเงิน (32)

จากการศึกษาคุณสมบัติของธาตุแมงกานีส (Mn) พบว่าธาตุแมงกานีสสามารถทำปฏิกิริยา กับออกซิเจนได้ง่าย จึงมีสมบัติเป็นตัวลดออกซิเจน และจากข้อมูลพบว่าแมงกานีสมีความสามารถใน การเพิ่มความต้านทานการหมองให้กับโลหะเงินสเตอร์ลิงได้ด้วย

4.2. วัตถุประสงค์

- 4.2.1 เพื่อศึกษาผลของธาตุผสมแมงกานีส ต่อคุณสมบัติทางกลของโลหะเงินสเตอร์ลิง
- 4.2.2 เพื่อศึกษาอิทธิพลของธาตุผสมแมงกานีสต่อโครงสร้างจุลภาคของโลหะเงินสเตอร์ลิง
- 4.2.3 เพื่อศึกษาความต้านทานการหมองของโลหะเงินสเตอร์ลิง ก่อนและหลังการเติม แมงกานีส
- 4.2.4 เพื่อหาปริมาณที่เหมาะสมของธาตุผสมแมงกานีสในการหล่อโลหะเงินสเตอร์ลิงที่ใช้ใน งานด้านเครื่องประดับ

4.3 ขอบเขตของโครงงานวิจัย

- 4.3.1 หลอมโลหะเงินสเตอร์ลิงที่มีปริมาณเงินบริสุทธิ์ 92.5 เปอร์เซ็นต์โดยน้ำหนัก และปริมาณ ทองแดง 7.5 เปอร์เซ็นต์โดยน้ำหนัก โดยใช้เตาเหนี่ยวนำไฟฟ้า (Induction Furnace) ในสภาวะ บรรยากาศปกติ เปรียบเทียบกับการหลอมโลหะเงินสเตอร์ลิงที่เติมธาตุผสมแมงกานีส ในช่วงปริมาณ 0.5 3.5 เปอร์เซ็นต์โดยน้ำหนัก ซึ่งทำให้ปริมาณทองแดงลดลงอยู่ในช่วง 7.0 4.0 เปอร์เซ็นต์โดยน้ำ หนัก ตามลำดับ
 - 4.3.2 ตรวจสอบส่วนผสมและโครงสร้างจุลภาคของโลหะผสมเงินสเตอร์ลิงที่ได้จากการหล่อ
 - 4.3.3 ศึกษาสมบัติทางกล โดยการทดสอบแรงดึงและการทดสอบความแข็งแบบวิกเกอร์
- 4.3.4 ศึกษาความต้านทานการหมองของโลหะเงินสเตอร์ลิง ก่อนและหลังการเติมธาตุผสม แมงกานีส
- 4.3.5 ทดสอบการกัดกร่อนของฟิล์มที่เกิดขึ้นหลังการเติมธาตุผสมแมงกานีส ด้วยวิธีทางเคมีไฟ ฟ้า โดยเทคนิคโพเทนซิโอไดนามิกส์ (Potentiodynamic Technique)

4.4 ประโยชน์ที่คาดว่าจะได้รับ

4.4.1 ทราบถึงปริมาณและความสามารถของธาตุผสมแมงกานีส ที่มีผลต่อคุณสมบัติทางกล ของเงินสเตอร์ลิง ได้แก่ ความต้านทานแรงดึง และความแข็ง

- 4.4.2 ทราบถึงอิทธิพลของธาตุผสมแมงกานีสที่ส่วนผสมต่าง ๆ ต่อโครงสร้างจุลภาคของโลหะ ผสมเงินสเตอร์ลิง
- 4.4.3 ทราบถึงความสามารถในการต้านทานการหมองของโลหะเงินสเตอร์ลิง ที่ปริมาณธาตุ ผสมแมงกานีสต่าง ๆ กัน
- 4.4.4 เป็นแนวทางในการศึกษาและปรับปรุงคุณสมบัติของโลหะเงินสเตอร์ลิง ในงานอุตสาห กรรมเครื่องประดับ

4.5 ทฤษฎีที่เกี่ยวข้อง

4.5.1 ความรู้เบื้องต้นเกี่ยวกับเงิน (Silver, Ag)

4.5.1.1 สมบัติทางกายภาพ

เงินเป็นโลหะที่มีสีขาวแวววาวสูง และมีความเสถียรมากโลหะหนึ่ง มีคุณสมบัติในการ บิดโค้งงอ ตีเป็นแผ่นบาง ๆ และดึงเป็นเส้นได้ดีมากรองจากทองคำ (Au) และพัลลาเดียม (Pd) เงินจัด อยู่ในกลุ่มโลหะมีค่า โดยเงินบริสุทธิ์สามารถนำไฟฟ้าและนำความร้อนได้ดีที่สุด แต่เนื่องจากมีราคา แพง จึงไม่ได้นำไปใช้ประโยชน์ในด้านนี้มากนัก ได้มีการนำโลหะเงินไปใช้ในอุตสาหกรรมต่าง ๆ โดย แบ่งประเภทของเงินได้หลายประเภท ได้แก่ เงินบริสุทธิ์ เงินบริตาเนีย (ปริมาณเงิน 95.8 เปอร์เซ็นต์โดย น้ำหนัก) เงินสเตอร์ลิง (ปริมาณเงิน 92.5 เปอร์เซ็นต์โดยน้ำหนัก) และเงินประเภทอื่น ๆ เช่น 800Ag, Pink Silver ฯลฯ

เงินบริสุทธิ์ มีจุดหลอมเหลว 960.8°C ส่วนเงินสเตอร์ลิงมีจุดหลอมเหลว 896°C ความ หนาแน่น ที่อุณหภูมิ 20°C เท่ากับ 10.5 กรัมต่อลูกบาศก์เซนติเมตร และมีโครงสร้างผลึกแบบ FCC (face-centered cubic)

4.5.1.2 สมบัติทางเคมี

- เงินเป็นธาตุที่เสถียรมาก จึงไม่เกิดการเปลี่ยนแปลงในอากาศแห้งและชื้น
- ถ้าอากาศมีออกซิเจนจะทำปฏิกิริยากับเงิน เกิดฟิล์มออกไซด์ดังสมการที่ (4.3)

$$4Ag + O_2 - - 2Ag_2O$$
 (4.3)

- ถ้าในอากาศมีซัลเฟอร์(S) ซึ่งได้จากไฮโดรเจนซัลไฟด์ (H_2S) เงินจะเกิดการเปลี่ยน แปลงที่ผิว โดยซัลเฟอร์จะทำปฏิกิริยากับ Ag เกิดฟิล์ม Ag_2S มีสีน้ำตาลเข้มแกมเขียวถึงดำเคลือบที่ผิว ทำให้เกิดการหมอง ปฏิกิริยาการเกิดฟิล์ม Ag_2S แสดงได้ดังสมการที่ $(4.4)^{(33)}$

$$2Ag + H_2S + 1/2O_2 ------> Ag_2S + H_2O$$
 (4.4)

- เงินทำปฏิกิริยากับกรดในตริกเกิดสารละลายซิลเวอร์ในเตรต ดังสมการที่ (4.5)

$$Ag + 2HNO_3 ------ AgNO_3 + NO_2(g) + H_2O$$
 (4.5)

- โลหะเงินสามารถเกิดสารประกอบและผสมกับโลหะได้หลายชนิด ที่สำคัญ คือ โลหะ ผสมเงิน - ทองแดง เช่น เงินสเตอร์ลิง เป็นต้น

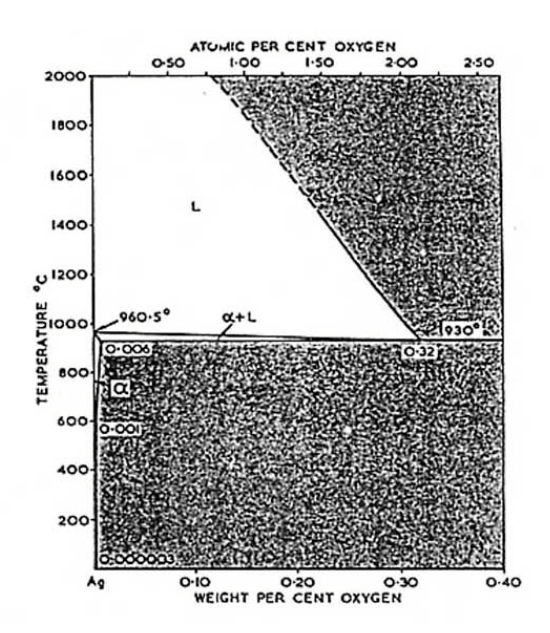
4.5.2 ปัญหาสำคัญที่เกิดขึ้นกับเงินสเตอร์ลิง

ปัญหาที่พบส่วนใหญ่ในการผลิตเครื่องประดับ จากการหลอมและหล่อโลหะ การตกแต่งขึ้นรูป และการใช้งานของเงินสเตอร์ลิง แบ่งได้ 3 ประเภท ได้แก่

- 1. การละลายของออกซิเจนในโลหะเงินหลอมเหลว
- 2. การเกิดคอปเปอร์ออกไซด์ที่ผิวโลหะ
- 3. การเกิดการหมองขึ้นที่ผิว

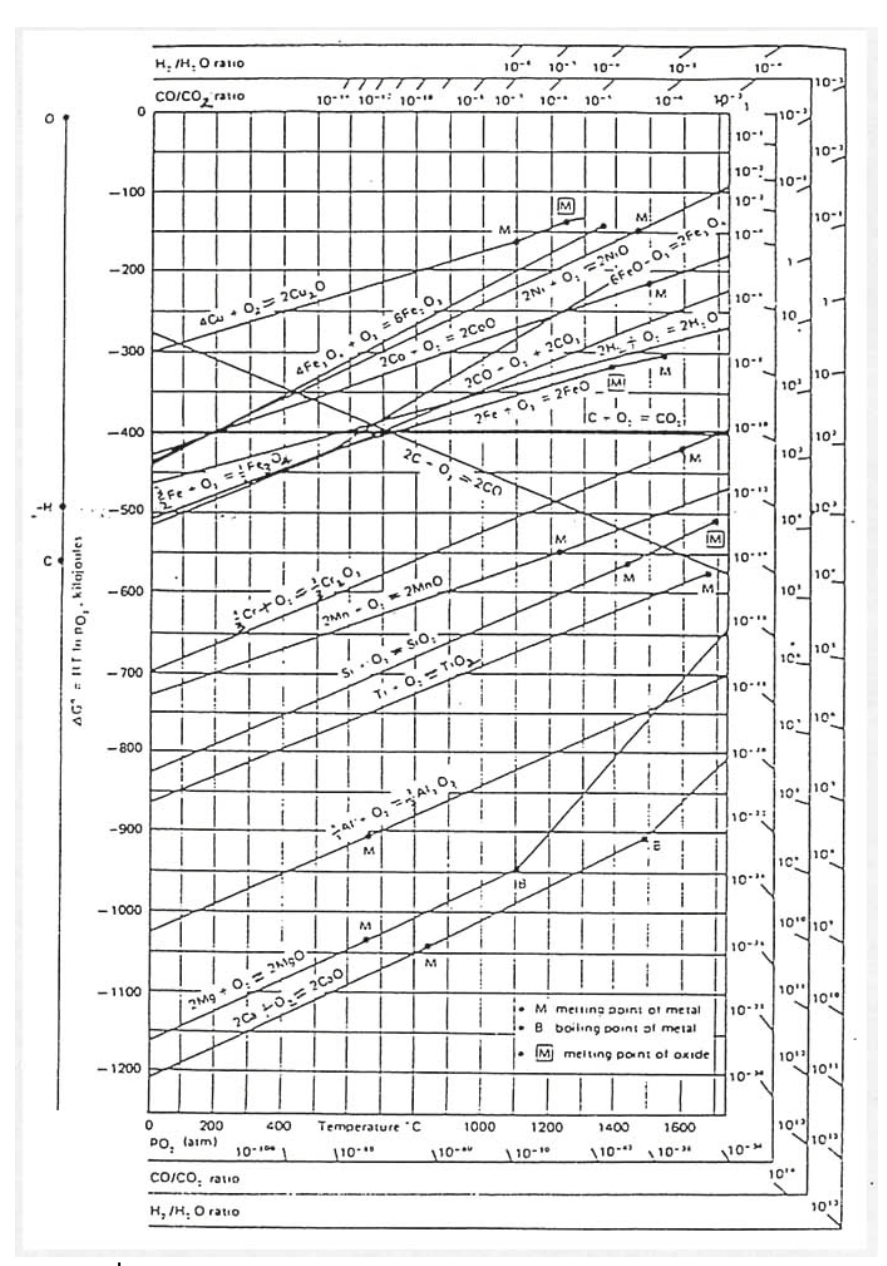
4.5.2.1 การละลายของออกซิเจนในโลหะเงินหลอมเหลว

การละลายของออกซิเจนในโลหะหลอมเหลว เกิดขึ้นในกระบวนการหลอมโลหะที่ อุณหภูมิเหนือจุดหลอมเหลวของโลหะเงินสเตอร์ลิง โดยออกซิเจนจะละลายเข้าไปในน้ำโลหะ น้ำ โลหะจะเกิดการแข็งตัว โดยปริมาณออกซิเจนที่มีในงานหล่อจะทำให้เกิดรูพรุนขึ้นในชิ้นงาน โดย ปริมาณของออกซิเจนที่ละลายในโลหะเงิน แสดงได้ดังแผนภูมิสมดุลเฟสของระบบเงินและออกซิเจน ดังรูปที่ 4.2 จะเห็นว่าที่อุณหภูมิห้อง โลหะเงินไม่สามารถดูดซับออกซิเจนได้เลย แต่เมื่ออุณหภูมิสูงขึ้น ออกซิเจนจะละลายในเงินได้มากขึ้น โดยเพิ่มขึ้นอย่างช้า ๆ จนถึงอุณหภูมิหลอมเหลวของเงิน คือ 960.8°C จะพบว่าออกซิเจนละลายในโลหะเงินได้มากถึง 10 เท่าของออกซิเจนที่ละลายในโลหะเงินที่ อุณหภูมิห้องโดยปริมาตร (34)



รูปที่ 4.2 แผนภูมิสมดุลเฟสของระบบเงินและออกซิเจน

แนวทางในการแก้ไขปัญหาการละลายของออกซิเจนในเงินสเตอร์ลิงหลอมเหลว คือ การป้องกันไม่ให้น้ำโลหะสัมผัสกับบรรยากาศที่มีออกซิเจน ทำได้โดยใช้การหลอมโลหะและหล่อโลหะ ในสภาวะสุญญากาศ หรือหลอมในบรรยากาศที่ใช้ก๊าซเฉื่อยปกคลุม ซึ่งต้องลงทุนสูงมาก เพราะต้อง ใช้เครื่องมือพิเศษในการหล่อ อีกวิธีหนึ่งคือการเติมธาตุผสมบางชนิดลงไป ซึ่งธาตุผสมนี้จะได้รวมตัว กับออกซิเจน แล้วลอยออกมาจากน้ำโลหะได้ดี ธาตุเหล่านี้เรียกว่า ตัวลดออกซิเจน (Deoxidizer) ได้แก่ อะลูมิเนียม เจอร์มาเนียม สังกะสี แคดเมียม และซิลิคอน จากข้อมูลทางเทอร์โมไดนามิกส์จากแผน ภูมิของ Ellingham ในรูปที่ 4.3 พบว่าธาตุแมงกานีส สามารถรวมตัวกับออกซิเจนได้ง่าย จึงมีความ สามารถในการเป็นตัวลดออกซิเจนได้เช่นกัน



รูปที่ 4.3 แผนภูมิของ Ellingham สำหรับการเกิดออกไซด์ของธาตุต่าง ๆ

4.5.2.2 การเกิดคอปเปอร์ออกไซด์ที่ผิวโลหะ

การเกิดคอปเปอร์ออกไซด์ที่ผิว ทำให้เงินสเตอร์ลิงมีสีผิวเป็นสีเทาดำ และสีชมพูอมแดง ซึ่งเป็นสีของ CuO (Cupric oxide) และ Cu₂O (Cuprous oxide) ตามลำดับ ปฏิกิริยาออกซิเดชันนี้ เกิด ขึ้นขณะให้ความร้อนแก่โลหะที่อุณหภูมิประมาณ 600 – 800°C ในสภาวะบรรยากาศ โดยฟิล์ม ออกไซด์ของ CuO ที่เกิดขึ้นสามารถขจัดออกได้ง่าย โดยการจุ่มลงในสารละลายร้อนของกรดกำมะถัน 7% โดยปริมาตร เรียกวิธีการนี้ว่า การกัดผิวด้วยสารเคมี (Pickling)

สำหรับแนวทางในการป้องกัน คือการเติมธาตุผสมบางชนิดที่สามารถจับตัวกับ ออกซิเจนได้ดีลงไป เกิดฟิล์มออกไซด์บาง ๆ ขึ้นที่ผิว ซึ่งจะหน่วงการเกิดปฏิกิริยาออกซิเดชันของ ทองแดงกับออกซิเจนให้ซ้าลงได้

4.5.2.3 การเกิดการหมองขึ้นที่ผิว

ปัญหาที่สำคัญอีกอย่างหนึ่ง คือ การเกิดการหมองขึ้นที่ผิวโลหะ (Tarnishing) โดยที่ภาย ใต้สภาวะปกติ เงินสเตอร์ลิงจะเกิดการหมองได้ง่ายกว่าในเงินบริสุทธิ์ เนื่องจากเงินสเตอร์ลิงมีปริมาณ ธาตุทองแดงผสมอยู่ด้วย โดยอัตราการหมองของโลหะผสมเงินและทองแดง จะเป็นสัดส่วนกับปริมาณ ของทองแดง และอัตราการหมองของเงินบริสุทธิ์และโลหะผสมเงินจะเพิ่มขึ้นเมื่อมีความชื้นในอากาศ สูง และโลหะเงินเกิดการสัมผัสกับบรรยากาศที่มีซัลเฟอร์สูง พวกสารประกอบซัลเฟอร์ เช่น ไฮโดรเจนซัลไฟด์ (H_2 S) จะทำให้เกิด Ag_2 S ซึ่งมีสีน้ำตาลเข้มแกมเขียวจนถึงดำเคลือบผิวโลหะ และซัล เฟอร์ไดออกไซด์ (SO_2) จะทำให้เกิดเงินซัลเฟตเคลือบที่ผิว แล้วเกิดการหมองขึ้น ทำให้เครื่องเงินมีสีผิว เปลี่ยนไป

วิธีแก้ปัญหาการหมองของเงินสเตอร์ลิง ทำได้โดยการชุบด้วยโลหะอื่น เช่น ทอง (Au) แพลทตินัม (Pt) โรเดียม (Rh) หรือชุบด้วยน้ำยากันหมอง นอกจากนี้การเติมธาตุผสมบางชนิดลงไป ทำ ให้เกิดฟิล์มออกไซด์ของธาตุผสม สามารถหน่วงการเกิดปฏิกิริยาระหว่างเงินกับสารประกอบที่มี กำมะถันได้ สำหรับงานวิจัยนี้ได้ทำการศึกษาการเติมธาตุผสมแมงกานีส

4.5.2.4 วิธีวัดความสามารถในการต้านทานการหมอง การวัดความสามารถในการต้านทานการหมอง มีหลายวิธี ได้แก่

4.5.2.4.1 การวัดค่าการเปลี่ยนแปลงสีผิว ^(38, 39)

วิธีนี้ใช้การวัดค่าความสว่าง L* และค่าสี a*, b* ที่สะท้อนจากผิวโลหะ จากการ ตรวจสอบด้วยเครื่องสเปคโตร โฟโตมิเตอร์ (Spectrophotometer) ทั้งก่อนและหลังการทดสอบใน บรรยากาศที่มีซัลเฟอร์ ซึ่งได้จากการละลายโซเดียมซัลไฟด์นาโนไฮเดรต ($Na_2 \cdot 9H_2O$) ด้วยน้ำ นำค่าที่ ได้ไปคำนวณค่าการเปลี่ยนแปลงสีผิวของชิ้นงาน (Color difference, DE*) ด้วยมาตรฐานการวัดสี ระบบ CIELAB (The Commission International d' Eclairage) ซึ่งแสดงได้ด้วยสูตร

$$DE^* = [(L^*_2 - L^*_1)^2 + (a^*_2 - a^*_1)^2 + (b^*_2 - b^*_1)^2]^{1/2}$$
(4.6)

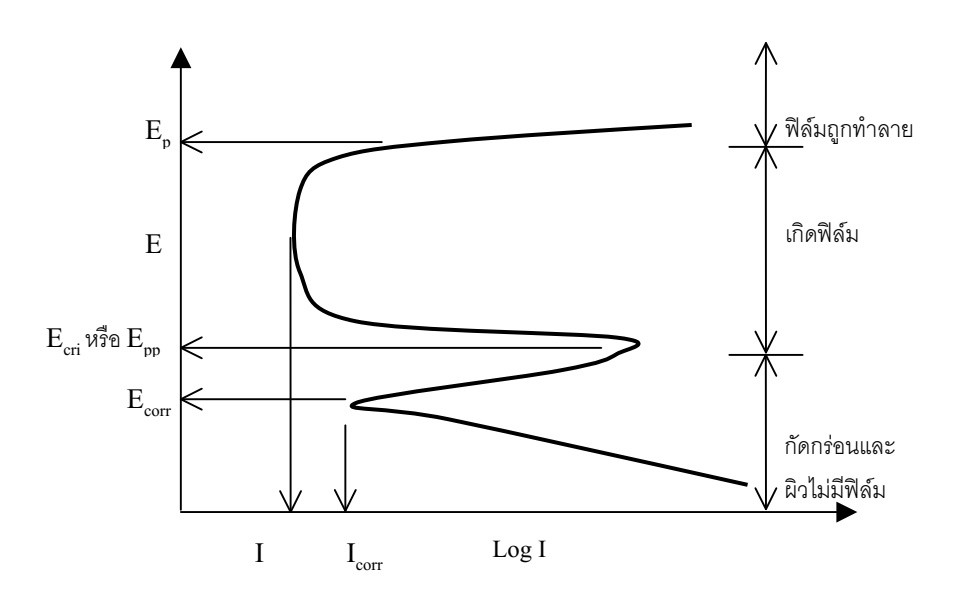
เมื่อ L*1, L*2 คือ ความสว่าง ก่อนและหลังการทดสอบการหมองตามลำดับ a*1, a*2 คือ ค่าสีแดง – เขียว ก่อนและหลังการทดสอบการหมองตามลำดับ b*1, b*2 คือ ค่าสีเหลือง – น้ำเงิน ก่อนและหลังการทดสอบการหมองตามลำดับ สำหรับการวัดค่าการเปลี่ยนแปลงสีในระบบนี้ จะใช้หลักการอธิบายเชิงคณิตศาสตร์ซึ่ง เป็นที่นิยมมากที่สุดในการใช้ตรงกันข้ามอธิบาย ได้แก่ สีเขียว – แดง สีเหลือง – น้ำเงิน และสีขาว – คำ ความหมายของค่าสี คือ

 $L^* =$ กวามสว่าง (Lightness) $L^* = 0$ (ดำ), $L^* = 100$ (ขาว) $a^* =$ ค่าสีแดง -เขียว ถ้าสีแดง ค่า a^* จะเป็นค่าบวก ตั้งแต่ 0 ถึง 100 ถ้าสีเขียว ค่า a^* จะเป็นค่าลบ ตั้งแต่ -100 ถึง 0 $b^* =$ ค่าสีเหลือง - น้ำเงิน ถ้าสีเหลือง ค่า b^* จะเป็นค่าบวก ตั้งแต่ 0 ถึง 100 ถ้าสีน้ำเงิน ค่า b^* จะเป็นค่าลบ ตั้งแต่ -100 ถึง 0

โดยค่า L*, a* และ b* ที่วัดได้สามารถนำมาประยุกต์ใช้กับการวัดความแตกต่างของสีจากวัตถุ เดียวกัน แต่มีสีเปลี่ยนแปลงไปเนื่องจากการหมองของโลหะเงินสเตอร์ลิงได้ และค่า DE* ที่คำนวณได้ หากเท่ากับ 1 แสดงว่าไม่สามารถสังเกตเห็นการเปลี่ยนแปลงที่เกิดขึ้นในชิ้นงานได้ แต่ถ้าค่า DE* เท่า กับ 4 แสดงว่าสามารถเริ่มสังเกตเห็นการเปลี่ยนแปลงด้วยสายตาในชิ้นงานได้ โดยค่า DE* ที่เพิ่มสูง ขึ้น จะมีความแตกต่างของสีผิวก่อนและหลังการทดสอบการกันหมองสูง

4.5.2.4.2 การวัดการทนหมองโดยเทคนิคใฟฟ้าเคมี

อาศัยหลักการทางไฟฟ้าเคมีวัดการหมองของเงินสเตอร์ลิงโดยวัดความสามารถ การทนหมองในรูปของเส้นโพราไลเซชั่น คือ ความสัมพันธ์ระหว่างศักย์ไฟฟ้าเทียบกับศักย์ไฟฟ้าของ ขั้วไฟฟ้ามาตรฐานกับกระแสการกัดกร่อนของเงินสเตอร์ลิงในสารละลายที่กำหนด ลักษณะของเส้นโพ ลาไรเซชั่นและค่าตัวแปรต่าง ๆ แสดงในรูปที่ 4.4



รูปที่ 4.4 ลักษณะเส้นโพลาไรเซชั่นและค่าตัวแปรต่าง ๆ

ตัวแปรที่วัดจากเส้นโพลาไรเซชั่น คือ

- E_{corr} คือ ศักย์ไฟฟ้าการกัดกร่อนของโลหะ
- E_{cri} (หรือ E_{pp}) คือ ศักย์ไฟฟ้าที่เปลี่ยนสภาวะวัสดุระหว่างการถูกกัดกร่อนมากเพราะไม่มี ฟิล์มที่ผิวกับสภาวะที่ถูกกัดกร่อนน้อยมาก ๆ หรือไม่ถูกกัดกร่อนเพราะเกิดฟิล์มที่ผิว
- E_p คือ ศักย์ไฟฟ้าที่ฟิล์มถูกทำลาย โลหะถูกกัดกร่อนแบบสม่ำเสมอหรือแบบรูเข็มขึ้นอยู่ กับโครงสร้างจุลภาค
 - $I_{_{
 m corr}}$ คือ ความหนาแน่นกระไฟฟ้าการกัดกร่อนที่ศักย์ไฟฟ้าการกัดกร่อน $E_{_{
 m corr}}$
 - I คือ ความหนาแน่นกระไฟฟ้าขณะโลหะเกิดฟิล์มที่ผิว

ตัวแปร E_{con} และ I_{con} ใช้สำหรับวัดค่าอัตราการกัดกร่อนที่ศักย์ไฟฟ้าการกัดกร่อน E_{con} โดย สามารถแปลงค่ากระแสเป็นอัตราการสูญเสียเนื้อหรือความหนาของโลหะด้วยกฏของฟาราเดย์ดังสมการ 4.7 ค่า E_{con} สามารถแปลเป็นความหมายในการเปรียบเทียบความต้านทานการกัดกร่อนได้ คือ ค่ามาก กว่าแสดงว่าโลหะมีความสามารถต้านทานหรือมีความเสถียรต่อการกัดกร่อนมากกว่า ค่า E_{con} และ I_{con} นี้ มีการนำไปใช้งานกันมาก

$$dm/dt = (MW) I_{corr} / zF$$
 (4.7)

โดยที่

dm/dt = อัตราการกัดกร่อนในหน่วยน้ำหนัก/พทxเวลา

F = ค่าคงที่ฟาราเดย์

z = เลขออกซิเดชั่นของอิออนโลหะ

MW = น้ำหนักอะตอม

I_{cor} = ค่าความหนาแน่นกระแสการกัดกร่อน

ตัวแปรค่า I จะแสดงว่าฟิล์มที่เกิดขึ้นบนผิวโลหะขณะนั้นยอมให้อิออนผ่านได้มากหรือ น้อย ค่า I มาก หมายความว่ายอมให้อิออนผ่านได้ง่าย ความแข็งแรงของฟิล์มจะน้อยหรือมีเสถียรภาพ น้อยกว่าฟิล์มที่มีค่า I น้อยกว่า นิยมใช้ในการประกอบการศึกษาทางด้านกลไกการเกิดฟิล์มควบคู่กับการ วิเคราะห์ฟิล์มด้วยเทคนิคอื่น ๆ

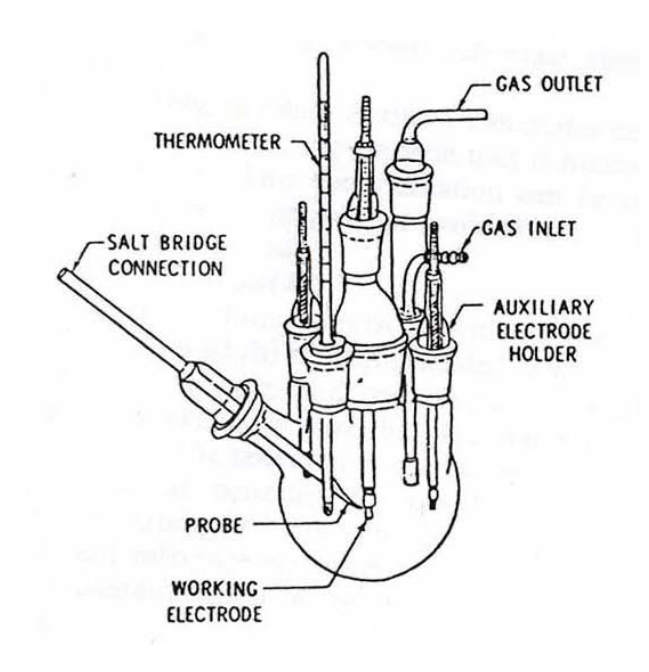
ตัวแปรค่า E_p แสดงถึงความต้านทานการกัดกร่อน วัสดุที่มีค่า E_p มากกว่าจะมีความต้าน ทานการกัดกร่อนมากกว่า การกัดกร่อนจะเป็นรูปแบบใดขึ้นอยู่กับรูปแบบที่ปรากฏ เช่น แบบรูเข็ม (Pitting) หรือแบบสม่ำเสมอ (Uniform) ขึ้นอยู่กับโครงสร้างจุลภาคของเนื้อโลหะ โดยส่วนใหญ่โครงสร้าง จุลภาคของเนื้อโลหะจะไม่สม่ำเสมอจึงปรากฏเป็นการกัดกร่อนแบบรูเข็ม จึงมักจะเรียกค่านี้ว่า ค่าศักย์ไฟ ฟ้าการกัดกร่อนแบบรูเข็ม (Pitting Potential) การวัดค่า E_p ขึ้นอยู่กับผู้วัดจะกำหนดที่ใด เช่น ที่ค่ากระแสไฟ ฟ้าเริ่มจะมากกว่าค่า I_p หรือที่ค่าความหนาแน่นกระแสไฟฟ้า I_p มิลลิแอมแปร์ต่อตารางเซ็นติเมตร

การหาค่าตัวแปรที่กล่าวมาประกอบการสังเกตผิวโลหะหลังการทดสอบจะสามารถเปรียบ เทียบการทนหมองของเงินสเตอร์ลิงได้

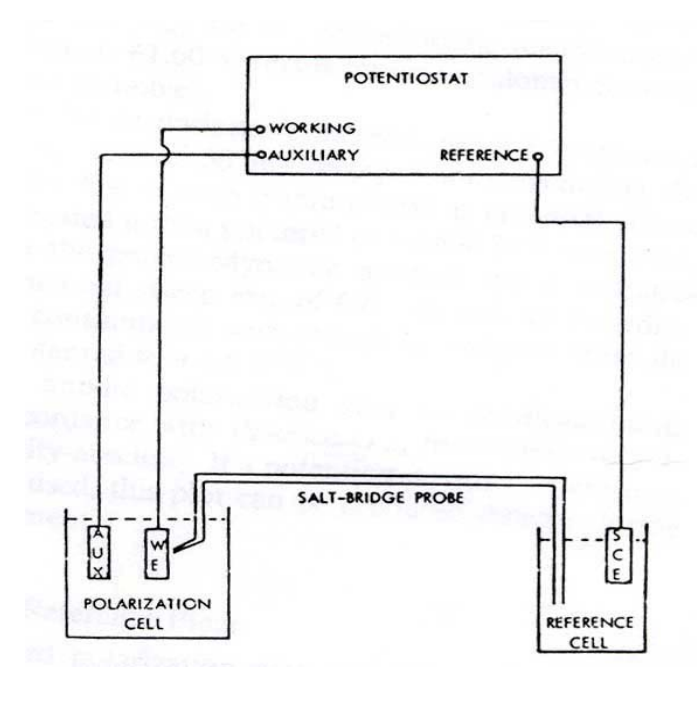
เนื่องจากวิธีการนี้ยังไม่มีการกำหนดเป็นมาตรฐานในงานเครื่องประดับ ในที่นี้ได้นำวิธีการ ตามที่มีในมาตรฐานการวัดการกัดกร่อน คือ มาตรฐาน ASTM G5-94 (American Society of Testing of Materials) และ มาตรฐาน NACE TM 0177-96 (National Association of Corrosion Engineer) ของประเทศ สหรัฐอเมริกามาประยุกต์ใช้ โดยใช้มาตรฐาน ASTM G5-94 เป็นวิธีการวัดเส้นโพลาไรเซชั่นและใช้มาตรฐาน NACE TM0177-96 กำหนดสารละลาย คือ สารละลายผสมของ NaCl 35% + CH₃COOH 5% อิ่มตัว ด้วยก๊าซไฮโดรเจนซัลไฟด์ (H₃S)

การวัดเส้นโพลาไรเซซันโดยใช้เทคนิคไฟฟ้าเคมี

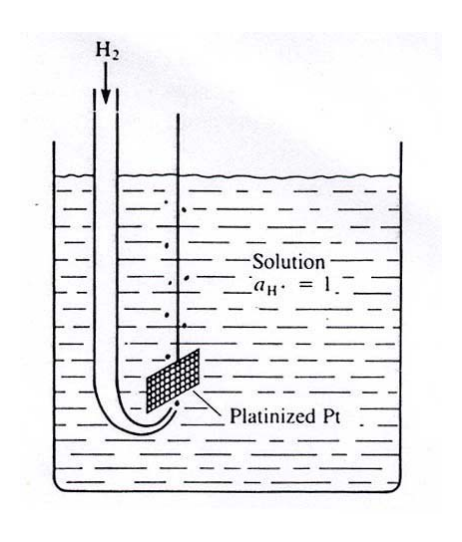
ในการตรวจวัดค่าอัตราการกัดกร่อนด้วยเทคนิคไฟฟ้า เคมีจะวัดโดยใช้วิธีโพเทนชิโอไดนามิกส์ (potentiodynamic technique) ตามมาตรฐาน ASTM G5-94 (41) (American Society of Testing and Materials) และใช้สารละลายโซเดียมคลอไรด์ความเข้มข้น 1 เปอร์เซ็นต์โดยน้ำหนัก เป็นสารละลายอิเล็ก โตรไลต์ เทคนิคโพเทนชิโอไดนามิกส์นี้ คือการที่ควบคุมศักย์ไฟฟ้าที่ป้อนให้แก่เซล แล้ววัดค่ากระแสที่ได้ หรือที่เปลี่ยนแปลงไป โดยใช้เครื่องโพเทนชิโอสแตท (Potentiostat) ดังรูปที่ 4.6 เครื่องโพเทนชิโอสแตท หรือกัลวาโนสแตท (Galvanostat) เป็นอุปกรณ์ป้อนศักย์ไฟฟ้าให้แก่เซล โดยผ่านขั้วไฟฟ้าวัดกระแสซึ่งทำ จากโลหะแพลตตินัมหรือแท่งกราไฟต์ เป็นการเร่งให้ชิ้นตัวอย่างทดสอบที่ต่อกับขั้วไฟฟ้าโลหะทดสอบเกิด การกัดกร่อนในสารละลายอิเล็กโตรไลต์ ซึ่งมีผลทำให้เกิดการเปลี่ยนกระแสไฟฟ้า จะได้เส้นโพลาไรเซชันที่ แสดงถึงพฤติ-กรรมการกัดกร่อนของโลหะ

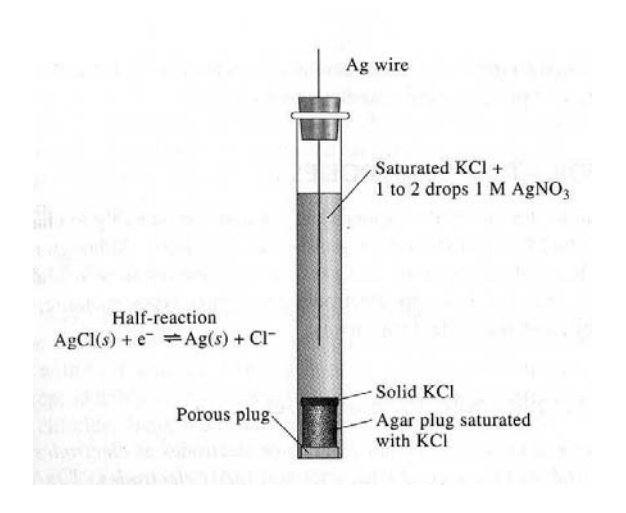


รูปที่ 4.5 เซลที่ใช้ทดสอบการกัดกร่อนทางไฟฟ้าเคมี



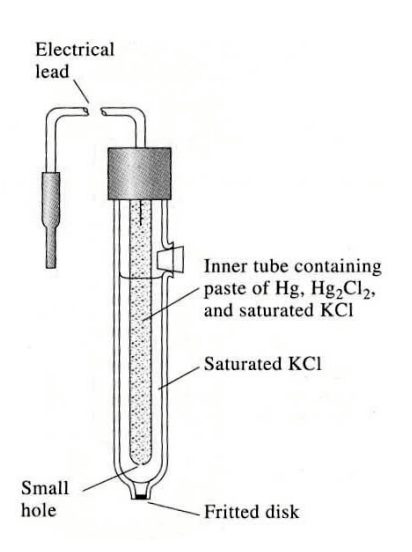
รูปที่ 4.6 เครื่องโพเทนซิโอสแตทที่ใช้วัดเส้นโพลาไรเซชัน





(ก) ขั้วไฟฟ้าไฮโดรเจน ⁽⁴²⁾ (Hydrogen Electrode)

(ข) ขั้วไฟฟ้าซิลเวอร์-ซิลเวอร์คลอไรด์ (43)
 (Silver/Silver Chloride; Ag/AgCl)

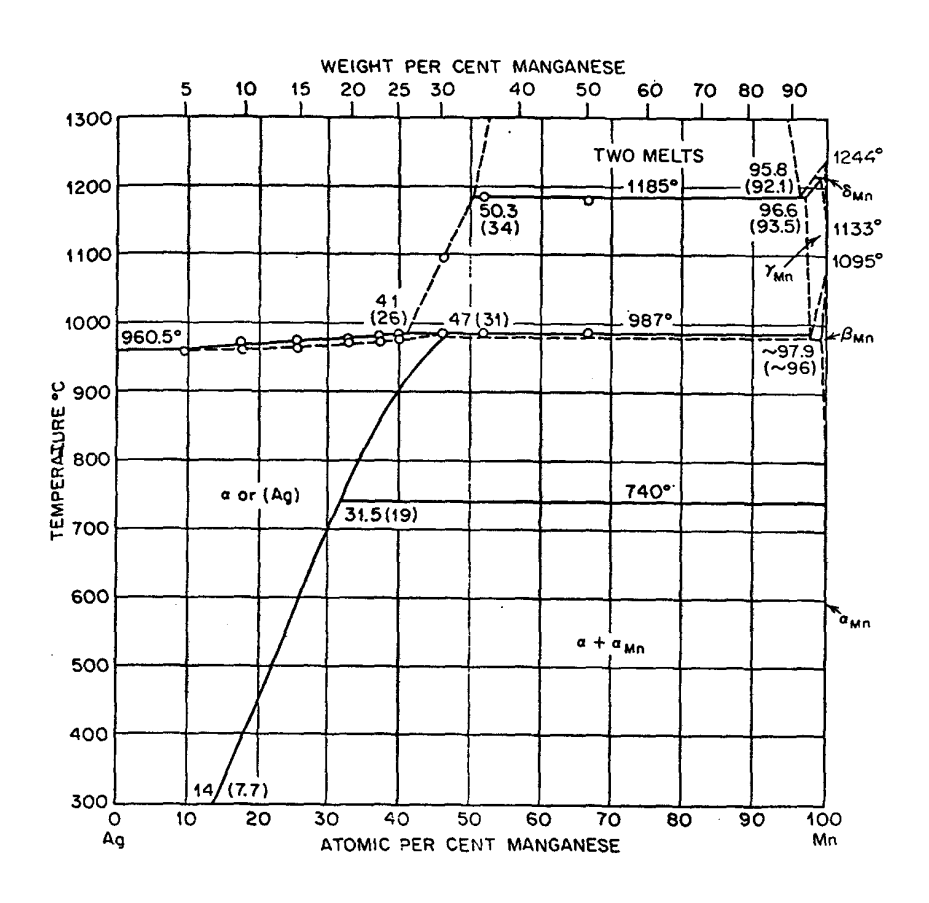


(ค) ขั้วไฟฟ้าคาโลเมล ⁽⁴³⁾
 (Saturated Calomel Electrode ; SCE)

รูปที่ 4.7 ขั้วไฟฟ้าอ้างอิงชนิดต่างๆ

การตรวจสอบพฤติกรรมการกัดกร่อน ทำได้โดยต่อเซลให้ครบวงจร จะได้เซลกัลวานิก (galvanic cell) ชนิด 3 ขั้ว ประกอบด้วยขั้วไฟฟ้าอ้างอิง (reference electrode; RE) ขั้วไฟฟ้าวัดกระแส

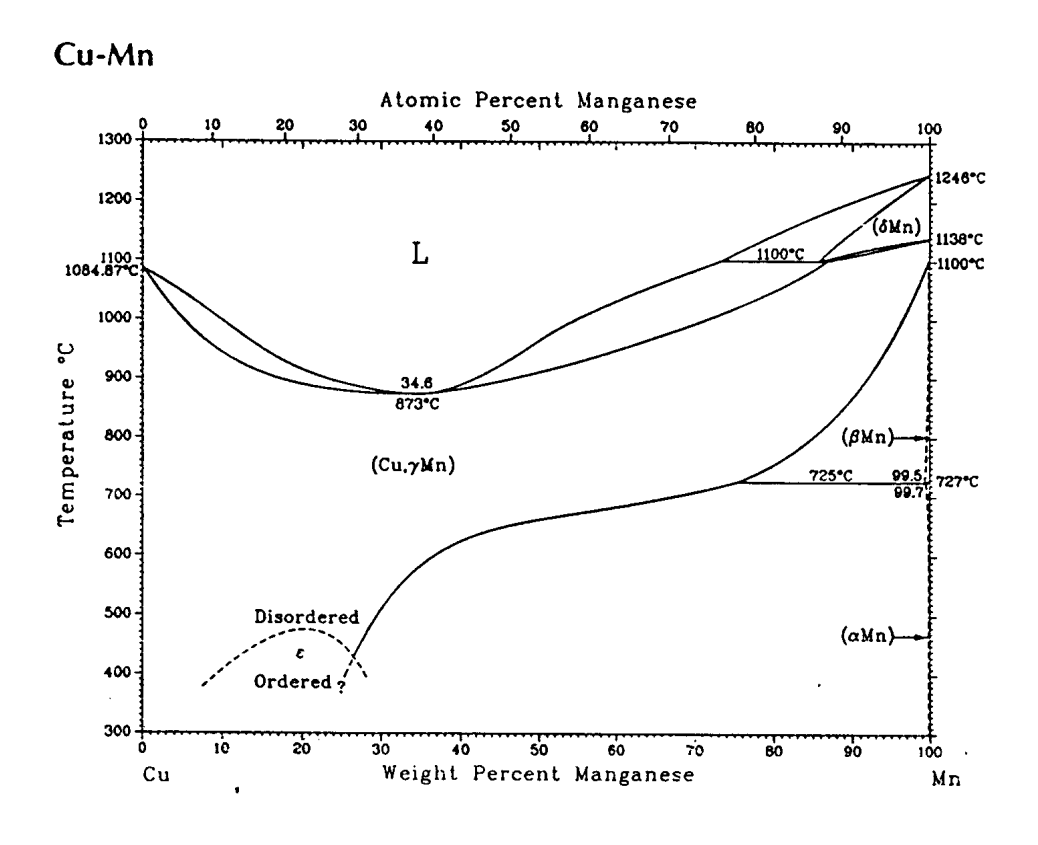
(counter electrode; CE) และขั้วไฟฟ้าโลหะทดสอบ (working electrode; WE) ขั้วไฟฟ้าอ้างอิงใช้สำหรับวัด ค่าศักย์ไฟฟ้าที่ป้อนให้กับเซล ขั้วไฟฟ้าอ้างอิงที่นิยมใช้ แสดงดังรูปที่ 4.7



รูปที่ 4.8 แผนภูมิสมดุลเฟสระบบเงิน – แมงกานีส

4.5.3 แผนภูมิสมดุลเฟสระบบเงิน – แมงกานีส ⁽⁴⁵⁾

รูปที่ 4.8 แสดงแผนภูมิสมดุลเฟสระบบเงิน – แมงกานีส จากรูปจะเห็นว่าแมงกานีสสามารถ ละลายในเงิน เป็นสารละลายของแข็งได้เป็นอย่างดี และความสามารถในการละลายจะเพิ่มขึ้นตาม อุณหภูมิ โดยที่อุณหภูมิ 300°C แมงกานีสสามารถละลายในเงินได้ถึง 7.7 เปอร์เซ็นต์โดยน้ำหนัก และ ละลายได้มากขึ้นเมื่ออุณหภูมิสูงขึ้นจนถึง 987°C แมงกานีสจะสามารถละลายในเงินได้ถึง 31 เปอร์เซ็นต์โดยน้ำหนัก



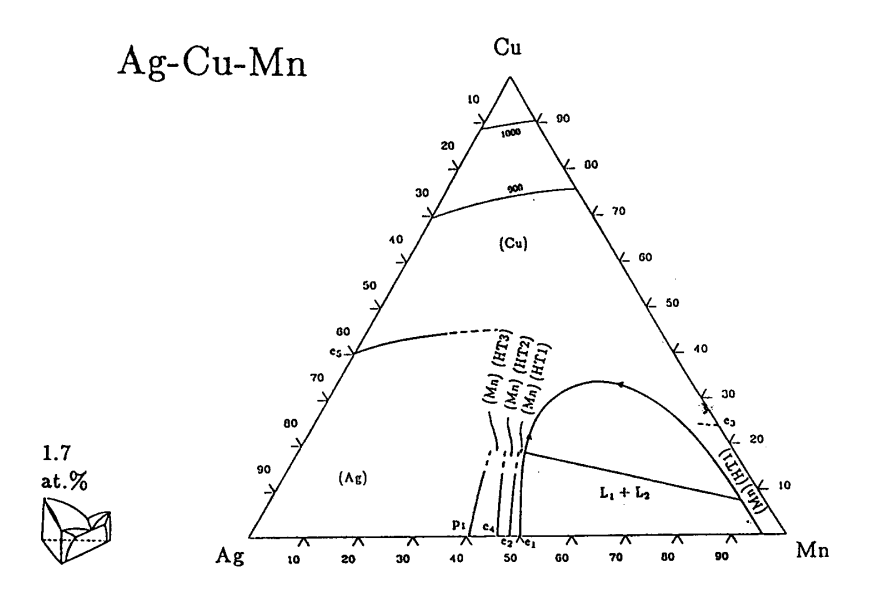
รูปที่ 4.9 แผนภูมิสมดุลเฟสระบบทองแดง – แมงกานีส⁽⁴⁶⁾

4.5.4 แผนภูมิสมดุลเฟสระบบทองแดง – แมงกานีส

สำหรับการทดลองในงานวิจัยนี้ ธาตุแมงกานีสที่ใช้ อยู่ในรูปโลหะผสม 50%Cu – 50%Mn โดยน้ำ หนัก และอุณหภูมิที่ใช้ในการหลอมโลหะผสมเงิน – ทองแดง – แมงกานีส คือ 1100°C ซึ่งจากแผนภูมิสม ดุลเฟสระบบทองแดง – แมงกานีส ดังรูปที่ 4.9 ที่ส่วนผสม 50%Cu – 50%Mn โดยน้ำหนัก พบว่าอุณหภูมิ หลอมเหลวอยู่ที่ประมาณ 970°C ดังนั้นอุณหภูมิ 1030°C ที่ใช้ในการหลอมโลหะในการทดลองนี้ สามารถ หลอมโลหะผสมเงิน – ทองแดง – แมงกานีส เป็นของเหลวได้ทั้งหมด ถึงแม้ว่าอุณหภูมิหลอมเหลวของ แมงกานีส จะสูงถึง 1245°C ก็ตาม

4.5.5 แผนภูมิสมดุลเฟสระบบเงิน – ทองแดง – แมงกานีส

โลหะผสมเงิน – ทองแดง – แมงกานีส ที่ใช้ในการทดลองสำหรับงานวิจัยนี้ จะมีส่วนผสมอยู่ใน ช่วงมุมล่างซ้ายของแผนภูมิสมดุลเฟส ดังรูปที่ 4.10 โดยโลหะทั้งสามชนิดมีคุณสมบัติทางกายภาพขณะ บริสุทธิ์แสดงดังตารางที่ 4.1



รูปที่ 4.10 แผนภูมิสมดุลเฟสระบบเงิน – ทองแดง – แมงกานีส ⁽⁴⁷⁾

ตารางที่ 4.1 แสดงคุณสมบัติทางกายภาพของเงิน ทองแดง และแมงกานีส ⁽⁴⁸⁾

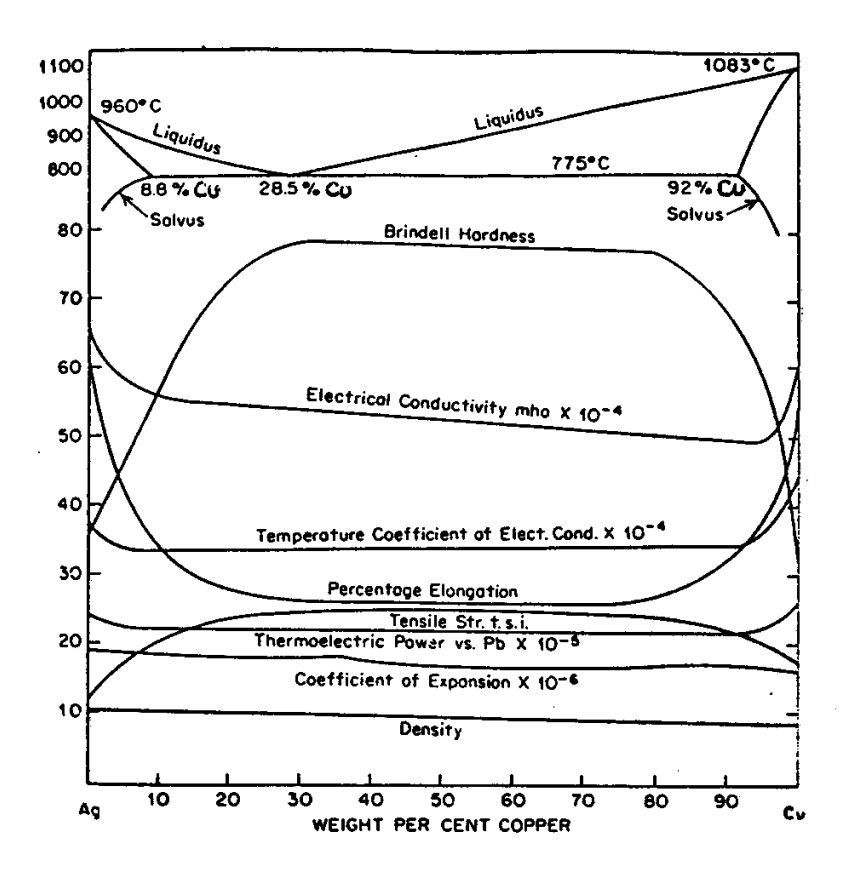
ธาตุ	สัญลักษ ณ์	เลข อะตอม	น้ำ หนัก อะตอ ม	จุดหลอม เหลว [°] C	จุด เดือด °C	ความหนา แน่นที่ 20 [°] C	รัศมี อะตอม (nm)	โครงสร้าง ผลึกที่ 20°C
เงิน	Ag	47	107.87	961	2210	10.5	0.144	FCC
ทองแดง	Cu	29	63.54	1083	2595	8.96	0.128	FCC
แมงกานี ส	Mn	25	54.938	1245	2150	7.43	0.118	Cubic*

^{*} ที่อุณหภูมิอื่น จะมีโครงสร้างผลึกแบบอื่น

4.5.6 คุณสมบัติทางกล

โลหะผสมระหว่างเงินและทองแดง ที่ใช้ในทางการค้าส่วนใหญ่จะอยู่ในช่วงไฮโปยูเทคติก ซึ่งมี ปริมาณทองแดงต่ำกว่า 28.1 เปอร์เซ็นต์โดยน้ำหนัก โดยโลหะผสมเงินและทองแดงที่ใช้กันมานานอย่าง กว้างขวาง คือ โลหะเงินสเตอร์ลิง ที่มีส่วนผสมของเงินบริสุทธิ์ 92.5 เปอร์เซ็นต์โดยน้ำหนัก และที่เหลือ 7.5 เปอร์เซ็นต์โดยน้ำหนัก เป็นทองแดง

จากรูปที่ 4.11 ที่ส่วนผสมไฮโปยูเทคติคของโลหะผสมเงินและทองแดง แสดงให้เห็นว่าเมื่อมี ปริมาณทองแดงในเงินสูงขึ้น จะทำให้โลหะผสมมีค่าความแข็งแบบบริเนลล์ (Brinell Hardness) และค่า ความต้านทานแรงดึง (Tensile Strength) ที่สูงขึ้น แต่ปริมาณทองแดงที่เพิ่มขึ้นนี้ จะทำให้ค่าเปอร์เซ็นต์ การยืดตัว (% Elongation) ลดลง และส่งผลให้ค่าความเหนียวลดลงด้วย



รูปที่ 4.11 คุณสมบัติต่าง ๆ ของโลหะระบบเงิน – ทองแดง ⁽⁴⁹⁾

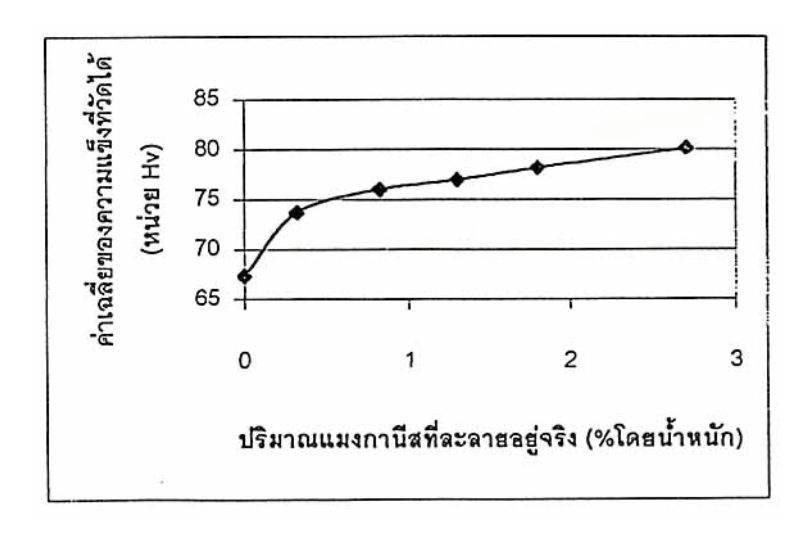
กลไกที่ทำให้เงินสเตอร์ลิงมีความแข็งสูงกว่าเงินบริสุทธิ์ คือ การเพิ่มความแข็งโดยการละลายของ ธาตุในสารละลายของแข็ง (Solid solution hardening) และการเพิ่มความแข็งโดยการตกตะกอน (Precipitation hardening) โดยการอบชุบความร้อน (heat treatment) ในลักษณะต่าง ๆ จะทำให้ได้โครง สร้างและสมบัติที่แตกต่างกันไป โดยหลังจากกระบวนการแข็งตัวของโลหะเสร็จสิ้น โลหะเงินสเตอร์ลิงเย็น ลงถึงอุณหภูมิห้อง Cu-rich phase จะตกตะกอนแยกตัวออกจาก Ag-rich phase เนื่องจากความสามารถใน การละลายของทองแดงจะลดลงเมื่ออุณหภูมิลดลง และหากทำการชุบแข็งอย่างรวดเร็วขณะโลหะกำลัง แข็งตัว จะสามารถยับยั้งการตกตะกอนของทองแดงได้ โดย Cu-rich ที่ได้จะมีขนาดเล็กมาก และสามารถ ละลายกลับไปในสารละลายได้เมื่อให้ความร้อนเหนืออุณหภูมิ solvus ที่ประมาณ 745°C (1373°F) โดย กระบวนการเพิ่มความแข็งโดยการตกตะกอนของเงินสเตอร์ลิง อธิบายได้ดังนี้ (50)

1) การทำให้เป็นโลหะเนื้อเดียว(Homoginization) ที่อุณหภูมิสูงกว่า 745°C จะได้โลหะผสมที่เป็น สารละลายของแข็งอย่างสมบูรณ์

- 2) เมื่อชุบแข็งอย่างรวดเร็วจนถึงอุณหภูมิห้อง จะช่วยป้องกันการตกตะกอนของ Cu-rich phase ทำให้เงินสเตอร์ลิงมีความแข็งสูงขึ้น (หากโลหะเย็นตัวซ้า โลหะที่ตกตะกอนจะมีเกรนขนาดใหญ่ ไม่ สามารถช่วยเพิ่มความแข็งได้)
- 3) การให้ความร้อนแก่เงินสเตอร์ลิงอีกครั้ง เรียกว่าการบ่มเพิ่มความแข็ง (aging) สำหรับเงิน สเตอร์ลิงมักบ่มเพิ่มความแข็งที่อุณหภูมิประมาณ 300°C โดยจะเกิดการตกตะกอนของ Cu-rich ที่มีขนาด เล็กมาก สามารถเพิ่มความแข็งได้

จากการศึกษาพบว่าเงินสเตอร์ลิงสามารถเพิ่มความแข็งโดยการตกตะกอนได้ โดยให้ความร้อนแก่ เงินสเตอร์ลิงที่อุณหภูมิ 750° C เป็นเวลา 1/2 - 1 ชั่วโมง แล้วซุบแข็ง (quench)ในน้ำ หลังจากนั้นบ่มเพิ่ม ความแข็ง (aging) ที่ 300° C เป็นเวลา 1/2 + 1 ชั่วโมง จะได้เงินสเตอร์ลิงที่มีความแข็งสูง ถึง $145~{\rm HV}^{(51)}$

โครงงานทางวิศวกรรมของนายธนวัฒน์ เมืองมั่น และนายสุทธิ สูอำพัน ได้ศึกษาเกี่ยวกับผลของ ธาตุแมงกานีสต่อความแข็งของเงินสเตอร์ลิง โดยการเติมธาตุแมงกานีสในปริมาณต่าง ๆ กัน คือ 0, 0.5, 1.0, 1.5, 2.0 และ 3.0 เปอร์เซ็นต์โดยน้ำหนัก พบว่าปริมาณธาตุแมงกานีสที่เพิ่มขึ้น จะมีผลทำให้เงินสเตอร์ ลิงมีความแข็งสูงขึ้น แสดงได้ดังรูปที่ 4.12



รูปที่ 4.12 แสดงความสัมพันธ์ระหว่างปริมาณธาตุแมงกานีสที่ละลายอยู่จริง (เปอร์เซ็นต์โดยน้ำหนัก) กับค่าเฉลี่ยของความแข็งที่วัดได้ (หน่วย HV) ในสภาพหล่อ ⁽⁵³⁾

โลหะผสมระหว่างเงินและแมงกานีส จะมีความแข็งเพิ่มขึ้น เมื่อมีปริมาณแมงกานีสสูงขึ้น จนถึง 20 เปอร์เซ็นต์ แล้วความแข็งจะไม่เพิ่มขึ้นอีก ซึ่งคุณสมบัติทางกลต่าง ๆ ของโลหะผสมเงิน – แมงกานีส แสดงดังตารางที่ 4 2

ตารางที่ 4.2 แสดงคุณสมบัติทางกลต่าง ๆ ของโลหะผสมเงินและแมงกานีส ⁽⁵⁴⁾

ปริมาณ	ค่าความแข็ง		ความต้านทานแรง		ความเค้นจุด		เปอร์เซ็นต์การ		ค่าความต้านทางไฟ	
แมงกานี	(หน่วยวิกเกอร์)		ดึง (MPa)		คราก (MPa)		ยืดตัว (%)		ฟ้า (μΩ•cm)	
র (%)	อบ	รื่ด	อบ	รีดเย็น	อบ	รีดเย็น	อบ	รื่ด	อบ	รีดเย็น
	อ่อน	เย็น	อ่อน		อ่อน		อ่อน	เย็น	อ่อน	
2.03	32	69	157.91	217.15	47.17	215.01	41	8.0	8.6	9.1
6.62	46	85	189.92	262.31	68.18	249.81	32	4.0	18.2	19.4
16.16	86	122	291.50	403.53	144.72	386.17	23	2.5	39.7	37.9
19.82	86	127	303.31	594.24	162.12	377.83	18	2.0	43.2	39.6

4.6 ระเบียบวิธีการวิจัย

- 4.6.1 วัตถุดิบ
 - 4.6.1.1 เงินบริสุทธิ์ 99.99 เปอร์เซ็นต์
 - 4.6.1.2 เม็ดโลหะทองแดงบริสุทธิ์ 99.99 เปอร์เซ็นต์
 - 4.6.1.3 แท่งโลหะผสมทองแดงและแมงกานีส : 50%Cu 50%Mn โดยน้ำหนัก
- 4.6.2. เครื่องมือและอุปกรณ์ที่ใช้ในการวิจัย

4.6.2.1 อุปกรณ์ในการทำแม่พิมพ์ยาง

- 4.6.2.1.1 กรอบอะลูมิเนียมวัดขนาดแม่พิมพ์ (aluminium mold frame)
- 4.6.4.1.2 ยางสำหรับทำแม่พิมพ์ (mold rubber)
- 4.6.4.1.3 มีดผ่าแม่พิมพ์ (mold knife)
- 4.6.4.1.4 หัวจุกทางน้ำโลหะเข้า (sprue former)
- 4.6.4.1.5 ต้นแบบตัวเรือน (jewelry model)
- 4.6.4.1.6 เครื่องอัดแม่พิมพ์ยาง (vulcanizer machine)
- 4.6.2.2 อุปกรณ์ในการหล่อเทียนและติดต้น
 - 4.6.2.2.1 เครื่องฉีดเทียน (wax injector)
 - 4.6.2.2.2 เทียน (wax)
 - 4.6.2.23 สเปรย์ แป้ง และแปรงสำหรับทำความสะอาดแม่พิมพ์ยาง
 - 4.6.2.2.4 ฐานยาง (sprue base)
 - 4.6.2.2.5 หัวแร้งไฟฟ้า
- 4.6.2.3 อุปกรณ์ในการทำแม่พิมพ์ปูนหล่อและอบเผา
 - 4.6.2.3.1 กระบอกหล่อ

- 4.6.2.3.2 ปูนปลาสเตอร์หล่อแบบต้นเทียน
- 4.6.2.3.3 ชามผสมปูนหล่อ
- 4.6.2.3.4 เครื่องผสมปูนหล่อ
- 4.6.2.3.5 เครื่องสุญญากาศ (vacuum machine)
- 4.6.2.3.6 กระบอกตวงน้ำและตาชั่ง
- 4.6.2.3.7 เตาอบแม่พิมพ์
- 4.6.2.4 อุปกรณ์ในการหลอมและหล่อโลหะ
- 4.6.2.4.1 เตาหลอมและหล่อแบบสุญญากาศ Yasui VPC (vacuum pressure casting machine) พร้อมอุปกรณ์ที่ใช้ในการหลอมโลหะ
 - 4.6.2.4.2 กระบอกหล่อที่ได้จากการอบเผาแม่พิมพ์ปูนหล่อ
 - 4.6.2.4.3 อุปกรณ์อื่นๆ ที่ใช้ในการหลอมและหล่อโลหะ
 - 4.6.2.4.4 เครื่องทำความสะอาดชิ้นงานความดันสูง
 - 4.6.2.5 อุปกรณ์ในการตรวจสอบการกัดกร่อนด้วยวิธีทางไฟฟ้าเคมี
 - 4.6.2.5.1 ก๊าซไฮโดรเจนซัลไฟด์ 1 ถัง ความดัน 17 bar
 - 4.6.2.5.2 วาล์วและท่อที่ทำด้วยเหล็กกล้าไร้สนิม ท่อมีขนาดเส้นผ่านศูนย์

กลาง ¼ นิ้ว

- 4.6.2.5.3 ชุดเซลไฟฟ้าเคมี
- 4.6.2.5.4 เครื่องโพเทนซิโอแสตด (Potentiostat)
- 4.6.2.5.5 ขั้วไฟฟ้าโลหะเงิน (Ag/AgCl (3 M KCl)) ใช้เป็นขั้วไฟฟ้ามาตรฐาน

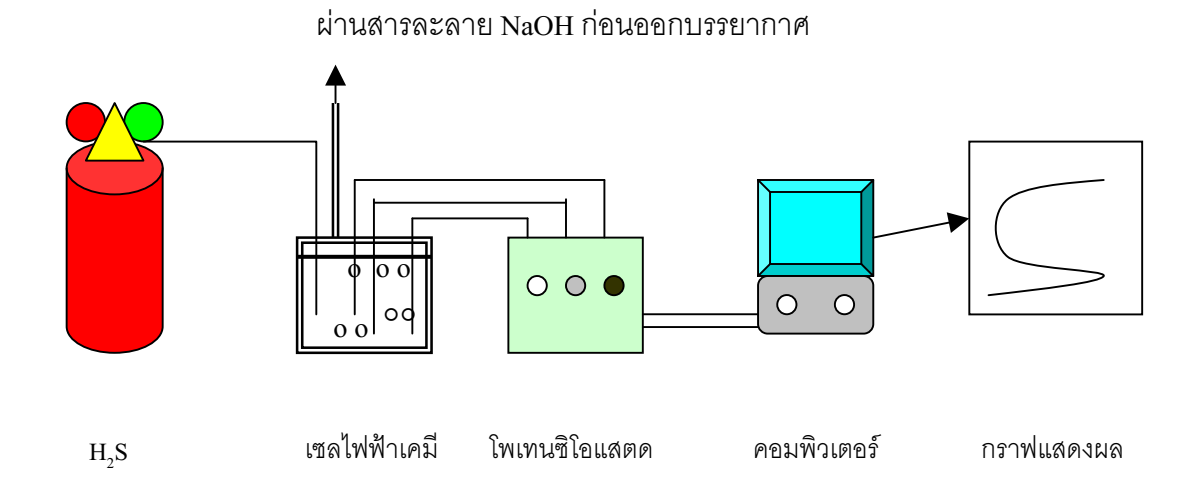
ค้างคิง

- 4.6.2.5.6 ขั้วไฟฟ้าโลหะพลาตินั่ม (Pt)
- 4.6.2.5.7 สารละลายผสมของ NaCl 1%
- 4.6.2.5.8 ตัวอย่างทดสอบเงินสเตอร์ลิง

การประกอบชุดทดลอง

รูปที่ 4.13 เป็นแผนภาพลายเส้นแสดงชุดเครื่องมือวัดการทนหมองของเงินสเตอร์ลิง โดย เทคนิคไฟฟ้าเคมี ก๊าซไฮโดรเจนซัลไฟด์จากถังเก็บที่ความดัน 17 bar ถูกควบคุมด้วยวาล์วลดความดัน ผ่านท่อน้ำก๊าซเข้าสู่สารละลายผสมของ NaCl 1% ในเซลไฟฟ้าเคมีจนอิ่มตัวที่อุณหภูมิห้อง (25°C) เครื่องโพเทนซิโอแสตดต่อวงจรไฟฟ้ากับขั้วไฟฟ้ามาตรฐาน ขั้วไฟฟ้าพลาตินั่ม และตัวอย่างทดสอบที่ อยู่ในเซลไฟฟ้าเคมี เพื่อวัดศักย์ไฟฟ้าของตัวอย่างทดสอบเทียบกับขั้วไฟฟ้ามาตรฐาน และวัดกระแสไฟ ฟ้าของตัวอย่างทดสอบเทียบกับขั้วไฟฟ้ามาตรฐาน และวัดกระแสไฟ ฟ้าของตัวอย่างทดสอบเทียบกับขั้วไฟฟ้าพลาตินั่ม

(Interphase Card) โปรแกรมคอมพิวเตอร์จะเขียนกราฟความสัมพันธ์ออกมาเป็นเส้นกราฟโพลาไรเซชั่น ในรูปที่ 4.14 แสดงชุดอุปกรณ์ที่ได้ต่อเรียบร้อยแล้วพร้อมที่จะทำการทดลองต่อไป



รูปที่ 4.13 แผนภาพลายเส้นแสดงชุดเครื่องมือวัดการทนหมองของเงินสเตอร์ลิง



รูปที่ 4.14 ภาพถ่ายชุดอุปกรณ์เครื่องมือวัดการทนหมองของเงินสเตอร์ลิง

4.6.2.6 เครื่องมือวิเคราะห์ผลการทดลอง

- 4.6.2.6.1 กล้องจุลทรรศน์แบบแสง (Optical microscope)
- 4.6.2.6.2 กล้องจุลทรรศน์อิเล็กตรอนแบบส่องกวาด (Scanning Electron

Microscope; SEM)

- 4.6.2.6.3 Energy Dispersive X-ray spectroscopy (EDX)
- 4.6.2.6.4 เครื่องมือทดสอบแรงดึง (Universal tensile testing machine)
- 4.6.2.6.5 เครื่องมือทดสอบความแข็งแบบวิกเกอร์ (Vickers hardness testing

machine)

4.6.2.6.6 เครื่องมือวิเคราะห์ส่วนผสมทางเคมีโดยวิธีอะตอมมิกแอบซอร์พชัน (Atomic Absorption Spectroscopy; AAS)

- 4.6.2.6.7 เครื่องมือวัดค่าสีบนผิววัสดุ (Spectrophotometer)
- 4.6.2.6.8 เครื่องโพเทนซิโอสแตทที่ใช้ทดสอบการกัดกร่อน ด้วยวิธีทางเคมีไฟ ฟ้า เป็นเครื่องใช้งานหลายวัตถุประสงค์ (General Purpose Electrochemical System; GPES) รุ่น PGSTAT 20

4.6.3 สารเคมี

- 4.6.3.1 โซเดียมซัลไฟด์นาโนไฮเดรต($Na_2S \bullet 9H_2O$)
- 4.6.3.2 แอมโมเนียมไฮดรอกไซด์ (NH₄OH)
- 4.6.3.3 ไฮโดรเจนเปอร์ออกไซด์ (H₂O₂)
- 4.6.3.4 กรดกำมะถัน (H_2SO_4)
- 4.6.3.5 กรดในตริกเข้มข้น (${
 m HNO_3}$)
- 4.6.3.6 กรดกัดแก้ว (HF)
- 4.6.3.7 ไฮโดรเจนซัลไฟด์ ($\mathrm{H_2S}$)
- 4.6.3.8 โซเดียมคลอไรด์ (NaCl)
- 4.6.3.9 ผงเพชร (diamond paste) ขนาด 3, 1 และ $\frac{1}{4}$ ใมครอน
- 4.6.3.10 แอลกอฮอล์
- 4.6.3.11 น้ำกลั่น

4.7 ขั้นตอนการทดลอง

ในแต่ละส่วนผสมของโลหะทั้ง 8 ชุด ทำการทดลองดังนี้

- 4.7.1 น้ำต้นแบบตัวเรือนลักษณะแผ่นสี่เหลี่ยมผืนผ้าที่ทำจากโลหะเงินสเตอร์ลิง ขนาดกว้าง 9 มิลลิเมตร ยาว 26 มิลลิเมตร และหนา 1.5 มิลลิเมตร มาทำแม่พิมพ์ยาง เพื่อใช้ในการฉีดเทียนและนำ ไปหล่อต่อไป
- 4.7.2 ฉีดเทียนที่หลอมละลาย ให้เข้าไปในแม่พิมพ์ยางด้วยเครื่องฉีดเทียน ได้แบบเทียน ลักษณะสี่เหลี่ยมผืนผ้าขนาดดังข้อ 4.7.1 จำนวน 60 ชิ้น
- 4.7.3 นำแบบเทียน (wax pattern) ที่ได้มาติดต้นเทียนเพื่อจัดให้เป็นกลุ่มอย่างมีระเบียบ เพื่อ สามารถหล่อชิ้นงานได้ครั้งละจำนวนมาก
 - 4.7.4 ชั่งน้ำหนักต้นเทียนที่ได้ เพื่อนำไปคำนวณหาส่วนผสมโลหะที่ต้องการหล่อ
- 4.7.5 น้ำต้นเทียนจากข้อ 4.7.4 ใส่ในกระบอกหล่อ แล้วตวงอัตราส่วนระหว่างปูนหล่อและน้ำ ให้เหมาะสม โดยให้น้ำมีน้ำหนัก 37 เปอร์เซ็นต์ของน้ำหนักปูนหล่อ
- 4.7.6 ผสมปูนหล่อกับน้ำด้วยเครื่องผสมปูนหล่อ แล้วดูดอากาศออกจากเนื้อปูนหล่อด้วย เครื่องสุญญากาศ (vacuum machine) หลังจากนั้นเทปูนลงในกระบอกหล่อ แล้วดูดอากาศออกอีกครั้ง
- 4.7.7 รอให้กระบอกปูนหล่อแห้งโดยทิ้งไว้ในสภาวะปกติ แล้วนำกระบอกปูนหล่อเข้าเตาอบ เผาแม่พิมพ์ปูนหล่อ เพื่อขจัดเทียนออกจากแม่พิมพ์ปูนหล่อ โดยเพิ่มอุณหภูมิเตาขึ้นช้าๆ และคงที่ไว้ที่ อุณหภูมิ 580°C ใช้เวลาในการอบเผาทั้งสิ้นประมาณ 12 ชั่วโมง
- 4.7.8 เตรียมส่วนผสมและอุปกรณ์ในการหลอมและหล่อโลหะผสมเงินสเตอร์ลิงทั้งหมด 8 ชุด โดยชั่งน้ำหนักเม็ดเงินบริสุทธิ์ 99.99% เม็ดทองแดงบริสุทธิ์ 99.99% และโลหะผสมทองแดง แมงกานีส 50 : 50 โดยน้ำหนัก ให้มีปริมาณแมงกานีส ดังนี้ 0, 0.5, 1.0, 1.5, 2.0, 2.5, 3.0 และ 3.5 เปอร์เซ็นต์โดยน้ำหนัก อัตราส่วนน้ำหนักที่เหมาะสมแสดงดังตารางที่ 4.3
- 4.7.9 หลอมและหล่อโลหะผสมที่ละชุดจนครบ 8 ชุด ด้วยเครื่องหลอมและหล่อแบบ สุญญากาศ Yasui VPC โดยกวนน้ำโลหะขณะโลหะหลอมละลาย แล้วหล่อที่อุณหภูมิ 990°C สำหรับ โลหะผสมที่ไม่ได้เติมแมงกานีส และ 1,030°C สำหรับโลหะผสมแมงกานีส
- 4.7.10 นำแม่พิมพ์ออกจากเครื่องหล่อโลหะ ทิ้งไว้ให้โลหะเย็นตัวลง ประมาณ 30 นาที แล้วนำ แม่พิมพ์ไปทำความสะอาดชิ้นงานหล่อด้วยเครื่องฉีดน้ำความดันสูง เพื่อทำลายปูนหล่อออกจาก กระบอกหล่อ
- 4.7.11 นำต้นชิ้นงานโลหะที่ได้ทำความสะอาดด้วยการจุ่มกรดกัดแก้วเพื่อกัดผิวชิ้นงานให้ สะอาด
 - 4.7.12 ตัดแต่งและขัดชิ้นงาน เพื่อนำไปทดสอบ วิเคราะห์คุณสมบัติ และสรุปผลต่อไป

ตารางที่ 4.3 แสดงส่วนผสมของโลหะเงินสเตอร์ลิง

โลหะผสม	ส่วนผส	มทางเคมี (เปล	อร์เซ็นต์)	น้ำหนักที่ใช้ (กรัม)			
ชุดที่	เงิน	ทองแดง	แมงกานีส	เงิน	ทองแดง	ทองแดง - แมงกานีส	
1	92.5	7.5	0	185	15	0	
2	92.5	7.0	0.5	185	13	2	
3	92.5	6.5	1.0	185	11	4	
4	92.5	6.0	1.5	185	9	6	
5	92.5	5.5	2.0	185	7	8	
6	92.5	5.0	2.5	185	5	10	
7	92.5	4.5	3.0	185	3	12	
8	92.5	4.0	3.5	185	1	14	

<u>หมายเหตุ</u> : ส่วนผสมนี้เป็นอัตราส่วนเปรียบเทียบน้ำหนักของเงิน ทองแดง และทองแดง - แมงกานีส

ถ้าน้ำหนักทั้งหมดที่ใช้ในการหลอมและหล่อแต่ละชุดเท่ากับ 200 กรัม

4.8 วิธีการวิเคราะห์และวิธีการตรวจสอบ

4.8.1การวิเคราะห์ปริมาณธาตุเงิน ทองแดง และแมงกานีสด้วยเครื่องมือ Atomic Absorption Spectroscopy (AAS) ส่งชิ้นตัวอย่างทดสอบไปวิเคราะห์หาปริมาณธาตุเงิน ทองแดง และแมงกานีส ที่ กรมวิทยาศาสตร์บริการ และบริษัท dmc² Metals (Thailand) Ltd. ด้วยเครื่องมือ AAS

วิธีการทดสอบหาปริมาณธาตุด้วย AAS ทำได้โดย

- 4.8.1.1 ชั่งตัวอย่างทดสอบปริมาณ 0.3 กรัม ละลายในกรดในตริกเข้มข้นจำนวน 10 มิลลิลิตร
- 4.8.1.2 ทิ้งไว้ 2 ชั่วโมง จนละลายหมด แล้วไล่ก๊าซไนโตรเจนไดออกไซด์ (${
 m NO_2}$) ออกให้ หมด จากนั้นผสมน้ำให้ได้ปริมาตรรวม 50 มิลลิลิตร
- 4.8.1.3 วิเคราะห์ปริมาณธาตุโดยนำไปเผาด้วย air-acetylene โดยใช้ความร้อนประมาณ $6,000^{\circ}$ C เพื่อทำให้สารทดสอบเกิดการแตกตัวเป็นอะตอม แล้วทำการกระตุ้นอะตอมให้เข้าสู่สภาวะ excited state เพื่อให้เกิดการคายพลังงานออก
- 4.8.1.4 วัดค่าพลังงานที่คายออกมาเทียบกับตอนเริ่มต้น จะทำให้ทราบค่าพลังงานส่วน ที่ถูกดูดกลืนไป แล้วนำค่าที่ได้มาเทียบกับค่ามาตรฐานของเครื่องมือจะทำให้ทราบว่าชิ้นตัวอย่าง ทดสอบมีส่วนผสมของโลหะที่ต้องการทราบเป็นปริมาณเท่าใด

4.8.2 การตรวจสอบโครงสร้างจุลภาค

4.8.2.1 เตรียมชิ้นงานเพื่อตรวจสอบโครงสร้างจุลภาคของโลหะผสมเงินสเตอร์ลิงที่มี ส่วนผสมของปริมาณแมงกานีสต่างๆ กัน โดยตัดชิ้นงานหล่อแล้วเตรียมผิวโดยขัดผิวชิ้นงานด้วย กระดาษทรายเบอร์ 400, 600, 800, 1000 และ 1200 ตามลำดับ แล้วขัดละเอียด (polishing) ด้วยผง เพชรขนาด 3, 1 และ ¼ ไมครอน ตามลำดับ หลังจากนั้นล้างคราบสกปรกด้วยน้ำและแอลกอฮอล์ แล้ว เปาให้แห้ง

- 4.8.2.2 ตรวจสอบโครงสร้างจุลภาคด้วยกล้องจุลทรรศน์อิเล็กตรอนแบบส่องกวาด (SEM) และตรวจสอบปริมาณของธาตุผสมในโครงสร้างที่พบด้วย EDX
- 4.8.2.3 กัดกรด (etching) ที่ผิวชิ้นงานด้วย 50% $\rm H_2O_2 + 25\%~NH_4OH + 25\%~H_2O$ โดย ปริมาตร เป็นเวลา 5 10 วินาที
- 4.8.2.4 ตรวจสอบโครงสร้างจุลภาคด้วยกล้องจุลทรรศน์แสง ที่กำลังขยาย 50, 100, 200 และ 500 เท่า บันทึกรูปตามกำลังขยายที่เหมาะสม
 - 4.8.2.5 วิเคราะห์และสรุปผล
 - 4.8.3 การทดสอบความแข็งแบบวิกเกอร์ (Vickers Hardness Test)
- 4.8.3.1 เตรียมชิ้นงานเพื่อทำการวัดความแข็ง โดยขัดผิวชิ้นงานด้วยกระดาษทรายเบอร์ 400, 600, 800, 1000 และ 1200 ตามลำดับ แล้วขัดละเอียดด้วยผงเพชร ขนาด 3, 1 และ 1/4 ไมครอน ตามลำดับ ล้างคราบสกปรกด้วยน้ำและแอลกอฮอล์ เป่าให้แห้ง
- 4.8.3.2 วัดค่าความแข็งแบบวิกเกอร์ตามมาตรฐาน ASTM E 92 82 ⁽³¹⁾ ด้วยเครื่องวัด ความแข็งแบบวิกเกอร์ระบบดิจิตอล โดยให้น้ำหนักกด 1 กิโลกรัม เป็นเวลา 10 วินาที
- 4.8.3.3 วัดขนาดรอยกดทั้งสองแกน (\mathbf{d}_1 และ \mathbf{d}_2) แล้วคำนวณค่าความแข็งแบบวิกเกอร์ (HV) จากสูตรดังสมการ

$$HV = \frac{2PSin(\alpha/2)}{d^2} = \frac{1.8544P}{d^2}$$
 (4.8)

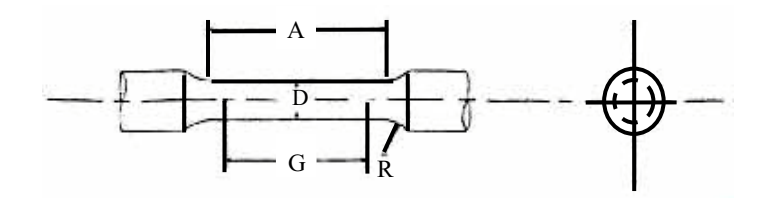
เมื่อ P = แรงกด (กิโลกรัม)

 $\mathbf{d} =$ ความยาวเฉลี่ยของเส้นทแยงมุง 2 ด้าน (\mathbf{d}_1 และ \mathbf{d}_2) หน่วยเป็นมิลลิเมตร

lpha= มุมระหว่างหน้าของหัวกดเพชรทรงปิรามิด = 136 $^{
m o}$

- 4.8.3.4 เปลี่ยนบริเวณกดใหม่ แล้วกดซ้ำตามข้อ 4.8.3.2 และ 4.8.3.3 อีกจำนวน 3 ครั้ง คำนวณค่าความแข็งวิกเกอร์ (HV)
 - 4.8.3.5 หาค่าเฉลี่ยของความแข็ง แล้ววิเคราะห์และสรุปผล 4.8.4 การทดสอบแรงดึง (Tensile Test)

4.8.4.1 ตัดชิ้นงานและกลึงขึ้นรูปให้มีขนาดเส้นผ่านศูนย์กลาง 4 มิลลิเมตร และขนาด gage length 20 มิลลิเมตร ตามมาตรฐาน ASTM E 8M – 96 ดังรูปที่ 4.15



G = Gage length = 20.0 ± 0.1 mm.

D = Diameter = 4.0 ± 0.1 mm.

R = Radius of fillet, min = 4 mm.

A = Length of reduced section, min = 24 mm.

รูปที่ 4.15 แสดงภาพชิ้นทดสอบแรงดึง

4.8.4.2 น้ำชิ้นทดสอบไปทดสอบแรงดึงด้วยเครื่องทดสอบแรงดึง Universal tensile test ระบบอัตโนมัติ ขนาด 150 kN รุ่น series IX โดยบริษัท Instron Corporation กำหนดความเร็วในการดึง (tension speed) 0.5 มิลลิเมตรต่อนาที เพื่อหาค่าความต้านทานแรงดึง (tensile strength) ความเค้นจุด คราก (yield strength) และเปอร์เซ็นต์การยืดตัว (%Elongation)

4.8.4.3 วิเคราะห์และสรปผล

4.8.5 การทดสอบความต้านทานการหมอง

4.8.5.1 น้ำชิ้นงานที่ได้จากการหล่อที่เป็นสี่เหลี่ยมผืนผ้าขนาดกว้าง 9 มิลลิเมตร ยาว 26 มิลลิเมตร และหนา 1.5 มิลลิเมตร ทั้ง 8 ส่วนผสม เตรียมผิวชิ้นงานโดยขัดด้วยกระดาษทรายเบอร์ 400, 600, 800, 1000 และ 1200 ตามลำดับ ล้างด้วยน้ำและแอลกอฮอล์ แล้วเป่าให้แห้ง ซั่งน้ำหนักชิ้น งานก่อนการทดสอบ แล้ววัดค่าความสว่าง L* และค่าสี a*, b* ด้วยเครื่องสเปคโตรโฟโตมิเตอร์ รุ่น Macbeth color – eye 7000 โดยให้ไฟสีขาว (artificial daylight) D65 มุม 2 องศา

4.8.5.2 แขวนชิ้นงานไว้ในภาชนะปิดที่มีบรรยากาศของไอซัลเฟอร์ ซึ่งได้จากการละลาย โซเดียมซัลไฟด์นาโนไฮเดรต ($Na_2S ullet 9H_2O$)ในน้ำจนอิ่มตัว แล้วสังเกตการเปลี่ยนแปลงสีผิวของชิ้นงาน เมื่อเวลาผ่านไป $0.5,\,1,\,2,\,3$ และ 4 ชั่วโมง บันทึกผล

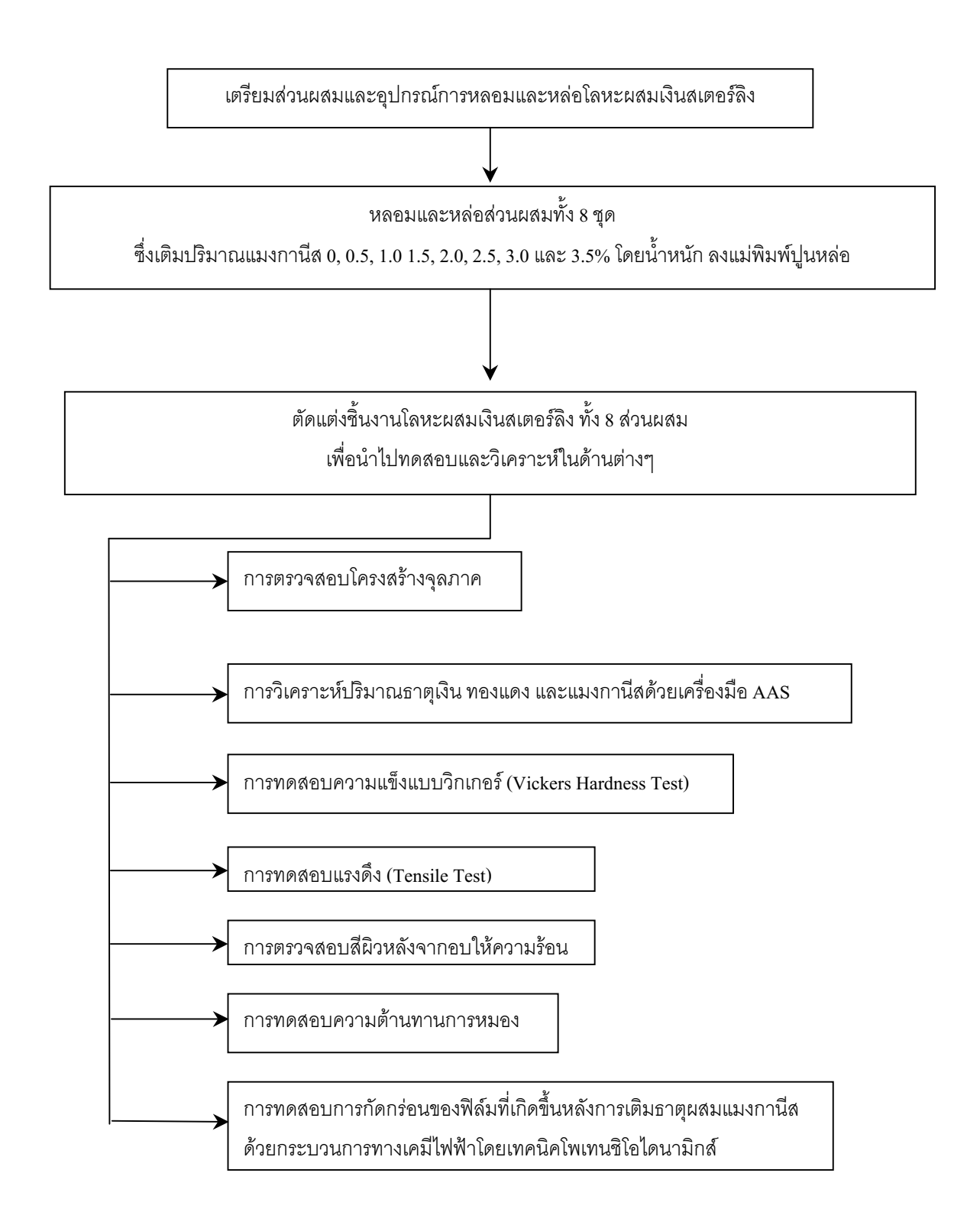
- 4.8.5.3 ชั่งน้ำหนักขึ้นงานหลังจากทดสอบการหมอง แล้วนำขึ้นงานไปวัดค่าความสว่าง L* และค่าสี a*, b* ด้วยเครื่องสเปคโตรโฟโตมิเตอร์อีกครั้ง
- 4.8.5.4 นำค่าที่ได้มาคำนวณหาค่าการเปลี่ยนแปลงสีผิวของชิ้นงาน (DE*) จะได้ค่า DE* ของโลหะทดสอบแต่ละชุดที่เวลาทดสอบต่างๆ กัน แล้ววิเคราะห์และสรุปผล
- 4.8.6 การทดสอบการกัดกร่อนของฟิล์มที่เกิดขึ้นหลังการเติมธาตุผสมแมงกานีส ด้วย กระบวนการทางไฟฟ้าเคมีโดยเทคนิคโพเทนซิโอไดนามิกส์ (Potentiodynamic Technique)
- 4.8.6.1 น้ำชิ้นงานที่ได้จากการหล่อที่มีขนาดกว้าง 9 มิลลิเมตร ยาว 26 มิลลิเมตรและ หนา 1.5 มิลลิเมตรทั้ง 8 ส่วนผสม มาเตรียมผิวโดยขัดผิวด้วยกระดาษทรายเบอร์ 400, 600, 800, 1000 และ 1200 ตามลำดับ ล้างด้วยน้ำและแอลกอฮอล์ แล้วเป่าให้แห้ง เก็บไว้ในโถดูดความชื้นเป็นเวลา 24 ชั่วโมง
- 4.8.6.2 ติดตั้งเครื่องโพเทนซิโอสแตทกับเซลไฟฟ้าเคมี โดยชิ้นงานต่อกับขั้วไฟฟ้าโลหะ ทดสอบ (working electrode; WE) ขั้วไฟฟ้าอ้างอิง (reference electrode; RE) คือ ซิลเวอร์/ซิลเวอร์ คลอไรด์ (Ag/AgCI) และขั้วไฟฟ้าวัดกระแส (counter electrode; CE) คือ แท่งแพลตตินัม (Pt rod) พร้อมทั้งจุ่มเทอร์โมมิเตอร์ในสารละลายเพื่อวัดอุณหภูมิ
- 4.8.6.3 วัดเส้นโพลาไรเซชันของชิ้นงานในสารละลายที่มีเกลือโซเดียมคลอไรด์ 1 เปอร์เซ็นต์โดยน้ำหนัก ที่อุณหภูมิ 25 °C โดยใช้อัตราการป้อนศักย์ไฟฟ้า (potential scanning rate) 0.1 มิลลิโวลท์ต่อวินาที พื้นที่ของโลหะทดสอบที่จุ่มในสารละลายเท่ากับ 1.49 ตารางเซนติเมตร
- 4.8.6.4 วัดเส้นโพลาไรเซชันในสารละลายเช่นเดียวกับข้อ 4.8.6.2 แต่ปล่อยก๊าซ ไฮโดรเจนซัลไฟด์ในสารละลายจนอิ่มตัว
- 4.8.6.5 หาค่า E_{corr} , E_{pp} , I_p , E_p และ I_{corr} จากเส้นโพลาไรเซชันที่ได้ แล้วคำนวณหาค่า อัตราการกัดกร่อน จากสูตรดังสมการ

$$CR = \frac{3272 \cdot I_{corr} \cdot EW}{d \cdot A}$$
(4.9)

Large Proof of the Correction of the

4.8.6.6 วิจารณ์พฤติกรรมการกัดกร่อนของโลหะทดสอบและสรุปผล

แผนภูมิกระบวนการทดลอง



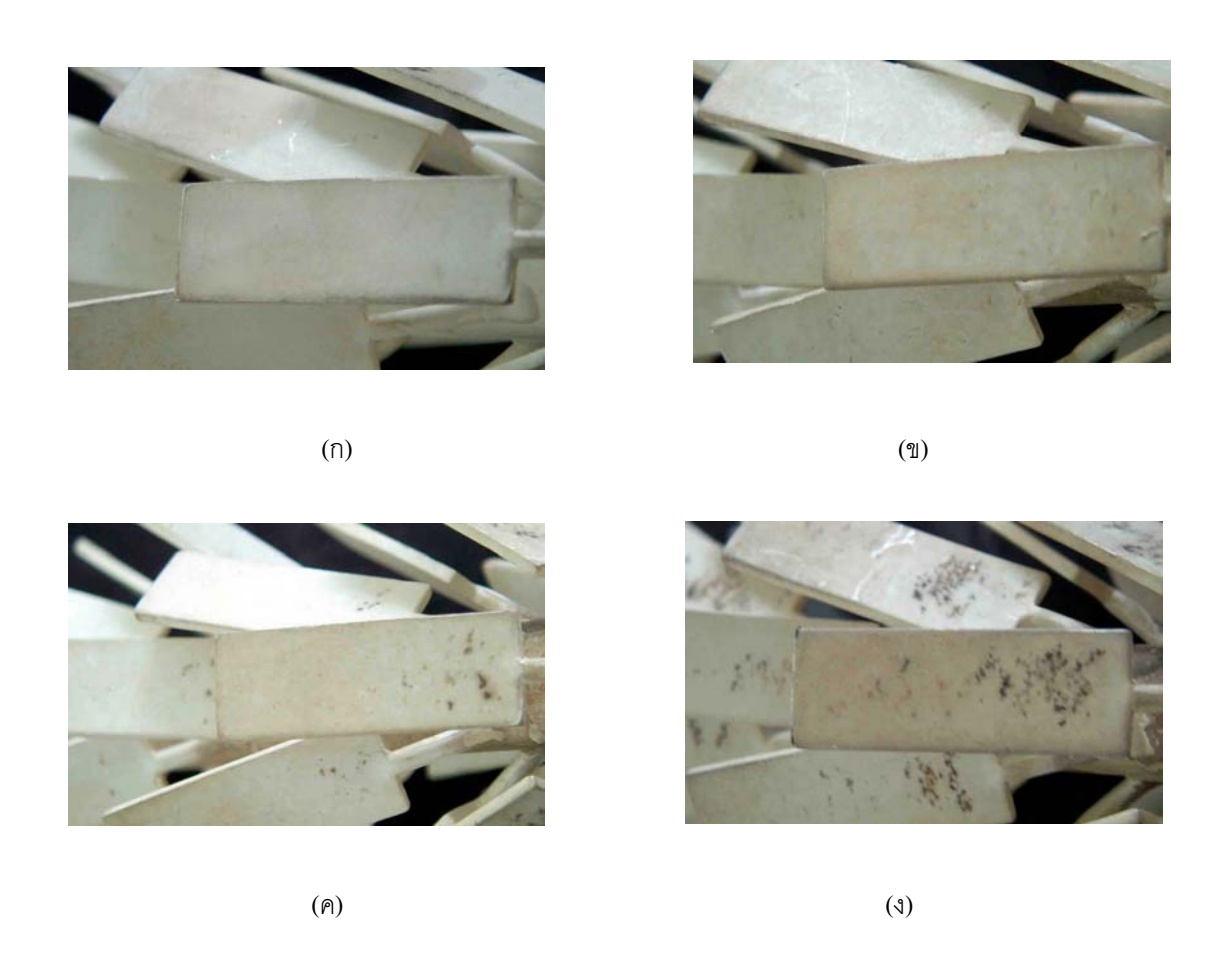
4.9 รายงานผลการทดลอง

4.9.1 ผลที่ได้จากการหลอมและหล่อโลหะผสมเงิน 92.5% - ทองแดง - แมงกานีส

โลหะผสมเงินสเตอร์ลิงทั้ง 8 ชุด ที่เติมปริมาณแมงกานีสในขั้นตอนหลอมและหล่อตั้งแต่ 0, 0.5, 1.0, 1.5, 2.0, 2.5, 3.0 และ 3.5 เปอร์เซ็นต์โดยน้ำหนัก (มีปริมาณแมงกานีสที่ได้จากการตรวจสอบ ส่วนผสมทางเคมี 0, 0.38, 0.76, 1.3, 1.7, 2.1, 2.6 และ 3.0 เปอร์เซ็นต์โดยน้ำหนัก ตามลำดับ) หลอม และหล่อโลหะผสมด้วยเตาแบบสุญญากาศ Yasui VPC ที่อุณหภูมิ 990°C สำหรับโลหะเงินสเตอร์ลิง ที่ไม่เติมแมงกานีส (92.5%Ag – 7.5%Cu) และ 1,030°C สำหรับโลหะผสมแมงกานีส ชิ้นงานหล่อโลหะ ผสมที่ได้จากการหล่อและผิวของชิ้นงาน แสดงดังรูปที่ 4.16 และ 4.17 ตามลำดับ



รูปที่ 4.16 ภาพแสดงชิ้นงานที่ได้จากการหลอมและหล่อแบบสุญญากาศ ของโลหะ เงินสเตอร์ลิงที่เติมปริมาณแมงกานีส 0, 0.5, 1.0, 1.5, 2.0, 2.5, 3.0 และ 3.5 เปอร์เซ็นต์โดยน้ำหนัก



รูปที่ 4.17 ภาพแสดงลักษณะผิวของชิ้นงานที่ได้จากการหล่อ

(ก) โลหะผสมเงินสเตอร์ลิงที่ไม่ได้เติมแมงกานีส

(ข) โลหะผสมที่มีแมงกานีส 0.76 เปอร์เซ็นต์โดยน้ำหนัก

(ค) โลหะผสมที่มีแมงกานีส 1.70 เปอร์เซ็นต์โดยน้ำหนัก

(ง) โลหะผสมที่มีแมงกานีส 2.60 เปอร์เซ็นต์โดยน้ำหนัก

4.9.2 ส่วนผสมทางเคมีของโลหะผสมเงิน 92.5% - ทองแดง – แมงกานีส

ผลที่ได้จากการวิเคราะห์หาปริมาณธาตุเงิน ทองแดง และแมงกานีส จากการตรวจสอบด้วย เครื่องมือ Atomic Absorption Spectroscopy แสดงดังตารางที่ 4.4 และปริมาณแมงกานีสที่สูญเสียจาก งานหล่อ แสดงดังตารางที่ 4.5

ตารางที่ 4.4 แสดงส่วนผสมทางเคมีของโลหะผสมเงิน 92.5% - ทองแดง - แมงกานีส ก่อนและหลังการหล่อ

โลหะผสม	ปริมาณส่วน	เผสมก่อนการ	หล่อ (wt.%)	ปริมาณส่วนผสมหลังการหล่อ (wt.%)			
ชุดที่	Ag	Cu	Mn	Ag	Cu	Mn	
1	92.50	7.50	-	balance	7.65	-	
2	92.50	7.00	0.50	balance	6.97	0.38	
3	92.50	6.50	1.00	balance	6.63	0.76	
4	92.50	6.00	1.50	balance	6.14	1.30	
5	92.50	5.50	2.00	balance	5.40	1.70	
6	92.50	5.00	2.50	balance	4.90	2.10	
7	92.50	4.50	3.00	balance	4.40	2.60	
8	92.50	4.00	3.50	balance	4.00	3.00	

ตารางที่ 4.5 แสดงส่วนผสมทางเคมีของปริมาณแมงกานีสที่ใช้ในการหล่อ ปริมาณแมงกานีสที่มีอยู่จริง และที่สูญ เสียในขณะทำการหล่อ

โลหะผสม	ปริมาณแมงกานีส	ปริมาณแมงกานีส	ปริมาณแมงกานีส		
ชุดที่	ที่ใช้ในการหล่อ (wt.%)	ที่มีอยู่จริง (wt.%)	ที่สูญเสีย (wt.%)		
1	-	-	-		
2	0.50	0.38	0.12		
3	1.00	0.76	0.24		
4	1.50	1.30	0.20		
5	2.00	1.70	0.30		
6	2.50	2.10	0.40		
7	3.00	2.60	0.40		
8	3.50	3.00	0.50		

จากการตรวจสอบส่วนผสมทางเคมีหลังการหล่อพบว่าปริมาณแมงกานีสในโลหะผสม หลังการหล่อ ลดลงจากปริมาณแมงกานีสที่ใช้ในการหล่อ 0.12 – 0.50 เปอร์เซ็นต์โดยน้ำหนัก

4.9.3 ผลที่ได้จากการทดสอบสมบัติทางกลในสภาพหลังการหล่อขึ้นรูป (as - cast) 4.9.3.1 ผลการทดสอบความแข็งแบบวิกเกอร์ (Vickers Hardness Test)

เมื่อวัดค่าความแข็งแบบวิกเกอร์ตามมาตรฐาน ASTM E 92 – 82 ด้วยเครื่องวัดความ แข็งแบบวิกเกอร์ระบบดิจิตอล โดยกดด้วยน้ำหนัก 1 กิโลกรัม เป็นเวลา 10 วินาที วัดความยาวเส้น ทแยงมุมทั้งสองด้าน (\mathbf{d}_1 และ \mathbf{d}_2) แล้วคำนวณค่าความแข็งแบบวิกเกอร์ (HV) โลหะผสมแต่ละซุดกด วัดความแข็ง 4 ครั้ง แล้วหาค่าเฉลี่ย ค่าความยาวเส้นทแยงมุมและค่าความแข็งแสดงไว้ในภาคผนวก ค. (ตาราง ค.1) และค่าความแข็งเฉลี่ยเปรียบเทียบกับปริมาณส่วนผสมทางเคมีของโลหะผสมเงิน 92.5% - ทองแดง – แมงกานีส แสดงไว้ในตารางที่ 4.6

ตารางที่ 4.6 แสดงค่าความแข็งเฉลี่ยแบบวิกเกอร์ (HV) เปรียบเทียบกับปริมาณส่วนผสมทางเคมีของโลหะผสม เงิน 92.5% - ทองแดง – แมงกานีส

โลหะผสมชุดที่	ส่ว	ค่าความแข็งเฉลี่ย*		
	Ag	Cu	Mn	(HV)
1	balance	7.65	-	66.8
2	balance	6.97	0.38	66.3
3	balance	6.63	0.76	65.4
4	balance	6.14	1.30	64.6
5	balance	5.40	1.70	59.6
6	balance	4.90	2.10	58.3
7	balance	4.40	2.60	54.9
8	balance	4.00	3.00	52.1

<u>หมายเหตุ</u> : * เป็นค่าความแข็งเฉลี่ย ซึ่งความยาวเส้นทแยงมุม (d₁ และ d₂) และค่าความแข็งที่คำนวณได้ ทั้งหมด แสดงไว้ในภาคผนวก ค. (ตารางที่ ค.1)

4.9.3.2 ผลการทดสอบแรงดึง (Tensile Test)

ทดสอบแรงดึงตามมาตรฐาน ASTM E 8M – 96 โดยใช้เครื่องทดสอบแรงดึง ระบบ อัตโนมัติ ขนาด 150 kN รุ่น seriesIX โดยบริษัท Instron Corporation ด้วยความเร็วแรงดึง 0.5 มิลลิเมตรต่อนาที ได้ค่าความต้านทานแรงดึงสูงสุด (ultimate tensile strength; UTS) และค่าความเค้น จุดคราก (yield strength; $\sigma_{\rm v}$) แสดงดังตารางที่ 4.7

ตารางที่ 4.7 แสดงผลการทดสอบแรงดึงของโลหะผสมเงิน 92.5% - ทองแดง - แมงกานีส

โลหะผสม	ส่วนเ	เสมทางเคมี (wt.%)	ความต้านทานแรงดึงสูง	ความเค้นจุดคราก* (MPa)	
ชุดที่	Ag	Cu	Mn	สุด* (MPa)		
1	balance	7.65	-	208.7	80.88	
2 **	balance	6.97	0.38	-	-	
3	balance	6.63	0.76	196.3	63.6	
4	balance	6.14	1.30	219.1	69.5	
5	balance	5.40	1.70	183.3	61.4	
6 **	balance	4.90	2.10	-	-	
7	balance	4.40	2.60	149.7	-	
8	balance	4.00	3.00	191.0	46.1	

<u>หมายเหตุ</u> :

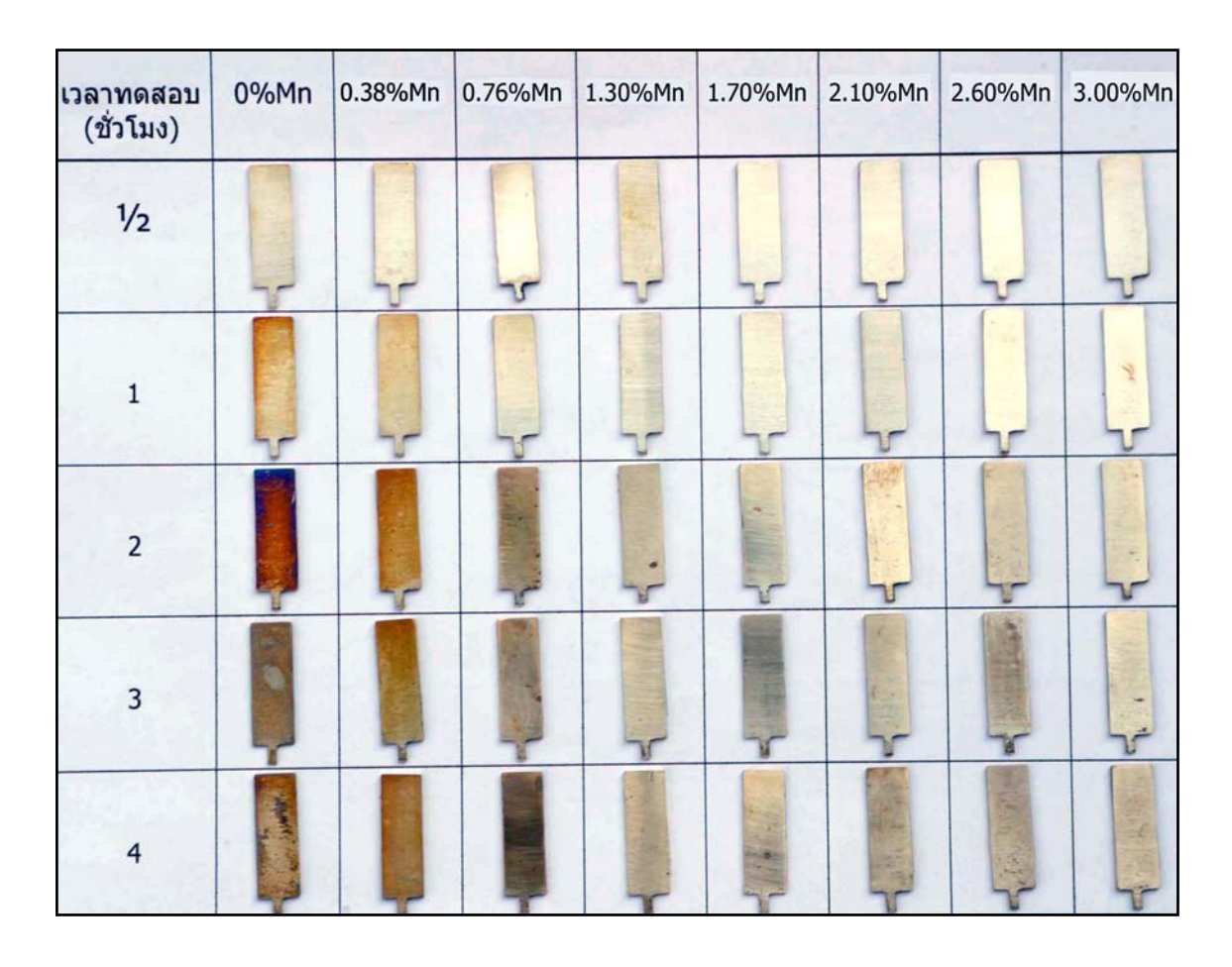
- * เป็นค่าเฉลี่ย ซึ่งค่าความต้านทานแรงดึงสูงสุด และความเค้นจุดครากของชิ้นงานทั้งหมด แสดงไว้ในภาคผนวก ค. (ตารางที่ ค.2)
- ** ไม่สามารถหาค่าได้ เนื่องจากชิ้นงานทดสอบเสียหายขณะเตรียมชิ้นงานและขณะ
 ทดสอบ

4.9.4 ผลการทดสอบความต้านทานการหมอง (Tarnish Resistance)

เตรียมชิ้นงานแต่ละส่วนผสมๆ ละ 5 ชิ้น เพื่อทดสอบในช่วงเวลาที่แตกต่างกัน คือ 0.5, 1, 2, 3 และ 4 ชั่วโมง นำชิ้นงานมาวัดค่าความสว่าง L* และค่าสี a*, b* ด้วยเครื่องสเปคโตรโฟโตมิเตอร์ หลังจากนั้นแขวนชิ้นงานแต่ละชุดการทดลองไว้ในภาชนะปิดที่ใส่สารละลายอิ่มตัวของโซเดียมซัลไฟด์ เพื่อให้ชิ้นงานอยู่ในบรรยากาศของไอซัลเฟอร์ แล้วนำชิ้นงานมาวัดค่า L*, a* และ b* ด้วยเครื่องสเปคโตรโฟโตมิเตอร์อีกครั้ง คำนวณค่าการเปลี่ยนแปลงสีผิวของชิ้นงาน (DE*) ตามสูตรในสมการที่ (4.6) ค่าที่ได้แสดงดังตารางที่ 4.8 และรูปที่ 4.18 แสดงภาพชิ้นงานหลังทดสอบความต้านทานในการกัน หมอง

ตารางที่ 4.8 แสดงค่าการเปลี่ยนแปลงสีผิว (DE*) ของโลหะผสมเงิน 92.5% - ทองแดง – แมงกานีส

โลหะผสม	ส่วนผสมทางเคมี (wt.%)			ค่าการเปลี่ยนแปลงสีผิว (DE*)				
ชุดที่	Ag	Cu	Mn	0.5ชม.	1 ชม.	2 ซม.	3 ซม.	4 ชม.
1	balance	7.65	ı	7.27	23.80	38.86	24.98	23.88
2	balance	6.97	0.38	6.16	16.94	32.66	29.30	26.89
3	balance	6.63	0.76	6.36	9.96	22.53	17.76	24.12
4	balance	6.14	1.30	5.87	3.77	10.02	9.37	13.60
5	balance	5.40	1.70	3.54	5.25	11.28	12.56	14.55
6	balance	4.90	2.10	4.40	3.81	12.91	10.14	14.57
7	balance	4.40	2.60	3.15	6.25	12.85	12.84	14.38
8	balance	4.00	3.00	2.72	4.24	7.49	5.19	13.03



รูปที่ 4.18 ภาพแสดงลักษณะชิ้นงานหลังทดสอบความต้านทานในการกันหมอง

4.9.5 ผลการทดสอบการกัดกร่อนของฟิล์มด้วยกระบวนทางไฟฟ้าเคมี โดยวิธีโพเทน-ซิโอ ไดนา-มิกส์

หลังจากเตรียมชิ้นงานที่ใช้ทดสอบการกัดกร่อนจำนวน 2 ชด ชดละ 8 ส่วนผสม คือ โลหะ เงินสเตอร์ลิงที่มีปริมาณแมงกานีส 0, 0.5, 1.0, 1.5, 2.0, 2.5, 3.0 และ 3.5 เปอร์เซ็นต์โดยน้ำหนัก โดยชด แรกทดสอบในสารละลายโซเดียมคลอไรด์ 1 เปอร์เซ็นต์โดยน้ำหนัก และชดที่ 2 ทดสอบในสารละลาย ชนิดเดียวกัน แต่ปล่อยก๊าซไฮโดรเจนซัลไฟด์เพื่อให้สารละลายอิ่มตัว ต่อเซลไฟฟ้าโดยชิ้นงานทดสอบ อยู่ที่ขั้วไฟฟ้าโลหะทดสอบ (WE) ขั้วไฟฟ้าอ้างอิง (RE) เป็น Ag/AgCl และขั้วไฟฟ้าวัดกระแส (CE) ทดสอบด้วยเทคนิคโพเทนซิโอ ไดนามิกส์ ซึ่งอาศัยการวัดหาความสัมพันธ์ เป็นแท่งแพลตตินัม โดยเพิ่มศักย์ไฟฟ้าให้ขึ้นงาน ระหว่างศักย์ไฟฟ้าและกระแสไฟฟ้าของโลหะทดสอบในสารละลาย ทดสอบด้วยอัตราการสแกน 0.1 มิลลิโวลท์ต่อวินาที แล้ววัดกระแสไฟฟ้าที่เกิดขึ้น ได้กราฟความ สัมพันธ์ระหว่างศักย์ไฟฟ้า (E) และกระแสไฟฟ้า (I) เรียกกราฟนี้ว่าเส้นโพลาไรเซชัน (แสดงในภาค ผนวก จ) หาค่าศักย์ไฟฟ้าการกัดกร่อน $(E_{_{
m corr}})$ ศักย์ไฟฟ้าพาสซิเวชันปฐมภูมิ $(E_{_{
m in}})$ ศักย์ไฟฟ้าการกัด กร่อนแบบรูเข็ม (E_) ความหนาแน่นกระแสไฟฟ้าขณะเกิดฟิล์มพาสซีฟ (I_) และความหนาแน่นกระแส ไฟฟ้าการกัดกร่อน ($\mathbf{I}_{\mathrm{cor}}$) จากเส้นโพลาไรเซชัน แล้วนำค่า $\mathbf{I}_{\mathrm{cor}}$ ไปคำนวณหาค่าอัตราการกัดกร่อน (corrosion rate) จากสูตรในสมการที่ (4.9) หรือคำนวณได้โดยตรงจากโปรแกรมคอมพิวเตอร์ที่ใช้ในการ คำนวณที่ต่อกับเครื่องโพเทนซิโอสแตท ได้ค่าดังตารางที่ 4.9 และ 4.10 เพื่อนำไปวิเคราะห์พฤติ กรรมการกัดกร่อนของโลหะทดสอบต่อไป

ตารางที่ 4.9 แสดงค่า E_{corr} , E_{pp} , E_{p} , I_{p} , I_{corr} และ Corrosion Rate ที่วัดได้จากเส้นโพลาไรเซชันของชิ้นทดสอบ ในสารละลายโซเดียมคลอไรด์ 1 เปอร์เซ็นต์โดยน้ำหนัก

ส่วนผสมทางเคมี (wt.%)	E _{corr} (mV)	E _{pp} (mV)	E _p (mV)	I _p (μA/cm²)	I _{corr} (μA/cm²)	Corrosion Rate (x10 ⁻² mm/year)
1) 7.65Cu – Ag	-132	44	91	117.58	11.61	39.03
2) 6.97Cu – 0.38Mn – Ag	-70	18	81	50.34	10.60	35.64
3) 6.63Cu – 0.76Mn – Ag	-61	13	79	41.15	7.62	25.61
4) 6.14Cu – 1.30Mn – Ag	-56	8	76	26.34	6.49	21.82
5) 5.40Cu – 1.70Mn – Ag	-62	5	76	18.13	5.92	19.91
6) 4.90Cu – 2.10Mn – Ag	-54	4	76	12.36	4.29	14.43
7) 4.40Cu – 2.60Mn – Ag	-44	2	75	11.19	4.25	14.29
8) 4.00Cu – 3.00Mn – Ag	-54	-1	78	5.40	1.38	4.66

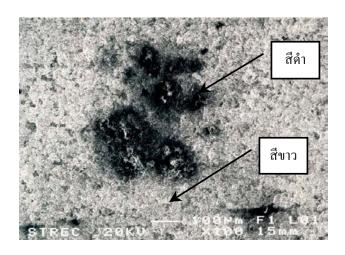
ตารางที่ 4.10 แสดงค่า E_{corr} , E_{pp} , E_p , I_{corr} และ Corrosion Rate ที่วัดได้จากเส้นโพลาไรเซชันของชิ้นทดสอบ ในสารละลายโซเดียมคลอไรด์ 1 เปอร์เซ็นต์โดยน้ำหนัก และอิ่มตัวด้วยก๊าซไฮโดรเจนซัลไฟด์

ส่วนผสมทางเคมี (wt.%)	E _{corr} (mV)	E _{pp} (mV)	E _p (mV)	I _{corr} (μA/cm ²)	Corrosion Rate (x10 ⁻² mm/year)
1) 7.65Cu – Ag	-504	-92	144	27.41	92.17
2) 6.97Cu – 0.38Mn – Ag	-553	-100	310	25.86	86.95
3) 6.63Cu – 0.76Mn – Ag	-504	-157	113	25.03	84.15
4) 6.14Cu – 1.30Mn – Ag	-534	-158	122	22.62	76.07
5) 5.40Cu – 1.70Mn – Ag	-491	-153	126	21.57	72.54
6) 4.90Cu – 2.10Mn – Ag	-508	-189	120	18.95	63.71
7) 4.40Cu – 2.60Mn – Ag	-486	-102	124	17.92	60.25
8) 4.00Cu 3.00Mn - Ag	-512	-186	117	16.74	56.29

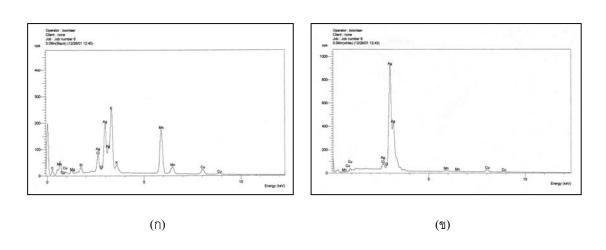
4.10 อภิปรายผลการทดลอง

4.10.1 ผลจากการหลอมและหล่อโลหะผสมเงิน 92.5% - ทองแดง - แมงกานีส

ชิ้นงานที่ได้จากหลอมและหล่อแบบสุญญากาศของ โลหะผสมเงินสเตอร์ลิงที่มีปริมาณ แมงกานีส 0, 0.38, 0.76, 1.30, 1.70, 2.10, 2.60 และ 3.00 เปอร์เซ็นต์โดย น้ำหนักตามลำดับ แสดงดัง รูปที่ 4.16 เมื่อสังเกตและตรวจสอบด้วยตาเปล่าในชิ้นงานหล่อ พบว่าผิวหน้าด้านล่างของโคนต้นตรง บริเวณรูเท (sprue) ที่เป็นทางเข้าของโลหะหลอมเหลวมีลักษณะแตกต่างกัน กล่าวคือ บริเวณผิวหน้า ด้านล่างของโลหะผสมจะเรียบขึ้นเมื่อมีปริมาณแมงกานีสสูงขึ้น แสดงว่าธาตุแมงกานีสที่เพิ่มขึ้น มีส่วน ช่วยเพิ่มความสามารถในการเปียก (wettability) ให้แก่โลหะผสม นอกจากนี้จากการสังเกตลักษณะสี ผิว พบว่าโลหะผสมแมงกานีสจะมีผิวเป็นสีชมพูเข้มขึ้นเมื่อเติมธาตุแมงกานีสสูงขึ้น และยังพบจุดดำ บนผิวชิ้นงานที่มีธาตุแมงกานีสผสมตั้งแต่ 1.70 เปอร์เซ็นต์โดยน้ำหนักขึ้นไป ดังแสดงไว้ในรูปที่ 4.17 โดยจุดดำจะมีสีเข้มขึ้นเมื่อมีธาตุแมงกานีสสูงขึ้น จากการตรวจสอบปริมาณธาตุบริเวณผิวที่เกิดจุดสี ดำด้วย EDX (รูปที่ 4.19) พบว่ามีธาตุที่เป็นองค์ประกอบ ได้แก่ คาร์บอน ออกซิเจน แมงกานีส เงิน คลอรีน และฟลูออรีน ซึ่งจะมีปริมาณธาตุแมงกานีสค่อนข้างสูง ดังกราฟที่แสดงในรูปที่ 4.20 (ก) ซึ่ง ผิวโลหะผสมน่าจะทำปฏิกิริยากับบรรยากาศขณะหล่อและหลังการหล่อเสร็จสิ้นแล้ว และเมื่อตรวจ สอบบริเวณสีขาวจะแสดงพีค (peak) ของโลหะเงินในปริมาณสูง ดังรูปที่ 4.20 (ข)



ร**ูปที่ 4.19** ภาพแสดงจุดสีดำบนผิวโลหะผสม 4.40%Cu – 2.60%Mn – balance of Ag ถ่ายด้วยกล้องจุลทรรศน์แบบส่องกวาด (SEM) *กำลังขยาย 100 เท่า*



รูปที่ 4.20 กราฟแสดงผลจากการตรวจสอบปริมาณธาตุผสมบนผิวของโลหะผสม
4.40%Cu - 2.60%Mn - balance of Ag (ก) บริเวณสีดำ (ข) บริเวณสีขาว

4.10.2 ส่วนผสมทางเคมีของโลหะผสมเงิน 92.5% - ทองแดง – แมงกานีส ผลการตรวจสอบส่วนผสมทางเคมีหลังการหล่อ แสดงไว้ในตารางที่ 4.4 โดยโลหะผสมทั้ง 8 ชุด มีปริมาณธาตุแมงกานีสก่อนหลอมและหล่อ 0 – 3.5 เปอร์เซ็นต์โดยน้ำหนัก เมื่อตรวจสอบส่วนผสม หลังการหล่อ พบว่าปริมาณธาตุแมงกานีสที่ตรวจสอบได้ในโลหะผสมลดลงจากปริมาณแมงกานีสที่ใช้ ในการหล่อ เหลือธาตุแมงกานีสเพียง 0 – 3% โดยน้ำหนัก ปริมาณธาตุแมงกานีสที่สูญเสีย มีค่าตั้งแต่ 0 – 0.5% โดยน้ำหนัก (ดังตารางที่ 4.5) ซึ่งถ้าเติมปริมาณแมงกานีสในโลหะผสมมาก ปริมาณ แมงกานีสที่สูญเสียก็มีมากเช่นกัน ยกเว้นในโลหะผสมชุดที่ 3 ที่ใช้ธาตุแมงกานีสในการหล่อ 1

เปอร์เซ็นต์โดยน้ำหนัก แต่สูญเสียไปในขั้นตอนการหล่อสูงกว่าในโลหะชุดที่ 4 ที่มีการเติมธาตุ แมงกานีส 1.5 เปอร์เซ็นต์โดยน้ำหนัก

จากส่วนผสมทางเคมีทั้ง 8 ชุด ถึงแม้ปริมาณธาตุแต่ละชนิดที่ตรวจสอบได้จะไม่เท่ากับปริมาณ ธาตุที่เติมลงไป แต่แนวโน้มของปริมาณธาตุทองแคงที่ลดลงและแมงกานีสที่เพิ่มขึ้น ซึ่งเป็นไปในทิศ ทางเคียวกับปริมาณธาตุที่เติมลงไปก่อนหล่อ คือมีสัดส่วนที่สามารถนำไปทดสอบสมบัติต่าง ๆ เพื่อ ศึกษาเปรียบเทียบได้

ปัจจัยที่มีผลต่อการสูญเสียธาตุแมงกานีสในโลหะผสม คือ การที่ธาตุแมงกานีสมีสมบัติเป็นตัว ลดออกซิเจน (deoxidizer) สามารถรวมตัวกับออกซิเจนได้ดีกว่าธาตุเงินและทองแดงที่เป็นธาตุหลัก จึง เกิดปฏิกิริยาออกซิเจชันขึ้น ได้สารประกอบแมงกานีสออกไซด์ลอยปกคลุมอยู่ผิวหน้าโลหะขณะกวนโลหะหลอมเหลวในขั้นตอนการหลอม และหลังจากโลหะเย็นตัว จะเหลือเศษโลหะหรือสแลก (slag) แยกตัวออกมาอยู่บริเวณผิวหน้าตรงรูเทของงานหล่อ

4.10.3 ผลการตรวจสอบโครงสร้างจุลภาค

การตรวจสอบโครงสร้างจุลภาคของโลหะผสมเงิน 92.5% - ทองแดง - แมงกานีส ในสภาพ หล่อ โครงสร้างจุลภาคของโลหะผสมหลังจากกัดกรด แสดงในภาคผนวก ฉ. รูปที่ ฉ.1, ฉ.2 และ ฉ.3 เป็นภาพกำลังขยาย 50 100 และ 200 เท่าตามลำดับ และโครงสร้างจุลภาคก่อนการกัดกรด ซึ่งถ่ายด้วย กล้องจุลทรรศน์แบบส่องกวาด (SEM) แสดงดังรูปที่ 4.21 พบว่าโครงสร้างจุลภาคของโลหะเงินสเตอร์ ลิงทุกอัตราส่วนผสมที่ได้จากการหล่อ มีลักษณะเป็นเดนไดรท์ (dendrite) พบโครงสร้างหลัก 2 เฟส คือ โครงสร้างเนื้อพื้น (matrix) และโครงสร้างยูเทคติค (eutectic structure) โดยโครงสร้างเนื้อพื้นจะมีเงิน เป็นองค์ประกอบสูง เรียก Ag – rich solid solution phase (α - phase) สำหรับในโครงสร้างยูเทคติคจะ มี Ag – rich solid solution และ Cu – rich solid solution (β - phase) โดย secondary structure มี ลักษณะเป็นแถบสีดำกระจัดกระจายอยู่ โครงสร้าง secondary structure ที่พบมีปริมาณธาตุต่างๆ มาก น้อยขึ้นอยู่กับโลหะผสมที่มีส่วนผสมแตกต่างกันไป ซึ่งตรวจสอบได้จาก EDX ปริมาณธาตุผสมใน โครงสร้างที่ตรวจสอบได้และกราฟแสดงพีคของธาตุต่างๆ ในโครงสร้างนั้น แสดงไว้ในภาคผนวก ช. ซึ่งเป็นการวิเคราะห์เชิงปริมาณโดยไม่มีชิ้นงานมาตรฐานเปรียบเทียบ

4.10.3.1 โลหะผสมเงินสเตอร์ลิงที่ไม่ได้เติมแมงกานีสมีส่วนผสมทางเคมี 7.65%Cu – balance of Ag (รูปที่ 4.21 (ก) และ (ข)) พบว่าโครงสร้างเนื้อพื้นเป็น Ag – rich solid solution (α - phase) มีลักษณะเป็นพื้นสีขาว จากการตรวจสอบส่วนผสมทางเคมีด้วย EDX ที่บริเวณนี้พบปริมาณธาตุ ต่าง ๆ ดังนี้ 95.53%Ag – 4.47%Cu โดยน้ำหนัก ที่กำลังขยายสูงขึ้น (2000 เท่า) ดังรูปที่ 4.21 (ข) จะพบ secondary structure ที่มีลักษณะแถบลายขาวดำ เมื่อตรวจสอบส่วนผสมโดยรวม (บริเวณ A) ด้วย EDX จะมีปริมาณธาตุต่างๆ ดังนี้ 69.53%Ag –30.47%Cu โดยน้ำหนัก บริเวณที่มีสีดำ (จุด B) มีส่วนผสมดัง นี้ 22.09%Ag – 77.91%Cu จะเห็นได้ว่าตรงบริเวณนี้มีปริมาณธาตุทองแดงสูงมาก (Cu - rich phase)

สำหรับโลหะเงินสเตอร์ลิงที่มีปริมาณแมงกานีสต่างๆ กัน คือ 0.38, 0.76, 1.3, 1.7, 2.1, 2.6 และ 3.0 เปอร์เซ็นต์โดยน้ำหนัก จะมีโครงสร้างเนื้อพื้นเป็น Ag – rich phase เช่นเดียวกับโลหะ เงินสเตอร์ลิงที่ไม่ได้เติมแมงกานีส และเมื่อเติมปริมาณแมงกานีสมากขึ้น ในทางตรงข้ามจะมีปริมาณ ทองแดงลดน้อยลง จากภาพโครงสร้างจุลภาคจะเห็นโครงสร้างยูเทคติคที่อยู่ระหว่างกิ่งของเดนไดรท์มี ปริมาณลดลง เมื่อตรวจสอบส่วนผสมทางเคมีด้วย EDX ดังตารางในภาคผนวก ข. พบว่าตรงบริเวณ โครงสร้างยูเทคติคและโครงสร้างเนื้อพื้น จะมีปริมาณแมงกานีสในโครงสร้างสูงขึ้นแปรผันตาม ปริมาณแมงกานีสที่เติมลงไป สำหรับบริเวณอนุภาคสีคำบนโครงสร้างยูเทคติคจะมีปริมาณทองแดง ค่อนข้างสูง ซึ่งสูงกว่าปริมาณเงินที่มีอยู่มาก แสดงว่าธาตุทองแดงจะเป็นองค์ประกอบหลักของอนุภาค สีดำที่อยู่บนโครงสร้างยูเทคติค

4.10.3.2 โลหะเงินสเตอร์ลิงที่มีปริมาณส่วนผสมเคมี 6.97%Cu – 0.38%Mn – balance of Ag มีโครงสร้างคังรูปที่ 4.21 (ค) และ (ง) ที่กำลังขยาย 100 เท่า (รูปที่ 4.21 (ค)) จะเห็นลักษณะโครง สร้างเดนไครท์ที่ได้จากงานหล่อขึ้นรูปเช่นเดียวกับโลหะเงินสเตอริ์ลิงที่ไม่ได้เติมแมงกานีส โดยบริเวณ โครงสร้างเดนไครท์ที่เป็นโครงสร้างเนื้อพื้น จะเป็น Ag – rich phase และเมื่อตรวจสอบด้วย EDX จะ พบปริมาณ สัคส่วนของธาตุคังนี้ Ag : Cu : Mn = 92.46 : 7.23 : 0.31 เปอร์เซ็นต์โดยน้ำหนัก และพบ โครงสร้างยูเทคติคลักษณะ Irregular shape (รูปที่ 4.21 (ง)) เช่นเดียวกับที่พบในโลหะเงินสเตอร์ลิงที่ไม่ ได้เติมแมงกานีส บริเรณรอบนอกของโครงสร้างยูเทคติคมีลักษณะ Interdendritic shinkage กระจายอยู่ รอบ ๆ ปริมาณสัดส่วนธาตุที่พบบริเวณโครงสร้างนี้ (บริเวณ C) คือ Ag : Cu : Mn = 70.90 : 28.62 : 0.48 เปอร์เซ็นต์โดยน้ำหนัก โดยบริเวณอนุภาคสีดำบนโครงสร้างยูเทคติค (จุด D) จะมีปริมาณธาตุ ทองแคงเป็นองค์ประกอบในสัดส่วนสูง คือ Ag : Cu : Mn = 29.29 : 70.17 : 0.54 เปอร์เซ็นต์โดยน้ำหนัก ซึ่งปริมาณแมงกานีสที่พบในโครงสร้างเนื้อพื้นค่อน ข้างมาก แสดงว่าธาตุแมงกานีสสามารถรวมตัวกับทองแคงอยู่ภายใน secondary structure ได้มากกว่า ละลายใน Ag – rich phase บนโครงสร้างเนื้อพื้น

4.10.3.3 โลหะเงินสเตอร์ลิงที่มีปริมาณทองแดงและแมงกานีส 6.63 และ 0.76 เปอร์เซ็นต์โดยน้ำหนัก ตามลำดับ ที่เหลือเป็นธาตุเงิน จะพบโครงสร้างลักษณะเดนไดรท์และโครง สร้างยูเทคติกลักษณะ irregular shape ค่อนข้างยาวกระจายอยู่ทั่วโครงสร้างเนื้อพื้น แสดงดังรูปที่ 4.21 (ฉ) จากการตรวจสอบส่วนผสมด้วย EDX ปริมาณธาตุต่าง ๆ บนโครงสร้างเนื้อพื้น เท่ากับ 93.11%Ag – 6.22%Cu – 0.67%Mn และบริเวณโครงสร้างยูเทคติกรวมมีส่วนผสม คือ 71.74%Ag – 27.10%Cu – 1.17%Mn

4.10.3.4 โลหะเงินสเตอร์ลิงที่มีปริมาณทองแคงและแมงกานีส 6.14 และ 1.30 เปอร์เซ็นต์โดยน้ำหนัก ตามลำดับ ที่เหลือเป็นธาตุเงิน โครงสร้างยูเทคติคที่พบเป็นลักษณะ irregular shape (รูปที่ 4.21 (ซ)) แต่รูปร่างไม่เรียวยาวเหมือนโครงสร้างยูเทคติค บนโลหะเงินสเตอร์ลิงที่มี ปริมาณแมงกานีส 0.76 เปอร์เซ็นต์โดยน้ำหนัก และปริมาณธาตุผสมบริเวณโครงสร้างยูเทคติค (บริเวณ

E) คือ 65.19% Ag - 32.92% Cu - 1.88% Mn ปริมาณธาตุของอนุภาคสีดำในโครงสร้างยูเทคติค คือ 20.96% Ag - 76.69% Cu - 2.35% Mn ซึ่งเป็น Cu - rich phase มีธาตุทองแดงอยู่ในสัดส่วนที่สูงมาก

4.10.3.5 โครงสร้างโลหะผสมเงินสเตอร์ลิงที่มีส่วนผสมทางเคมี 5.40%Cu – 1.70%Mn – balance of Ag แสดงดังรูปที่ 4.21 (ฌ) และ (ญ) ที่กำลังขยาย 100 เท่า พบโครงสร้างเดน ใครท์ที่สังเกตได้ว่าโครงสร้างเนื้อพื้นสีขาวมีบริเวณกว้างมากขึ้น (94.16%Ag – 4.22%Cu -1.62%Mn) และบริเวณโครงสร้างยูเทคติคจะลดลงเนื่องจากการลดลงของปริมาณทองแดงในโลหะผสม ถึงแม้ ปริมาณแมงกานีสที่ละลายอยู่ในโลหะผสมจะเพิ่มขึ้นก็ตาม แต่ก็ยังมีปริมาณน้อยเมื่อเทียบกับธาตุหลัก ทำให้พบโครงสร้างยูเทคติคกระจัดกระจายอยู่ทั่วไปอย่างไม่หนาแน่นนัก ซึ่งธาตุที่มีผลต่อโครงสร้างยูเทคติคนี้ คือ ธาตุทองแดงเนื่องจากสัดส่วนในการเติมธาตุทองแดงต่อธาตุแมงกานีสค่อนข้างสูง รอบ นอกของโครงสร้าง ยูเทคติคพบ Interdendritic shrinkage จากการตรวจสอบส่วนผสมทางเคมีด้วย EDX บริเวณโครงสร้าง ยูเทคติครวมมีปริมาณธาตุดังนี้ 60.84%Ag – 36.54%Cu – 2.61%Mn

4.10.3.6 โครงสร้างของโลหะเงินสเตอร์ลิงที่มีส่วนผสมทางเคมี 4.90%Cu – 2.10%Mn – balance of Ag แสดงดังรูปที่ 4.21 (ฎ) และ (ฎ) พบว่าโครงสร้างยูเทคติคในโลหะผสมมี ความหนาแน่นลดลง เกิดจากการลดลงของธาตุทองแดงในโลหะผสม และลักษณะ โครงสร้างยูเทคติคที่ ได้ค่อนข้างกลม โดยจาก EDX พบส่วนผสมทางเคมีที่บริเวณเนื้อพื้นดังนี้ 93.80%Ag – 4.14%Cu – 2.05%Mn ปริมาณธาตุต่าง ๆ บริเวณโครงสร้างยูเทคติครวมเท่ากับ 57.41%Ag – 39.20%Cu – 3.39%Mn

4.10.3.7 โครงสร้างของโลหะเงินสเตอร์ลิงที่มีส่วนผสมทางเคมี 4.40%Cu – 2.60%Mn – balance of Ag แสดงคังรูปที่ 4.21 (ฐ) และ (ฑ) จากการตรวจสอบ EDX พบว่าปริมาณ แมงกานีสจะเพิ่มขึ้นทั้งในโครงสร้างเนื้อพื้นและยูเทคติค โดยบริเวณโครงสร้างเนื้อพื้นมีสัดส่วนของ ธาตุผสม Ag : Cu : Mn = 92.81 : 4.62 : 2.57 เปอร์เซ็นต์โดยน้ำหนัก และบริเวณโครงสร้างยูเทคติคมีสัด ส่วนของธาตุผสม Ag : Cu : Mn = 66.58 : 29.36 : 4.06 เปอร์เซ็นต์โดยน้ำหนัก โดยอนุภาค สีดำใน โครงสร้าง ยูเทคติคมีส่วนผสม Ag : Cu : Mn = 15.76 : 78.52 : 5.71 เปอร์เซ็นต์โดยน้ำหนัก ซึ่งปริมาณ ทองแดงที่พบสูงกว่าที่พบบนโครงสร้างเนื้อพื้น

4.10.3.8 โลหะเงินสเตอร์ลิงที่มีส่วนผสมทางเคมี 4.00%Cu - 3.00%Mn - balance of Ag จะมีลักษณะโครงสร้างจุลภาคแสดงดังรูปที่ 4.21 (ฒ) และ (ณ) และจากการตรวจสอบส่วนผสมทาง เคมีด้วย EDX โครงสร้างเนื้อพื้นมีปริมาณธาตุต่างๆ คือ 91.42%Ag - 5.33%Cu - 3.25%Mn และ โครงสร้างยูเทคติคมีปริมาณธาตุดังนี้ 53.99%Ag - 40.41%Cu - 5.60%Mn โดยน้ำหนัก

จากลักษณะ โครงสร้างจุลภาคของโลหะผสมเงิน 92.5% - ทองแคง - แมงกานีส ที่มีปริมาณ แมงกานีสแตกต่างกัน ลักษณะ โครงสร้างที่ได้เห็นได้ชัดเจนว่าบริเวณกิ่งของเคนไครท์มีเงินเป็นส่วน ผสมทางเคมีสูง และบริเวณโครงสร้างยูเทคติคซึ่งอยู่ระหว่างกิ่งของเคนไครท์จะมีทองแคงเป็นองค์ ประกอบในสัดส่วนที่ค่อนข้างสูง โดยโครงสร้างยูเทคติกนี้จะมีปริมาณลดลงเมื่อมีปริมาณทองแคงใน

โลหะผสมลดลง ชาตุแมงกานีสที่เติมลงไปในโลหะผสมจะเป็นองค์ประกอบอยู่ในโครงสร้างยูเทคติค ในปริมาณมากกว่าที่พบในโครงสร้างเนื้อพื้น และปริมาณแมงกานีสที่พบในโครงสร้างทั้งสองจะมี ปริมาณเพิ่มขึ้นตามปริมาณแมงกานีสที่เพิ่มขึ้นในโลหะผสม ซึ่งแมงกานีสจะอยู่รวมกับโครงสร้างที่มี ทองแดงเป็นองค์ประกอบมากกว่า

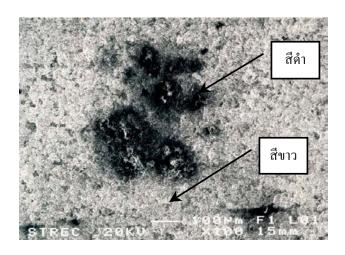
ตารางที่ 4.10 แสดงค่า E_{corr} , E_{pp} , E_p , I_{corr} และ Corrosion Rate ที่วัดได้จากเส้นโพลาไรเซชันของชิ้นทดสอบ ในสารละลายโซเดียมคลอไรด์ 1 เปอร์เซ็นต์โดยน้ำหนัก และอิ่มตัวด้วยก๊าซไฮโดรเจนซัลไฟด์

ส่วนผสมทางเคมี (wt.%)	E _{corr} (mV)	E _{pp} (mV)	E _p (mV)	I _{corr} (μA/cm ²)	Corrosion Rate (x10 ⁻² mm/year)
1) 7.65Cu – Ag	-504	-92	144	27.41	92.17
2) 6.97Cu – 0.38Mn – Ag	-553	-100	310	25.86	86.95
3) 6.63Cu – 0.76Mn – Ag	-504	-157	113	25.03	84.15
4) 6.14Cu – 1.30Mn – Ag	-534	-158	122	22.62	76.07
5) 5.40Cu – 1.70Mn – Ag	-491	-153	126	21.57	72.54
6) 4.90Cu – 2.10Mn – Ag	-508	-189	120	18.95	63.71
7) 4.40Cu – 2.60Mn – Ag	-486	-102	124	17.92	60.25
8) 4.00Cu 3.00Mn - Ag	-512	-186	117	16.74	56.29

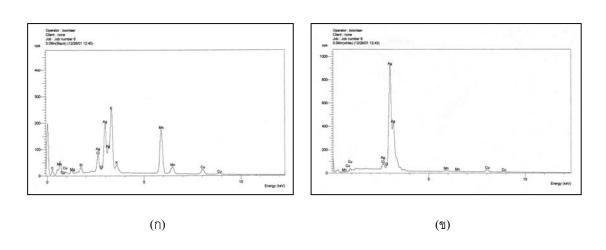
4.10 อภิปรายผลการทดลอง

4.10.1 ผลจากการหลอมและหล่อโลหะผสมเงิน 92.5% - ทองแดง - แมงกานีส

ชิ้นงานที่ได้จากหลอมและหล่อแบบสุญญากาศของ โลหะผสมเงินสเตอร์ลิงที่มีปริมาณ แมงกานีส 0, 0.38, 0.76, 1.30, 1.70, 2.10, 2.60 และ 3.00 เปอร์เซ็นต์โดย น้ำหนักตามลำดับ แสดงดัง รูปที่ 4.16 เมื่อสังเกตและตรวจสอบด้วยตาเปล่าในชิ้นงานหล่อ พบว่าผิวหน้าด้านล่างของโคนต้นตรง บริเวณรูเท (sprue) ที่เป็นทางเข้าของโลหะหลอมเหลวมีลักษณะแตกต่างกัน กล่าวคือ บริเวณผิวหน้า ด้านล่างของโลหะผสมจะเรียบขึ้นเมื่อมีปริมาณแมงกานีสสูงขึ้น แสดงว่าธาตุแมงกานีสที่เพิ่มขึ้น มีส่วน ช่วยเพิ่มความสามารถในการเปียก (wettability) ให้แก่โลหะผสม นอกจากนี้จากการสังเกตลักษณะสี ผิว พบว่าโลหะผสมแมงกานีสจะมีผิวเป็นสีชมพูเข้มขึ้นเมื่อเติมธาตุแมงกานีสสูงขึ้น และยังพบจุดดำ บนผิวชิ้นงานที่มีธาตุแมงกานีสผสมตั้งแต่ 1.70 เปอร์เซ็นต์โดยน้ำหนักขึ้นไป ดังแสดงไว้ในรูปที่ 4.17 โดยจุดดำจะมีสีเข้มขึ้นเมื่อมีธาตุแมงกานีสสูงขึ้น จากการตรวจสอบปริมาณธาตุบริเวณผิวที่เกิดจุดสี ดำด้วย EDX (รูปที่ 4.19) พบว่ามีธาตุที่เป็นองค์ประกอบ ได้แก่ คาร์บอน ออกซิเจน แมงกานีส เงิน คลอรีน และฟลูออรีน ซึ่งจะมีปริมาณธาตุแมงกานีสค่อนข้างสูง ดังกราฟที่แสดงในรูปที่ 4.20 (ก) ซึ่ง ผิวโลหะผสมน่าจะทำปฏิกิริยากับบรรยากาศขณะหล่อและหลังการหล่อเสร็จสิ้นแล้ว และเมื่อตรวจ สอบบริเวณสีขาวจะแสดงพีค (peak) ของโลหะเงินในปริมาณสูง ดังรูปที่ 4.20 (ข)



ร**ูปที่ 4.19** ภาพแสดงจุดสีดำบนผิวโลหะผสม 4.40%Cu – 2.60%Mn – balance of Ag ถ่ายด้วยกล้องจุลทรรศน์แบบส่องกวาด (SEM) *กำลังขยาย 100 เท่า*



รูปที่ 4.20 กราฟแสดงผลจากการตรวจสอบปริมาณธาตุผสมบนผิวของโลหะผสม
4.40%Cu - 2.60%Mn - balance of Ag (ก) บริเวณสีดำ (ข) บริเวณสีขาว

4.10.2 ส่วนผสมทางเคมีของโลหะผสมเงิน 92.5% - ทองแดง – แมงกานีส ผลการตรวจสอบส่วนผสมทางเคมีหลังการหล่อ แสดงไว้ในตารางที่ 4.4 โดยโลหะผสมทั้ง 8 ชุด มีปริมาณธาตุแมงกานีสก่อนหลอมและหล่อ 0 – 3.5 เปอร์เซ็นต์โดยน้ำหนัก เมื่อตรวจสอบส่วนผสม หลังการหล่อ พบว่าปริมาณธาตุแมงกานีสที่ตรวจสอบได้ในโลหะผสมลดลงจากปริมาณแมงกานีสที่ใช้ ในการหล่อ เหลือธาตุแมงกานีสเพียง 0 – 3% โดยน้ำหนัก ปริมาณธาตุแมงกานีสที่สูญเสีย มีค่าตั้งแต่ 0 – 0.5% โดยน้ำหนัก (ดังตารางที่ 4.5) ซึ่งถ้าเติมปริมาณแมงกานีสในโลหะผสมมาก ปริมาณ แมงกานีสที่สูญเสียก็มีมากเช่นกัน ยกเว้นในโลหะผสมชุดที่ 3 ที่ใช้ธาตุแมงกานีสในการหล่อ 1

เปอร์เซ็นต์โดยน้ำหนัก แต่สูญเสียไปในขั้นตอนการหล่อสูงกว่าในโลหะชุดที่ 4 ที่มีการเติมธาตุ แมงกานีส 1.5 เปอร์เซ็นต์โดยน้ำหนัก

จากส่วนผสมทางเคมีทั้ง 8 ชุด ถึงแม้ปริมาณธาตุแต่ละชนิดที่ตรวจสอบได้จะไม่เท่ากับปริมาณ ธาตุที่เติมลงไป แต่แนวโน้มของปริมาณธาตุทองแคงที่ลดลงและแมงกานีสที่เพิ่มขึ้น ซึ่งเป็นไปในทิศ ทางเคียวกับปริมาณธาตุที่เติมลงไปก่อนหล่อ คือมีสัดส่วนที่สามารถนำไปทดสอบสมบัติต่าง ๆ เพื่อ ศึกษาเปรียบเทียบได้

ปัจจัยที่มีผลต่อการสูญเสียธาตุแมงกานีสในโลหะผสม คือ การที่ธาตุแมงกานีสมีสมบัติเป็นตัว ลดออกซิเจน (deoxidizer) สามารถรวมตัวกับออกซิเจนได้ดีกว่าธาตุเงินและทองแดงที่เป็นธาตุหลัก จึง เกิดปฏิกิริยาออกซิเจชันขึ้น ได้สารประกอบแมงกานีสออกไซด์ลอยปกคลุมอยู่ผิวหน้าโลหะขณะกวนโลหะหลอมเหลวในขั้นตอนการหลอม และหลังจากโลหะเย็นตัว จะเหลือเศษโลหะหรือสแลก (slag) แยกตัวออกมาอยู่บริเวณผิวหน้าตรงรูเทของงานหล่อ

4.10.3 ผลการตรวจสอบโครงสร้างจุลภาค

การตรวจสอบโครงสร้างจุลภาคของโลหะผสมเงิน 92.5% - ทองแดง - แมงกานีส ในสภาพ หล่อ โครงสร้างจุลภาคของโลหะผสมหลังจากกัดกรด แสดงในภาคผนวก ฉ. รูปที่ ฉ.1, ฉ.2 และ ฉ.3 เป็นภาพกำลังขยาย 50 100 และ 200 เท่าตามลำดับ และโครงสร้างจุลภาคก่อนการกัดกรด ซึ่งถ่ายด้วย กล้องจุลทรรศน์แบบส่องกวาด (SEM) แสดงดังรูปที่ 4.21 พบว่าโครงสร้างจุลภาคของโลหะเงินสเตอร์ ลิงทุกอัตราส่วนผสมที่ได้จากการหล่อ มีลักษณะเป็นเดนไดรท์ (dendrite) พบโครงสร้างหลัก 2 เฟส คือ โครงสร้างเนื้อพื้น (matrix) และโครงสร้างยูเทคติค (eutectic structure) โดยโครงสร้างเนื้อพื้นจะมีเงิน เป็นองค์ประกอบสูง เรียก Ag – rich solid solution phase (α - phase) สำหรับในโครงสร้างยูเทคติคจะ มี Ag – rich solid solution และ Cu – rich solid solution (β - phase) โดย secondary structure มี ลักษณะเป็นแถบสีดำกระจัดกระจายอยู่ โครงสร้าง secondary structure ที่พบมีปริมาณธาตุต่างๆ มาก น้อยขึ้นอยู่กับโลหะผสมที่มีส่วนผสมแตกต่างกันไป ซึ่งตรวจสอบได้จาก EDX ปริมาณธาตุผสมใน โครงสร้างที่ตรวจสอบได้และกราฟแสดงพีคของธาตุต่างๆ ในโครงสร้างนั้น แสดงไว้ในภาคผนวก ช. ซึ่งเป็นการวิเคราะห์เชิงปริมาณโดยไม่มีชิ้นงานมาตรฐานเปรียบเทียบ

4.10.3.1 โลหะผสมเงินสเตอร์ลิงที่ไม่ได้เติมแมงกานีสมีส่วนผสมทางเคมี 7.65%Cu – balance of Ag (รูปที่ 4.21 (ก) และ (ข)) พบว่าโครงสร้างเนื้อพื้นเป็น Ag – rich solid solution (α - phase) มีลักษณะเป็นพื้นสีขาว จากการตรวจสอบส่วนผสมทางเคมีด้วย EDX ที่บริเวณนี้พบปริมาณธาตุ ต่าง ๆ ดังนี้ 95.53%Ag – 4.47%Cu โดยน้ำหนัก ที่กำลังขยายสูงขึ้น (2000 เท่า) ดังรูปที่ 4.21 (ข) จะพบ secondary structure ที่มีลักษณะแถบลายขาวดำ เมื่อตรวจสอบส่วนผสมโดยรวม (บริเวณ A) ด้วย EDX จะมีปริมาณธาตุต่างๆ ดังนี้ 69.53%Ag –30.47%Cu โดยน้ำหนัก บริเวณที่มีสีดำ (จุด B) มีส่วนผสมดัง นี้ 22.09%Ag – 77.91%Cu จะเห็นได้ว่าตรงบริเวณนี้มีปริมาณธาตุทองแดงสูงมาก (Cu - rich phase)

สำหรับโลหะเงินสเตอร์ลิงที่มีปริมาณแมงกานีสต่างๆ กัน คือ 0.38, 0.76, 1.3, 1.7, 2.1, 2.6 และ 3.0 เปอร์เซ็นต์โดยน้ำหนัก จะมีโครงสร้างเนื้อพื้นเป็น Ag – rich phase เช่นเดียวกับโลหะ เงินสเตอร์ลิงที่ไม่ได้เติมแมงกานีส และเมื่อเติมปริมาณแมงกานีสมากขึ้น ในทางตรงข้ามจะมีปริมาณ ทองแดงลดน้อยลง จากภาพโครงสร้างจุลภาคจะเห็นโครงสร้างยูเทคติคที่อยู่ระหว่างกิ่งของเดนไดรท์มี ปริมาณลดลง เมื่อตรวจสอบส่วนผสมทางเคมีด้วย EDX ดังตารางในภาคผนวก ข. พบว่าตรงบริเวณ โครงสร้างยูเทคติคและโครงสร้างเนื้อพื้น จะมีปริมาณแมงกานีสในโครงสร้างสูงขึ้นแปรผันตาม ปริมาณแมงกานีสที่เติมลงไป สำหรับบริเวณอนุภาคสีคำบนโครงสร้างยูเทคติคจะมีปริมาณทองแดง ค่อนข้างสูง ซึ่งสูงกว่าปริมาณเงินที่มีอยู่มาก แสดงว่าธาตุทองแดงจะเป็นองค์ประกอบหลักของอนุภาค สีดำที่อยู่บนโครงสร้างยูเทคติค

4.10.3.2 โลหะเงินสเตอร์ลิงที่มีปริมาณส่วนผสมเคมี 6.97%Cu – 0.38%Mn – balance of Ag มีโครงสร้างคังรูปที่ 4.21 (ค) และ (ง) ที่กำลังขยาย 100 เท่า (รูปที่ 4.21 (ค)) จะเห็นลักษณะโครง สร้างเดนไครท์ที่ได้จากงานหล่อขึ้นรูปเช่นเดียวกับโลหะเงินสเตอริ์ลิงที่ไม่ได้เติมแมงกานีส โดยบริเวณ โครงสร้างเดนไครท์ที่เป็นโครงสร้างเนื้อพื้น จะเป็น Ag – rich phase และเมื่อตรวจสอบด้วย EDX จะ พบปริมาณ สัคส่วนของธาตุคังนี้ Ag : Cu : Mn = 92.46 : 7.23 : 0.31 เปอร์เซ็นต์โดยน้ำหนัก และพบ โครงสร้างยูเทคติคลักษณะ Irregular shape (รูปที่ 4.21 (ง)) เช่นเดียวกับที่พบในโลหะเงินสเตอร์ลิงที่ไม่ ได้เติมแมงกานีส บริเรณรอบนอกของโครงสร้างยูเทคติคมีลักษณะ Interdendritic shinkage กระจายอยู่ รอบ ๆ ปริมาณสัดส่วนธาตุที่พบบริเวณโครงสร้างนี้ (บริเวณ C) คือ Ag : Cu : Mn = 70.90 : 28.62 : 0.48 เปอร์เซ็นต์โดยน้ำหนัก โดยบริเวณอนุภาคสีดำบนโครงสร้างยูเทคติค (จุด D) จะมีปริมาณธาตุ ทองแคงเป็นองค์ประกอบในสัดส่วนสูง คือ Ag : Cu : Mn = 29.29 : 70.17 : 0.54 เปอร์เซ็นต์โดยน้ำหนัก ซึ่งปริมาณแมงกานีสที่พบในโครงสร้างเนื้อพื้นค่อน ข้างมาก แสดงว่าธาตุแมงกานีสสามารถรวมตัวกับทองแคงอยู่ภายใน secondary structure ได้มากกว่า ละลายใน Ag – rich phase บนโครงสร้างเนื้อพื้น

4.10.3.3 โลหะเงินสเตอร์ลิงที่มีปริมาณทองแดงและแมงกานีส 6.63 และ 0.76 เปอร์เซ็นต์โดยน้ำหนัก ตามลำดับ ที่เหลือเป็นธาตุเงิน จะพบโครงสร้างลักษณะเดนไดรท์และโครง สร้างยูเทคติกลักษณะ irregular shape ค่อนข้างยาวกระจายอยู่ทั่วโครงสร้างเนื้อพื้น แสดงดังรูปที่ 4.21 (ฉ) จากการตรวจสอบส่วนผสมด้วย EDX ปริมาณธาตุต่าง ๆ บนโครงสร้างเนื้อพื้น เท่ากับ 93.11%Ag – 6.22%Cu – 0.67%Mn และบริเวณโครงสร้างยูเทคติกรวมมีส่วนผสม คือ 71.74%Ag – 27.10%Cu – 1.17%Mn

4.10.3.4 โลหะเงินสเตอร์ลิงที่มีปริมาณทองแคงและแมงกานีส 6.14 และ 1.30 เปอร์เซ็นต์โดยน้ำหนัก ตามลำดับ ที่เหลือเป็นธาตุเงิน โครงสร้างยูเทคติคที่พบเป็นลักษณะ irregular shape (รูปที่ 4.21 (ซ)) แต่รูปร่างไม่เรียวยาวเหมือนโครงสร้างยูเทคติค บนโลหะเงินสเตอร์ลิงที่มี ปริมาณแมงกานีส 0.76 เปอร์เซ็นต์โดยน้ำหนัก และปริมาณธาตุผสมบริเวณโครงสร้างยูเทคติค (บริเวณ

E) คือ 65.19% Ag - 32.92% Cu - 1.88% Mn ปริมาณธาตุของอนุภาคสีดำในโครงสร้างยูเทคติค คือ 20.96% Ag - 76.69% Cu - 2.35% Mn ซึ่งเป็น Cu - rich phase มีธาตุทองแดงอยู่ในสัดส่วนที่สูงมาก

4.10.3.5 โครงสร้างโลหะผสมเงินสเตอร์ลิงที่มีส่วนผสมทางเคมี 5.40%Cu – 1.70%Mn – balance of Ag แสดงดังรูปที่ 4.21 (ฌ) และ (ญ) ที่กำลังขยาย 100 เท่า พบโครงสร้างเดน ใครท์ที่สังเกตได้ว่าโครงสร้างเนื้อพื้นสีขาวมีบริเวณกว้างมากขึ้น (94.16%Ag – 4.22%Cu -1.62%Mn) และบริเวณโครงสร้างยูเทคติคจะลดลงเนื่องจากการลดลงของปริมาณทองแดงในโลหะผสม ถึงแม้ ปริมาณแมงกานีสที่ละลายอยู่ในโลหะผสมจะเพิ่มขึ้นก็ตาม แต่ก็ยังมีปริมาณน้อยเมื่อเทียบกับธาตุหลัก ทำให้พบโครงสร้างยูเทคติคกระจัดกระจายอยู่ทั่วไปอย่างไม่หนาแน่นนัก ซึ่งธาตุที่มีผลต่อโครงสร้างยูเทคติคนี้ คือ ธาตุทองแดงเนื่องจากสัดส่วนในการเติมธาตุทองแดงต่อธาตุแมงกานีสค่อนข้างสูง รอบ นอกของโครงสร้าง ยูเทคติคพบ Interdendritic shrinkage จากการตรวจสอบส่วนผสมทางเคมีด้วย EDX บริเวณโครงสร้าง ยูเทคติครวมมีปริมาณธาตุดังนี้ 60.84%Ag – 36.54%Cu – 2.61%Mn

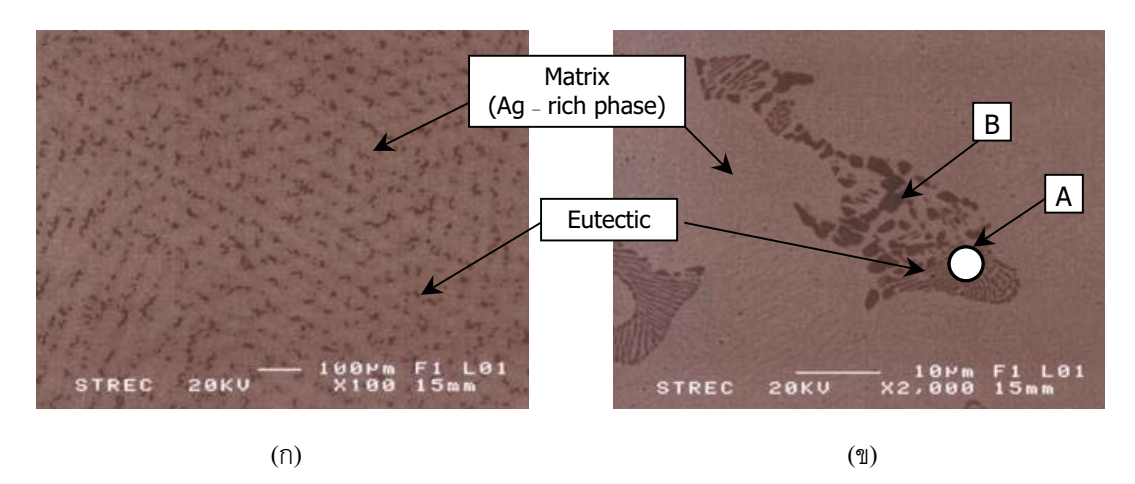
4.10.3.6 โครงสร้างของโลหะเงินสเตอร์ลิงที่มีส่วนผสมทางเคมี 4.90%Cu – 2.10%Mn – balance of Ag แสดงดังรูปที่ 4.21 (ฎ) และ (ฎ) พบว่าโครงสร้างยูเทคติคในโลหะผสมมี ความหนาแน่นลดลง เกิดจากการลดลงของธาตุทองแดงในโลหะผสม และลักษณะ โครงสร้างยูเทคติคที่ ได้ค่อนข้างกลม โดยจาก EDX พบส่วนผสมทางเคมีที่บริเวณเนื้อพื้นดังนี้ 93.80%Ag – 4.14%Cu – 2.05%Mn ปริมาณธาตุต่าง ๆ บริเวณโครงสร้างยูเทคติครวมเท่ากับ 57.41%Ag – 39.20%Cu – 3.39%Mn

4.10.3.7 โครงสร้างของโลหะเงินสเตอร์ลิงที่มีส่วนผสมทางเคมี 4.40%Cu – 2.60%Mn – balance of Ag แสดงคังรูปที่ 4.21 (ฐ) และ (ฑ) จากการตรวจสอบ EDX พบว่าปริมาณ แมงกานีสจะเพิ่มขึ้นทั้งในโครงสร้างเนื้อพื้นและยูเทคติค โดยบริเวณโครงสร้างเนื้อพื้นมีสัดส่วนของ ธาตุผสม Ag : Cu : Mn = 92.81 : 4.62 : 2.57 เปอร์เซ็นต์โดยน้ำหนัก และบริเวณโครงสร้างยูเทคติคมีสัด ส่วนของธาตุผสม Ag : Cu : Mn = 66.58 : 29.36 : 4.06 เปอร์เซ็นต์โดยน้ำหนัก โดยอนุภาค สีดำใน โครงสร้าง ยูเทคติคมีส่วนผสม Ag : Cu : Mn = 15.76 : 78.52 : 5.71 เปอร์เซ็นต์โดยน้ำหนัก ซึ่งปริมาณ ทองแดงที่พบสูงกว่าที่พบบนโครงสร้างเนื้อพื้น

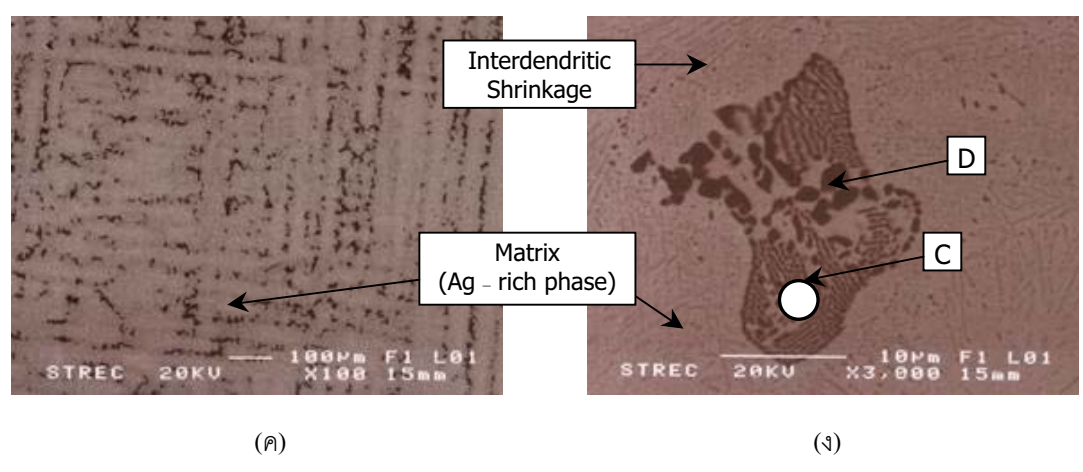
4.10.3.8 โลหะเงินสเตอร์ลิงที่มีส่วนผสมทางเคมี 4.00%Cu - 3.00%Mn - balance of Ag จะมีลักษณะโครงสร้างจุลภาคแสดงดังรูปที่ 4.21 (ฒ) และ (ณ) และจากการตรวจสอบส่วนผสมทาง เคมีด้วย EDX โครงสร้างเนื้อพื้นมีปริมาณธาตุต่างๆ คือ 91.42%Ag - 5.33%Cu - 3.25%Mn และ โครงสร้างยูเทคติคมีปริมาณธาตุดังนี้ 53.99%Ag - 40.41%Cu - 5.60%Mn โดยน้ำหนัก

จากลักษณะ โครงสร้างจุลภาคของโลหะผสมเงิน 92.5% - ทองแคง - แมงกานีส ที่มีปริมาณ แมงกานีสแตกต่างกัน ลักษณะ โครงสร้างที่ได้เห็นได้ชัดเจนว่าบริเวณกิ่งของเคนไครท์มีเงินเป็นส่วน ผสมทางเคมีสูง และบริเวณโครงสร้างยูเทคติคซึ่งอยู่ระหว่างกิ่งของเคนไครท์จะมีทองแคงเป็นองค์ ประกอบในสัดส่วนที่ค่อนข้างสูง โดยโครงสร้างยูเทคติกนี้จะมีปริมาณลดลงเมื่อมีปริมาณทองแคงใน

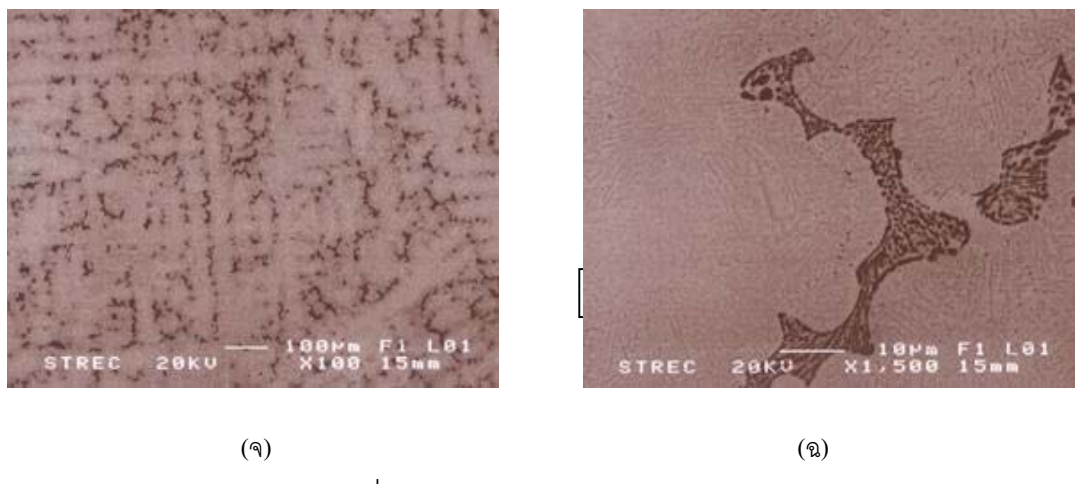
โลหะผสมลดลง ชาตุแมงกานีสที่เติมลงไปในโลหะผสมจะเป็นองค์ประกอบอยู่ในโครงสร้างยูเทคติค ในปริมาณมากกว่าที่พบในโครงสร้างเนื้อพื้น และปริมาณแมงกานีสที่พบในโครงสร้างทั้งสองจะมี ปริมาณเพิ่มขึ้นตามปริมาณแมงกานีสที่เพิ่มขึ้นในโลหะผสม ซึ่งแมงกานีสจะอยู่รวมกับโครงสร้างที่มี ทองแดงเป็นองค์ประกอบมากกว่า



โลหะผสมชุดที่ 1: 7.65%Cu – balance of Ag

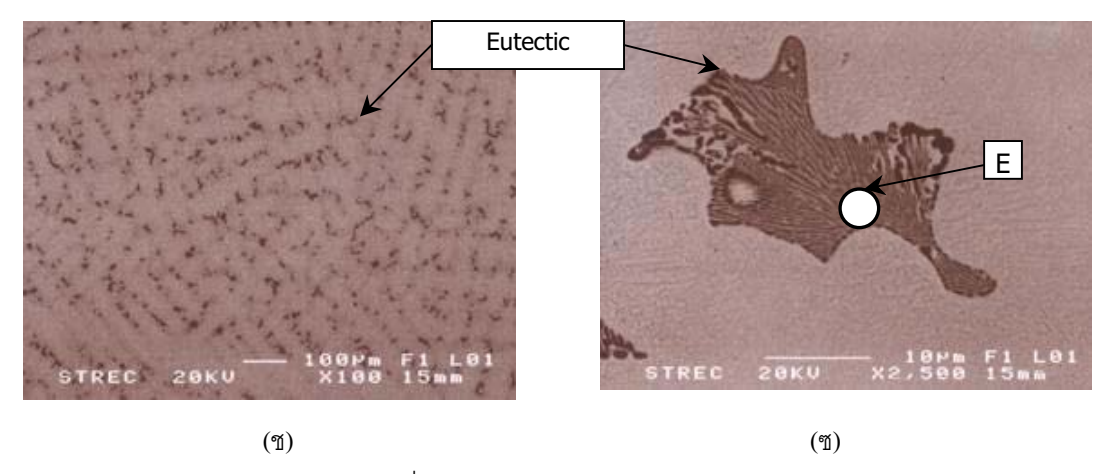


โลหะผสมชุดที่ 2: 6.97%Cu - 0.38%Mn - balance of Ag

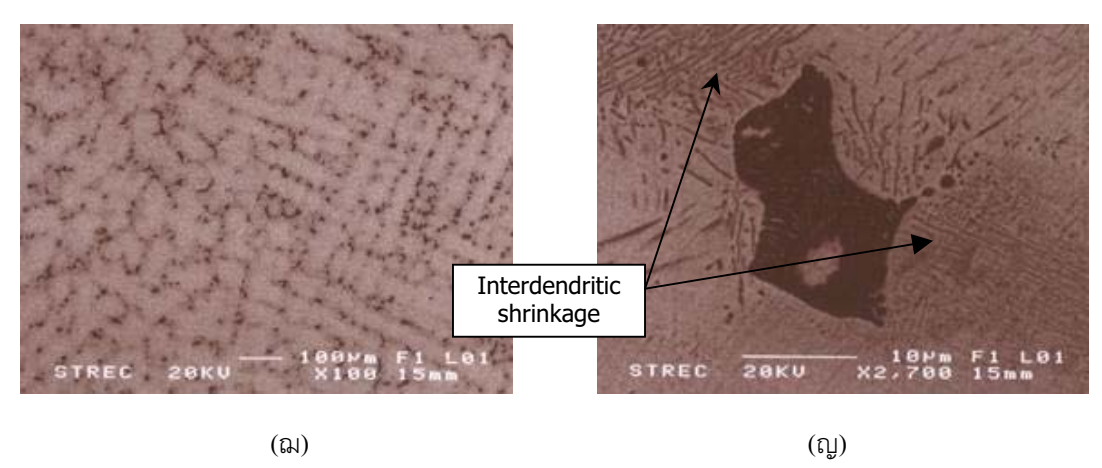


โลหะผสมชุดที่ 3 : 6.63%Cu – 0.76%Mn – balance of Ag

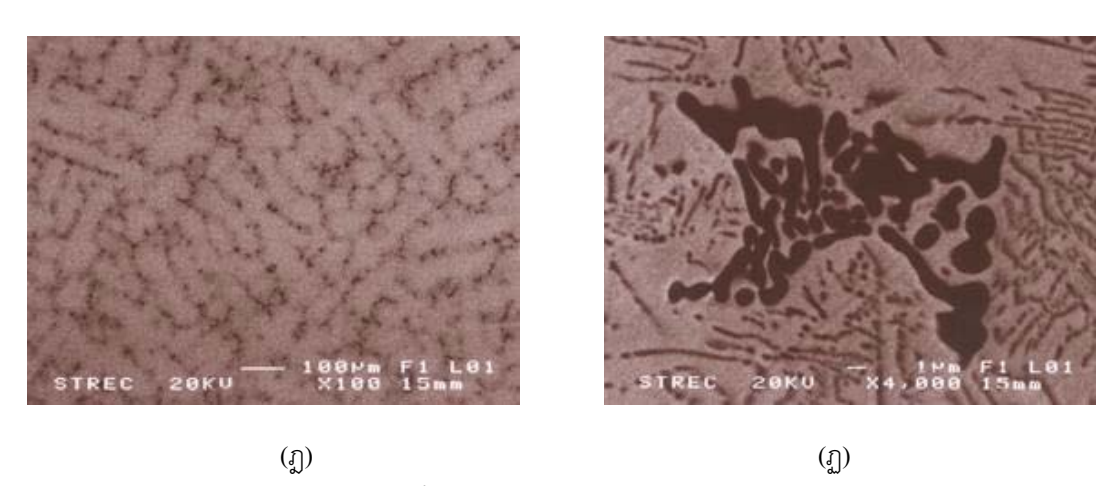
ร**ูปที่ 4.21** ภาพแสดงโครงสร้างจุลภาคของโลหะผสมเงิน 92.5%-ทองแดง-แมงกานีส ในสภาพหล่อ ถ่ายด้วยกล้องจุลทรรศน์แบบส่องกวาด (SEM) ที่กำลังขยายต่าง ๆ



โลหะผสมชุดที่ 4 : 6.14%Cu – 1.30%Mn – balance of Ag

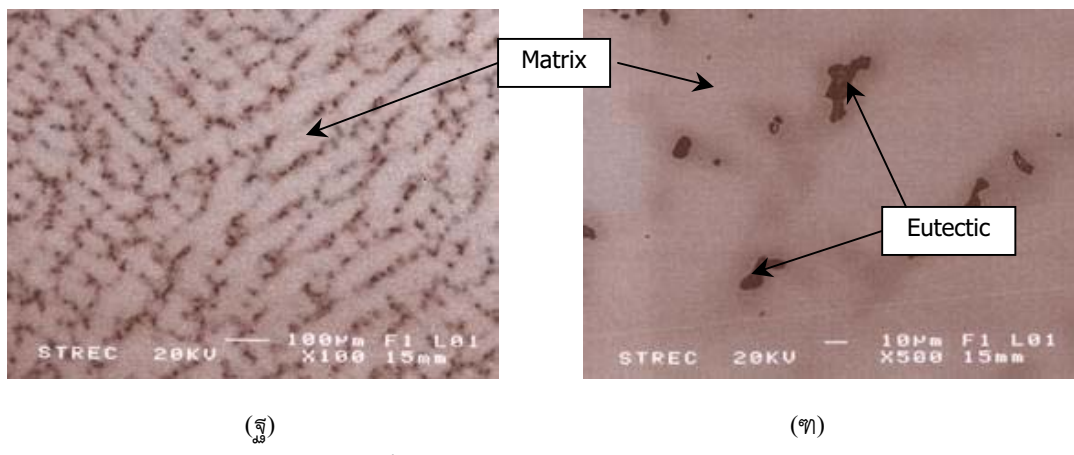


โลหะผสมชุดที่ 5:5.40%Cu – 1.70%Mn – balance of Ag

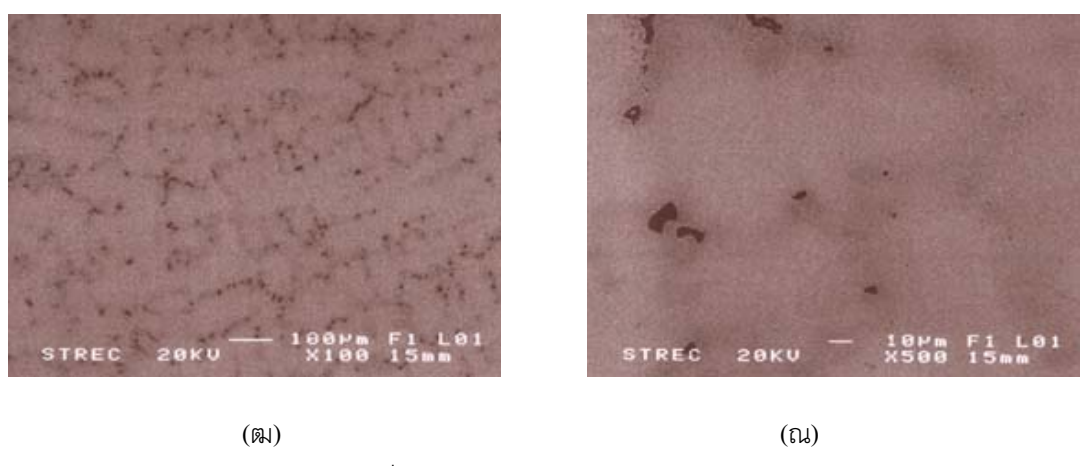


โลหะผสมชุดที่ 6: 4.90%Cu - 2.10%Mn - balance of Ag

รูปที่ 4.21 (ต่อ) ภาพแสดงโครงสร้างจุลภาคของโลหะผสมเงิน 92.5%-ทองแดง-แมงกานีส ในสภาพหล่อ ถ่ายด้วยกล้องจุลทรรศน์แบบส่องกวาด (SEM) ที่กำลังขยายต่าง ๆ



โลหะผสมชุดที่ 7: 4.40%Cu - 2.60%Mn - balance of Ag



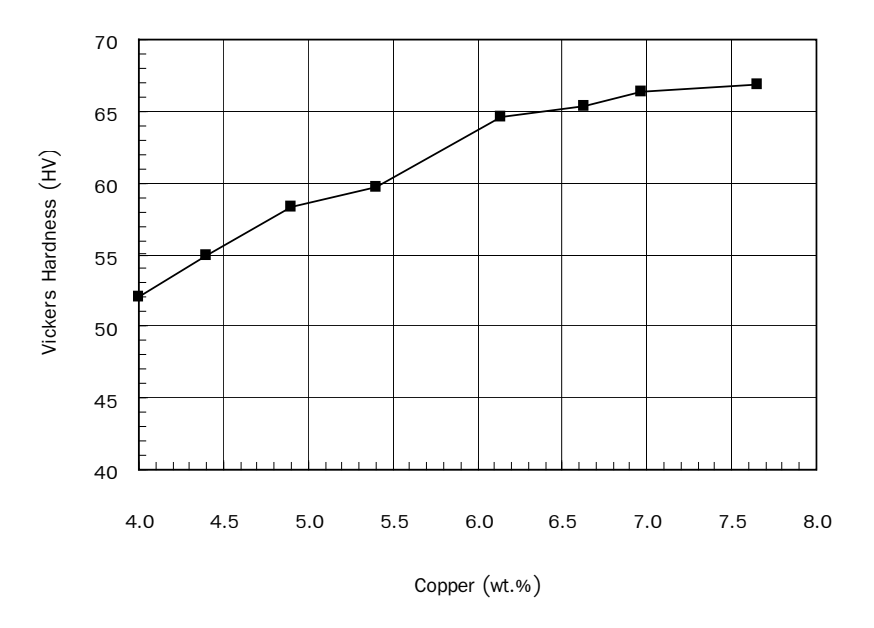
โลหะผสมชุดที่ 8:4.00% Cu-3.00% Mn-balance of Ag

รูปที่ 4.21 (ต่อ) ภาพแสดงโครงสร้างจุลภาคของโลหะผสมเงิน 92.5%-ทองแดง-แมงกานีส ในสภาพหล่อ ถ่ายด้วยกล้องจุลทรรศน์แบบส่องกวาด (SEM) ที่กำลังขยายต่าง ๆ

4.10.4 ผลที่ได้จากการทดสอบสมบัติทางกลในสภาพหลังการหล่อขึ้นรูป

4.10.4.1 ผลการทดสอบความแข็งแบบวิกเกอร์ (Vickers Hardness Test)

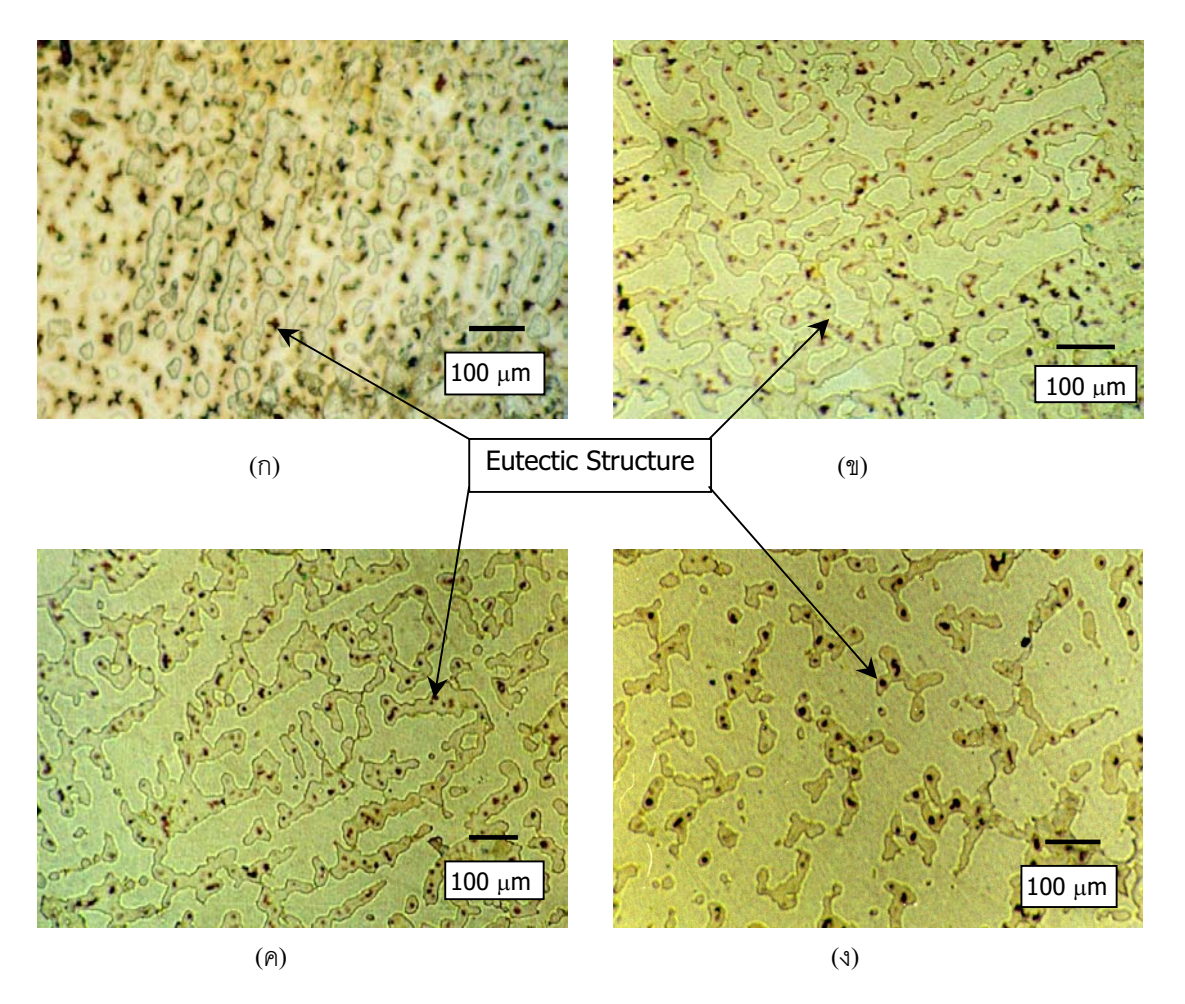
โลหะเงินสเตอร์ลิงทั้ง 8 ชุด ที่มีปริมาณธาตุแมงกานีส 0, 0.38, 0.76, 1.30, 1.70, 2.10, 2.60 และ 3.00 เปอร์เซ็นต์โดยน้ำหนัก และในขณะเดียวกันจะมีปริมาณทองแดง 7.65, 6.97, 6.63, 6.14, 5.40, 4.90, 4.40 และ 4.00 เปอร์เซ็นต์โดยน้ำหนักตามลำดับ มีความแข็งเฉลี่ยแบบวิกเกอร์ (HV) แสดงไว้ในตารางที่ 4.6 ซึ่งเมื่อนำมาวาดกราฟแสดงความสัมพันธ์ระหว่างปริมาณทองแดงใน โลหะผสมเงินสเตอร์ลิงกับค่าความแข็งแบบวิกเกอร์ แสดงได้ดังรูปที่ 4.22



รูปที่ 4.22 กราฟแสดงความสัมพันธ์ระหว่างปริมาณทองแดงในโลหะเงินสเตอร์ลิง กับค่าความแข็งแบบวิกเกอร์

โลหะเงินสเตอร์ลิงที่ไม่มีธาตุแมงกานีส คือมีทองแดงในปริมาณ 7.65 เปอร์เซ็นต์โดย น้ำหนัก (7.65%Cu – balance of Ag) มีค่าความแข็งแบบวิกเกอร์สูงถึง 66.8 HV ค่าความแข็งนี้จะลด ลงเมื่อมีปริมาณทองแดงลดลง โดยความแข็งของโลหะเงินสเตอร์ลิงที่มีส่วนผสม 4.00%Cu – 3.00%Mn – balance of Ag ลดลงเหลือเพียง 52.1 HV (ลดลง 22 เปอร์เซ็นต์ เมื่อเปรียบเทียบกับโลหะเงินสเตอร์ลิง ที่ไม่มีแมงกานีส) จากรูปที่ 4.22 แสดงให้เห็นว่าโลหะเงินสเตอร์ลิงที่มีปริมาณทองแดงสูงจะมีความ แข็งสูง ซึ่งสามารถอธิบายได้จากโครงสร้างจุลภาคของโลหะผสม

รูปที่ 4.23 แสดงโครงสร้างจุลภาคของโลหะเงินสเตอร์ลิงหลังกัดกรด เห็นได้ชัดว่า โลหะผสมที่มีปริมาณทองแดงลดลง (ปริมาณแมงกานีสสูงขึ้น) จะพบปริมาณของโครงสร้างยูเทคติค น้อยลงด้วย โครงสร้างเนื้อพื้นซึ่งเป็น Ag – rich phase และเป็นเฟสที่อ่อนจะมีปริมาณมากขึ้น หาก โลหะผสมมีปริมาณทองแดงละลายอยู่สูง ความแข็งที่ได้จะเพิ่มขึ้นด้วยกลไกการเพิ่มความแข็งโดยการ ละลายของธาตุในสารละลายของแข็ง (solid solution hardening) โครงสร้างยูเทคติคซึ่งเป็น Cu – rich phase จะเป็น โครงสร้างที่ช่วยในการเพิ่มความแข็ง ถ้าโครงสร้างยูเทคติคมีมาก ความแข็งก็จะสูง จาก ภาพโครงสร้างจุลภาคของโลหะผสมที่ส่วนผสมแตกต่างกัน 4 ชุด (รูปที่ 4.23) พบว่าโลหะผสมที่มี ปริมาณทองแดงลดลง จะเห็นโครงสร้างยูเทคติคที่อยู่ระหว่างกิ่งของเดนไดรท์มีปริมาณลดลง และโครง สร้างเดนไดรท์ที่ได้จะมีบริเวณกว้างขึ้น ทำให้ช่องว่างระหว่างเดนไดรท์มีขนาดเล็กลง เป็นสาเหตุให้ โลหะผสมมีความแข็งต่ำ โดยธาตุทองแดงมีอิทธิพลต่อความแข็งของโลหะผสมมากกว่าธาตุแมงกานีส หากเติมในปริมาณที่เท่ากัน

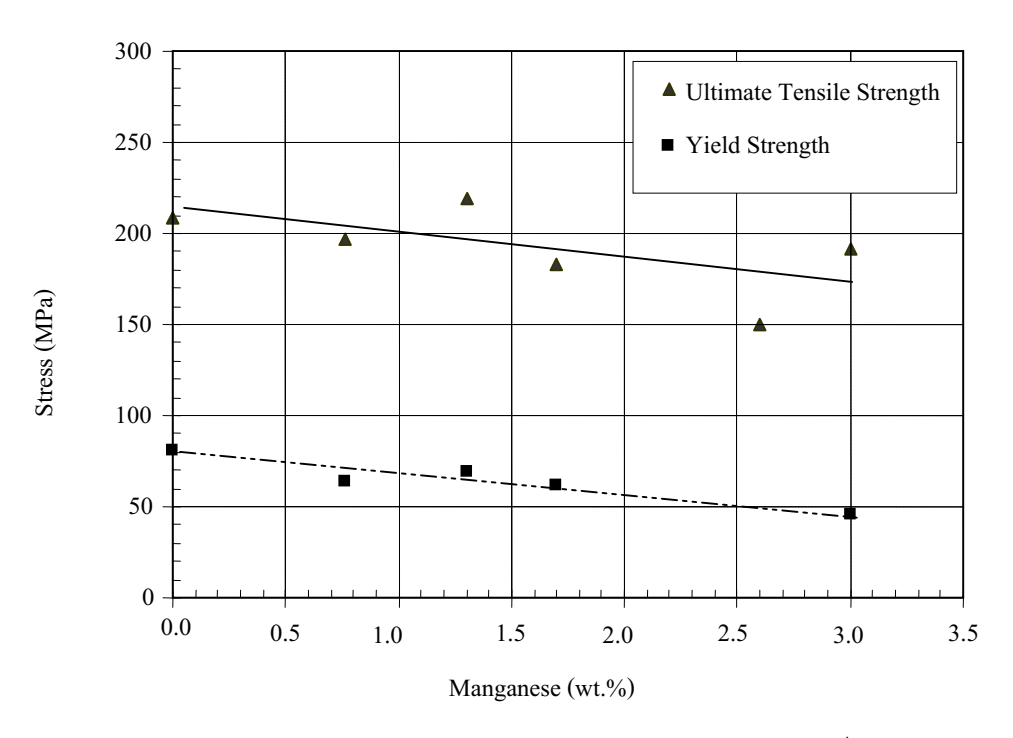


รูปที่ 4.23 ภาพแสดงโครงสร้างจุลภาคของโลหะผสมเงิน 92.5% - ทองแดง – แมงกานีส ในสภาพหล่อขึ้นรูป ถ่ายด้วยกล้องจุลทรรศน์แบบแสง *กำลังขยาย 100 เท่า* หลังการกัดกรด

- (n) 7.65%Cu balance of Ag
- (1) 6.14%Cu 1.30%Mn balance of Ag
- (P) 4.90%Cu 2.10%Mn balance of Ag
- (3) 4.00%Cu 3.00%Mn balance of Ag

4.10.4.2 ผลการทดสอบแรงดึง (Tensile Test)

ค่าที่ได้จากการทดสอบแรงดึง ได้แก่ ความต้านทานแรงดึงสูงสุด (ultimate tensile strength; UTS) และค่าความเค้นจุดคราก (yield strength; σ_y) โดยค่าเปอร์เซ็นต์การยืดตัว (%Elongation) ไม่สามารถหาค่าได้เนื่องจากชิ้นงานทดสอบที่นำไปทดสอบแรงดึงเป็นชิ้นงานจากการ หล่อขึ้นรูป (as-cast) ทำให้เกิดปัญหาจากรูพรุน และความไม่สม่ำเสมอของเนื้อโลหะ ซึ่งเกิดปัญหาทั้ง ขณะเตรียมชิ้นงานก่อนการทดสอบและขณะทำการทดสอบ ค่าเปอร์เซ็นต์การยืดตัวที่ได้มีความเบี่ยง เบนสูง จึงไม่สามารถนำมาวิเคราะห์ได้



รูปที่ 4.24 กราฟแสดงผลของธาตุแมงกานีสในโลหะเงินสเตอร์ลิงที่มีต่อ ความต้านทานแรงดึงสูงสุดและความเค้นจุดคราก

ความต้านทานแรงดึงสูงสุดและความเค้นจุดครากของโลหะผสม แสดงไว้ใน ตารางที่ 4.7 เมื่อนำมาวาดกราฟแสดงความสัมพันธ์ ระหว่างความเค้นและปริมาณธาตุแมงกานีสในโลหะเงินส เตอร์ลิง ได้กราฟดังรูปที่ 4.24 ค่าความต้านทานแรงดึงซึ่งเป็นค่าความเค้นสูงสุดที่โลหะจะทนได้ก่อนที่ จะขาดออกจากกันของโลหะเงินสเตอร์ลิงที่ไม่ได้เติมธาตุแมงกานีส มีค่า 208.7 MPa และจะมีแนวโน้ม ลดลงเมื่อมีปริมาณแมงกานีสตั้งแต่ 0.76 – 2.6 เปอร์เซ็นต์โดยน้ำหนัก โดยค่าความต้านทานแรงดึงสูงสุดของโลหะผสมที่มีปริมาณแมงกานีส 1.3 เปอร์เซ็นต์โดยน้ำหนัก จะให้ค่าความต้านทานแรงดึงที่สูงที่ สุด คือ 219.1 MPa และโลหะผสมที่มีปริมาณแมงกานีส 2.6 เปอร์เซ็นต์โดยน้ำหนัก จะมีค่าความต้านทานแรงดึงต่ำที่สุด คือ มีค่าเพียง 149.7 MPa สำหรับความต้านทานแรงดึงของโลหะผสมที่ได้จากงาน หล่อมีความแม่นยำไม่สูงนัก เนื่องจากมีปัจจัยสำคัญเกี่ยวกับรูพรุนจากการหดตัว (shrinkage porosity) และความไม่สม่ำเสมอของชิ้นงานหล่อ ดังนั้นจึงนำค่าความเค้นจุดครากมาวิเคราะห์สมบัติทางกล ของโลหะเงินสเตอร์ลิงแทน

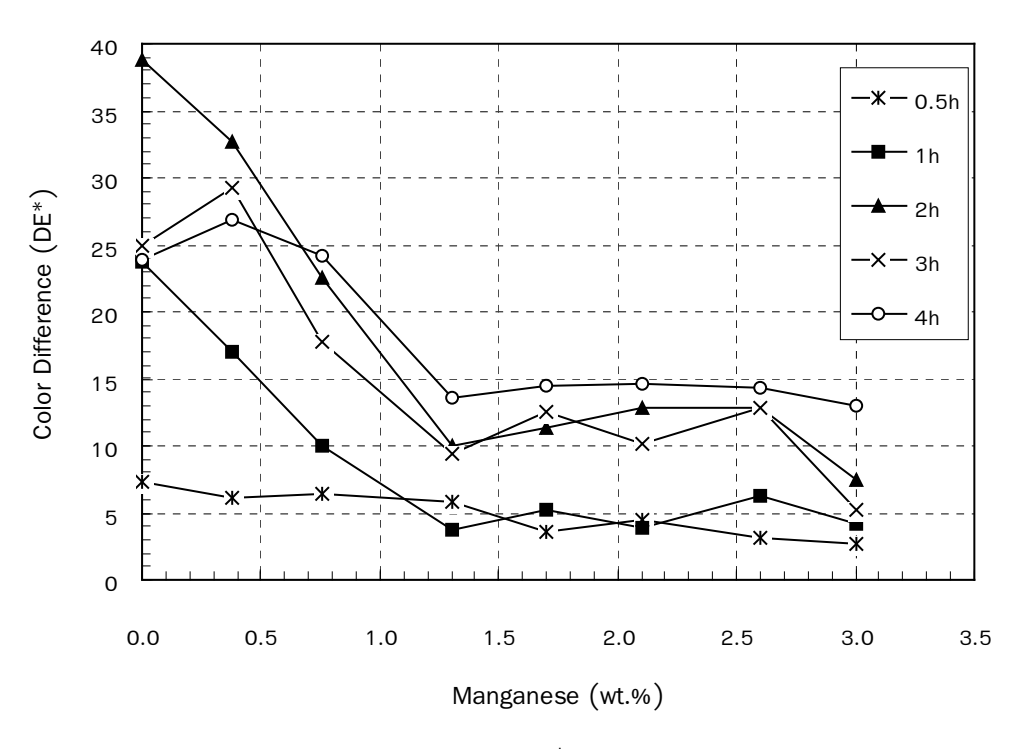
ความเค้นจุดคราก (yield strength; σ_y) เป็นค่าแบ่งระหว่างพฤติกรรมการคืนรูปกับ พฤติ-กรรมการคงรูป (elastic – plastic behavior) ซึ่งเป็นค่าความแข็งแรงสูงสุดที่จะนำไปใช้ประโยชน์ได้ โดยไม่เกิดความเสียหาย ในการตรวจสอบค่าความเค้นจุดครากของโลหะเงินสเตอร์ลิงที่ไม่ได้เติม แมงกานีส พบว่ามีความเค้นจุดครากค่อนข้างสูง คือ 80.88 MPa และเมื่อโลหะผสมมีปริมาณ

แมงกานีสเพิ่มขึ้นตั้งแต่ 0.38-3.00 เปอร์เซ็นต์โดยน้ำหนัก ความเค้นจุดครากมีแนวโน้มลดลง แต่จะ พบว่าความเค้นจุดครากในโลหะผสมที่มีปริมาณแมงกานีส 0.76 เปอร์เซ็นต์โดยน้ำหนัก ($\sigma_y=63.6$ MPa) จะมีค่าต่ำกว่าโลหะผสมที่มีปริมาณแมงกานีส 1.3 เปอร์เซ็นต์โดยน้ำหนัก ($\sigma_y=69.5$ MPa) เนื่อง จากการมีรูพรุนและความไม่สม่ำเสมอของเนื้อโลหะที่ได้จากงานหล่อ

สาเหตุของการลดลงของค่าความเค้นจุดครากนี้ สามารถอธิบายได้เช่นเดียวกับการลด ลงของความแข็งเมื่อมีปริมาณแมงกานีสในโลหะผสมเพิ่มขึ้น (ปริมาณทองแดงลดลง) โดยจากรูปที่ 4.23 เห็นได้ชัดว่าโครงสร้างยูเทคติคซึ่งเป็นโครงสร้างที่ช่วยเพิ่มความแข็งและความแข็งแรงให้กับโลหะ ผสมมีปริมาณลดลง ทำให้ความต้านทานแรงดึงและความเค้นจุดครากของโลหะผสมลดลงด้วย

4.10.5 ผลการทดสอบความต้านทานการหมอง (Tarnish Resistance)

ผลการทดสอบความต้านทานการหมองของชิ้นงานโลหะผสมเงิน 92.5% - ทองแดง - แมงกานีส ในบรรยากาศไอซัลเฟอร์ ที่ได้จากการละลายสารประกอบโซเดียมซัลไฟด์นาโนไฮเดรตในน้ำ ในภาชนะปิด แขวนชิ้นงานทดสอบเป็นเวลาต่างๆ กัน คือ 0.5, 1, 2, 3 และ 4 ชั่วโมง ภาพลักษณะชิ้น งานหลังทดสอบความต้านทานการหมอง แสดงดังรูปที่ 4.18 ค่าความสว่าง L*, ค่าสี a*, b* และค่า การเปลี่ยนแปลงสีผิว (Color difference; DE*) ที่ได้จากการตรวจสอบสีที่เปลี่ยนไปด้วยเครื่องสเปคโตร โฟโตมิเตอร์ แสดงไว้ในตารางที่ 4.8 นำค่า DE* ที่คำนวณได้มาวาดกราฟแสดงความสัมพันธ์ระหว่าง ปริมาณแมงกานีสกับค่าการเปลี่ยนแปลงสีผิว ได้ดังรูปที่ 4.25



รูปที่ 4.25 กราฟแสดงค่าการเปลี่ยนแปลงสีผิวของโลหะเงินสเตอร์ลิง

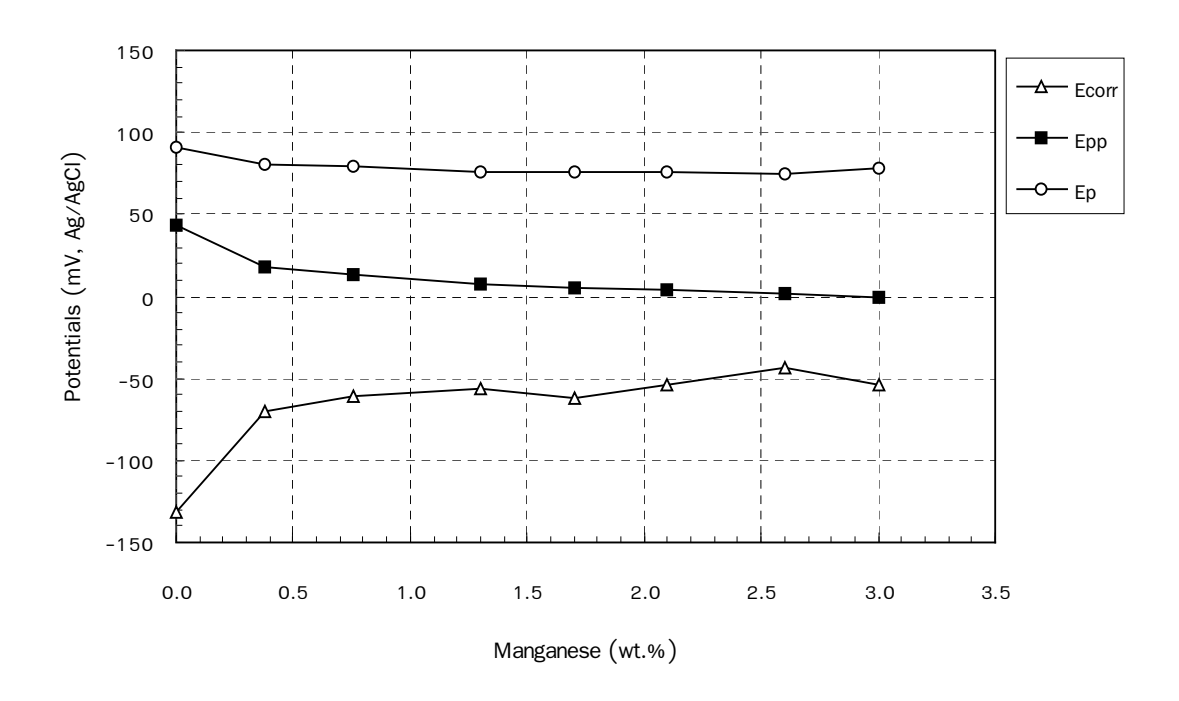
จากการสังเกตการเปลี่ยนแปลงสีผิวที่เกิดความหมองด้วยตาเปล่า พบว่าชิ้นงานทดสอบที่ แขวนไว้ในบรรยากาศไอซัลเฟอร์เป็นเวลา 0.5 ชั่วโมง โลหะผสมที่มีแมงกานีสต่ำกว่า 1.7 เปอร์เซ็นต์ โดยน้ำหนัก จะเกิดการหมองเล็กน้อย ส่วนโลหะผสมที่เหลือ สีผิวชิ้นงานทดสอบที่สังเกตได้คือไม่มีการ เปลี่ยนแปลง เมื่อทดสอบเป็นเวลา 1 ชั่วโมง ชิ้นงานที่มีปริมาณแมงกานีสต่ำกว่า 1.3 เปอร์เซ็นต์ เกิด การหมองเล็กน้อย ส่วนชิ้นงานที่มีแมงกานีสสูงกว่า 1.3 เปอร์เซ็นต์ จะสังเกตไม่เห็นความหมอง ชิ้นงาน ที่มีปริมาณแมงกานีส 3.0 เปอร์เซ็นต์จะเกิดการหมองเพียงบางจุดเท่านั้น เวลาในการทดสอบเพิ่มขึ้น เป็น 2, 3 และ 4 ชั่วโมง สังเกตได้ว่าชิ้นงานที่มีปริมาณแมงกานีสต่ำกว่า 1.3 เปอร์เซ็นต์ มีความหมอง มาก ชิ้นงานที่มีปริมาณแมงกานีสสูงกว่าจะหมองน้อยกว่า และซิ้นงานที่มีแมงกานีสมากกว่า 1.3 เปอร์เซ็นต์ เกิดการหมองในปริมาณที่น้อยมาก จนเกือบสังเกตไม่เห็นด้วยตาเปล่า

รูปที่ 4.25 แสดงผลของปริมาณธาตุแมงกานีสที่มีต่อค่าการเปลี่ยนแปลงสีผิวของโลหะเงิน สเตอร์ลิงที่มีปริมาณแมงกานีส 0, 0.38, 0.76, 1.3, 1.7, 2.1, 2.6 และ 3.0 เปอร์เซ็นต์โดยน้ำหนัก โดยผิว ของโลหะเงินสเตอร์ลิงทำปฏิกิริยากับก๊าซซัลเฟอร์ในบรรยากาศเกิดความหมองขึ้น พิจารณาค่าการ เปลี่ยนแปลงสีผิว (DE*) ในการทดสอบความหมองเป็นเวลาต่างๆ กัน พบว่าโลหะผสมที่ทิ้งไว้ใน บรรยากาศของไอซัลเฟอร์เป็นเวลาเท่ากัน โลหะผสมที่มีปริมาณแมงกานีสต่ำกว่า 1.3 เปอร์เซ็นต์โดย น้ำหนัก จะให้ค่า DE* ค่อนข้างสูง โดยค่า DE* ลดลงอย่างรวดเร็วเมื่อชิ้นงานมีปริมาณแมงกานีสเพิ่ม ขึ้น ส่วนชิ้นงานที่มีแมงกานีสตั้งแต่ 1.3 เปอร์เซ็นต์ขึ้นไป ค่า DE* ค่อนข้างคงที่ คือเปลี่ยนแปลงไปเพียง เล็กน้อยเท่านั้น สรุปได้ว่าโลหะเงินสเตอร์ลิงจะมีความสามารถในการต้านทานการหมองเพิ่มขึ้น เมื่อ มีปริมาณแมงกานีสในโลหะผสมนั้นเพิ่มขึ้น

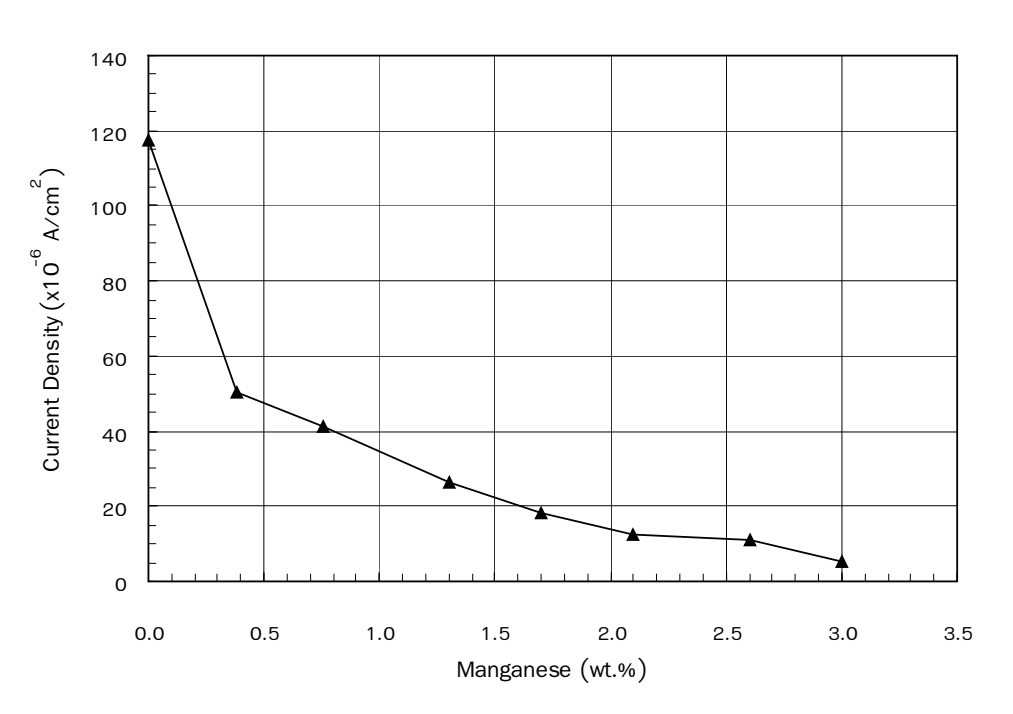
4.10.6 ผลจากการทดสอบการกัดกร่อนของฟิล์มด้วยกระบวนการทางไฟฟ้า เคมี โดยวิธี โพ เทนซิโอไดนามิกส์

การทดสอบการกัดกร่อนด้วยเทคนิคโพเทนซิโอไดนามิกส์ โดยหาความสัมพันธ์ระหว่างศักย์ไฟ ฟ้าและกระแสไฟฟ้า จะได้เส้นโพลาไรเซชันของการกัดกร่อนของโลหะทดสอบ โดยทำการทดสอบ 2 ชุด ชุดแรกทดสอบในสารละลายโซเดียมคลอไรด์ 1 เปอร์เซ็นต์โดยน้ำหนัก ที่อุณหภูมิ 25 $^{\rm o}$ C หาค่า ${\rm E}_{\rm corr}$, ${\rm E}_{\rm p}$, ${\rm E}_{\rm p}$, ${\rm E}_{\rm p}$, ${\rm I}_{\rm p}$ และ ${\rm I}_{\rm corr}$ จากเส้นโพลาไรเซชัน ค่าต่าง ๆ ได้แสดงไว้ในตารางที่ 4.9 และกราฟเปรียบเทียบ ความสัมพันธ์ของค่าต่าง ๆ กับปริมาณธาตุแมงกานีสในโลหะเงินสเตอร์ลิง แสดงดังรูปที่ 4.26, 4.27 และ 4.28 ชิ้นงานชุดที่ 2 ทดสอบในสารละลายโซเดียมคลอไรด์ 1 เปอร์เซ็นต์โดยน้ำหนัก อิ่มตัวด้วย ก๊าซไฮโดรเจนซัลไฟด์ ${\rm (H}_2{\rm S)}$ ที่อุณหภูมิ 25 $^{\rm o}$ C หาค่า ${\rm E}_{\rm corr}$, ${\rm E}_{\rm pp}$, ${\rm E}_{\rm p}$ และ ${\rm I}_{\rm corr}$ แต่ไม่สามารถหาค่า ${\rm I}_{\rm p}$ ได้ เนื่องจากโลหะทดสอบไม่เกิดฟิล์มขึ้นที่ผิว ค่าต่างๆ ที่หาได้จากเส้นโพลาไรเซซันแสดงไว้ในตารางที่ 4.10 นำค่าที่ได้มาวาดกราฟเปรียบเทียบผลของธาตุแมงกานีสต่อค่าเหล่านี้ ได้ดังรูปที่ 4.30 และ 4.31

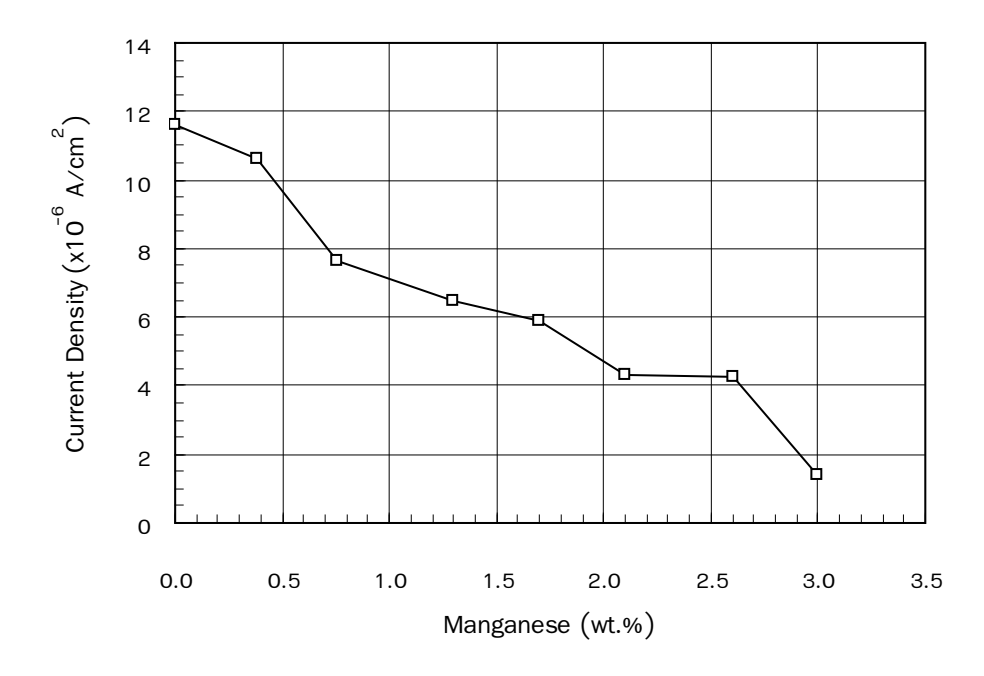
ภาพลักษณะชิ้นงานและเส้นโพลาไรเซซันที่ได้จากการทดสอบทั้งหมด รวมถึงวิธีการหาค่าต่าง ๆ แสดงไว้ในภาคผนวก จ.



รูปที่ 4.26 ผลของธาตุแมงกานีสในโลหะผสมเงินสเตอร์ลิง ต่อค่า E_{cor} , E_{pp} และ E_p ในสารละลาย โซเดียมคลอไรด์ 1 เปอร์เซ็นต์โดยน้ำหนัก ที่อุณหภูมิ 25 $^{\rm O}{
m C}$

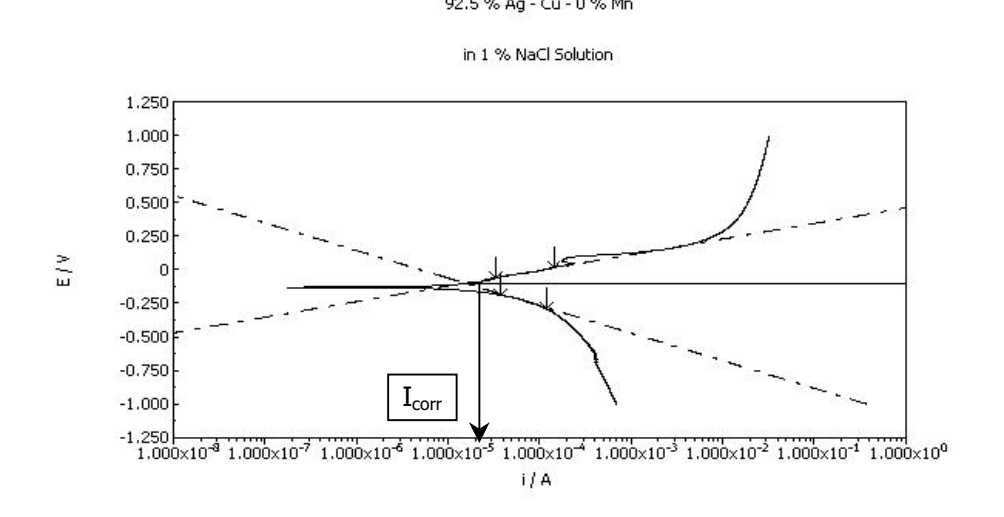


รูปที่ 4.27 ผลของธาตุแมงกานีสในโลหะผสมเงินสเตอร์ลิง ต่อค่า $I_{
m p}$ ในสารละลาย โชเดียมคลอไรด์ 1 เปอร์เซ็นต์โดยน้ำหนัก ที่อุณหภูมิ 25 $^{
m o}{
m C}$



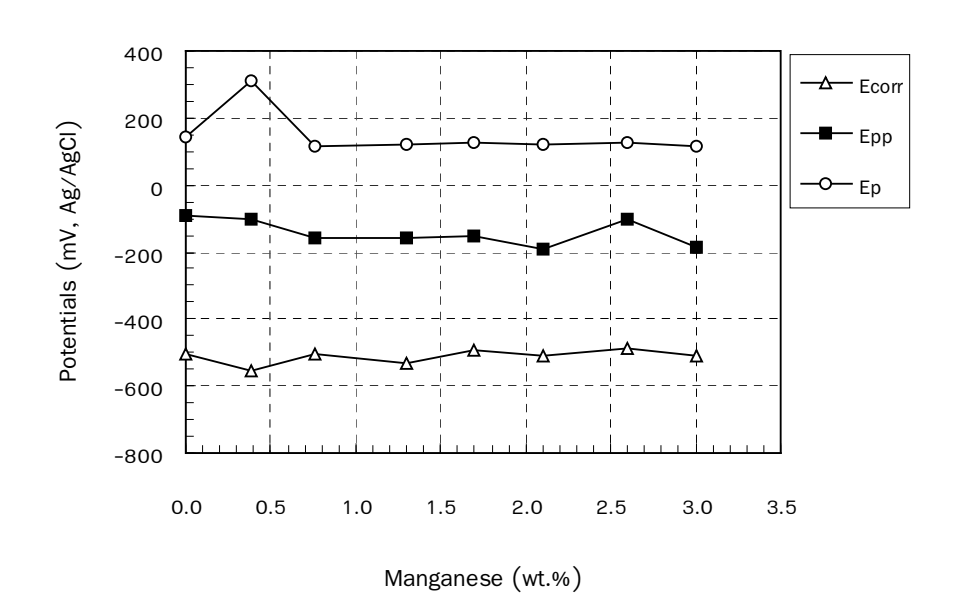
รูปที่ 4.28 ผลของธาตุแมงกานีสในโลหะผสมเงินสเตอร์ลิง ต่อค่า I_{corr} ในสารละลาย โซเดียมคลอไรด์ 1 เปอร์เซ็นต์โดยน้ำหนัก ที่อุณหภูมิ 25 $^{
m o}{
m C}$

จากรูปที่ 4.26, 4.27 และ 4.28 ทดสอบในสารละลายโซเดียมคลอไรด์ 1 เปอร์เซ็นต์โดยน้ำ หนัก พบว่าเมื่อโลหะเงินสเตอร์ลิงมีปริมาณแมงกานีสมากขึ้น มีผลในการเพิ่มค่า ${
m E}_{\scriptscriptstyle {
m corr}}$ ลดค่า ${
m E}_{\scriptscriptstyle {
m p}}$ และ ค่า ${
m I}_{
m p}$ อย่างเห็นได้ชัด แต่มีผลในการลดค่า ${
m E}_{
m p}$ ไม่ชัดเจนนักแต่มีแนวโน้มที่ลดลง แสดงว่าปริมาณ แมงกานีสที่เติมลงในโลหะเงินสเตอร์ลิง มีผลในการเพิ่มความสามารถในการต้านทานการกัดกร่อน ของฟิล์มที่เกิดขึ้น โลหะเงินสเตอร์ลิงที่มีปริมาณแมงกานีส 3 เปอร์เซ็นต์โดยน้ำหนัก มีค่า $E_{corr} = -54$ ${
m mV}$ ซึ่งสูงกว่าในโลหะผสมที่ไม่มีปริมาณแมงกานีส (${
m E}_{
m corr}=$ -132 ${
m mV}$) โดยโลหะผสมที่มีค่า ${
m E}_{
m corr}$ ต่ำ จะ ถูกกัดกร่อนได้ง่ายกว่า ค่า ${
m E}_{_{
m p}}$ ที่ได้ลดลงน้อยมาก แสดงว่าปริมาณแมงกานีสที่เพิ่มขึ้นไม่มีผลต่อการ ต้านทานการแตกตัวของฟิล์มป้องกันมากนัก คือ หากโลหะผสมอยู่ในสภาวะที่มีสนามไฟฟ้าที่เหมาะ สม ฟิล์มก็จะสามารถแตกตัวได้ และเนื่องจากค่า ${
m E}_{
m p}$ คือ ค่าศักย์ไฟฟ้าที่เกิดการเปลี่ยนสภาวะที่ไม่มี ฟิล์มไปเป็นสภาวะขณะเกิดฟิล์มที่ผิว (active-passive transition) การลดลงของค่า ${
m E}_{
m pp}$ (อัตราการลดลง ค่อนข้างต่ำ) เมื่อโลหะผสมมีปริมาณแมงกานีสสูงขึ้น แสดงว่าโลหะผสมนั้นสามารถเกิดฟิล์มพาสซีพ (passive film) ได้ง่ายขึ้น และการลดของค่า I ู ที่ชัดเจนอาจชี้ให้เห็นว่าฟิล์มที่ผิวของโลหะผสม มีความ สามารถที่จะต้านทานการไหลผ่านของอิออนได้มากขึ้น ป้องกันการแพร่ของออกซิเจนหรือซัลเฟอร์ใน ผสมที่ไม่ได้เติมแมงกานีสมีค่า 117.58 $\mu A/cm^2$ และค่า $I_{
m l}$ จะลดลงเหลือเพียง 5.4 $\mu A/cm^2$ ในโลหะผสม ที่มีแมงกานีส 3.0 เปอร์เซ็นต์โดยน้ำหนัก สำหรับค่า $I_{\scriptscriptstyle corr}$ ที่ได้จากจุดตัดของเส้นโค้งคาโทดิกและอาโน ดิก สามารถหาได้ดังรูปที่ 4.29 โดยเลือกจุดเพื่อหาความชันของเส้นโค้งทั้งสอง ค่ากระแสที่จุดตัดคือค่า I_{corr} คำนวณค่าอัตราการกัดกร่อนโดยใช้โปรแกรมคอมพิวเตอร์ที่เชื่อมต่อกับเครื่องโพเทนซิโอสแตท หรือนำค่า I_{corr} ที่หาได้ ไปคำนวณโดยใช้สูตรจากสมการที่ (4.7) ผลการคำนวณแสดงไว้ในตารางที่ 4.9



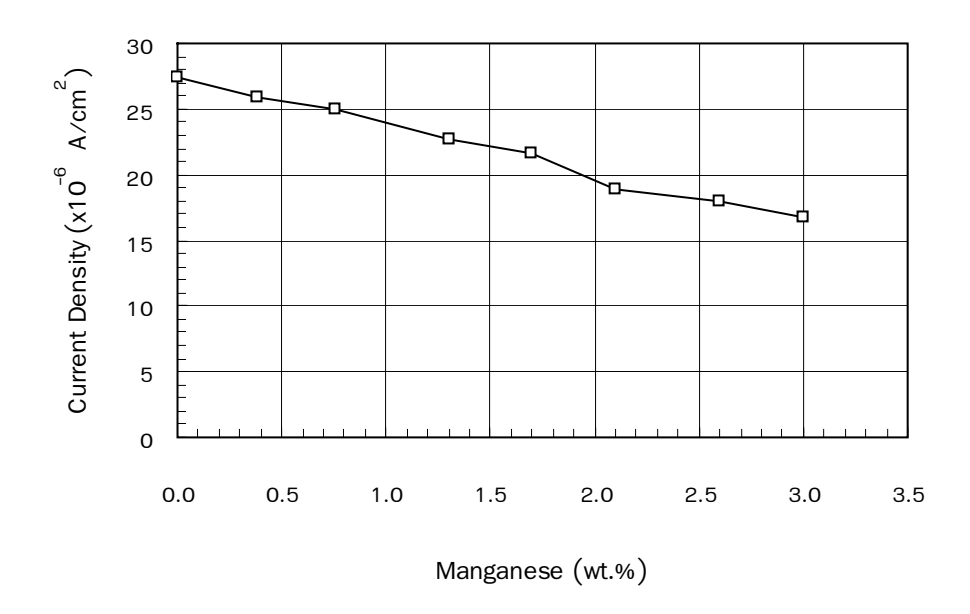
รูปที่ 4.29 แสดงการหาค่า $I_{\scriptscriptstyle
m corr}$ จากจุดตัดระหว่างเส้นโค้งคาโทดิกและเส้นโค้งอาโนดิก

สำหรับการทดสอบการกัดกร่อนของโลหะผสมเงินสเตอร์ลิงด้วยการวัดเส้นโพลาไรเซชันของ โลหะทดสอบในสารละลายโซเดียมคลอไรด์ 1 เปอร์เซ็นต์โดยน้ำหนัก ซึ่งอิ่มตัวด้วยก๊าซ ไฮโดรเจนซัลไฟด์ ที่อุณหภูมิ 25 $^{\circ}$ C ได้ค่า E_{corr} , E_{pp} , E_{p} และ I_{corr} ดังตารางที่ 4.10



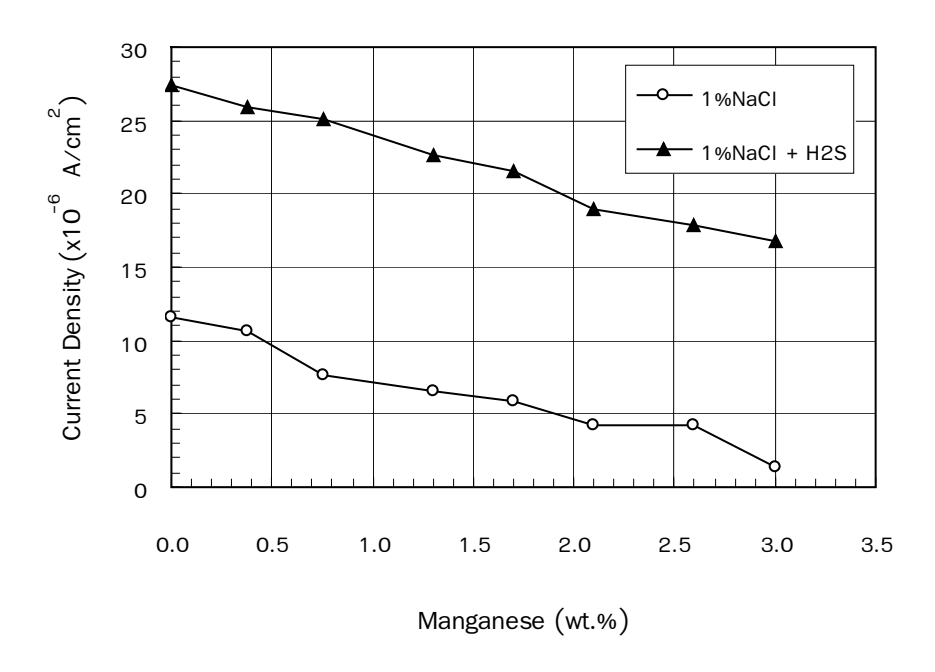
รูปที่ 4.30 ผลของธาตุแมงกานีสในโลหะผสมเงินสเตอร์ลิง ต่อค่า E_{cor}, E_{pp} และ E_{p} ในสารละลาย โซเดียมคลอไรด์ 1 เปอร์เซ็นต์โดยน้ำหนัก อิ่มตัวด้วยก๊าซไฮโดรเจนซัลไฟด์ ที่อุณหภูมิ

 $25\,^{\rm o}{\rm C}$

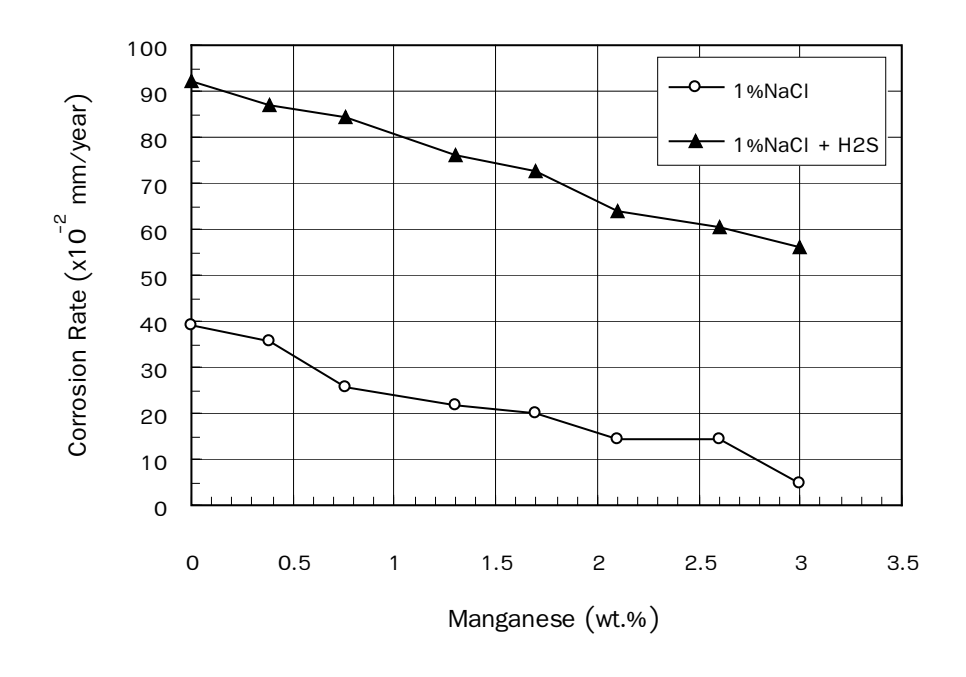


รูปที่ 4.31 ผลของธาตุแมงกานีสในโลหะผสมเงินสเตอร์ลิง ต่อค่า I_{corr} ในสารละลายโซเดียมคลอไรด์ 1 เปอร์เซ็นต์โดยน้ำหนัก อิ่มตัวด้วยก๊าซไฮโดรเจนซัลไฟด์ ที่อุณหภูมิ $25~^{
m OC}$

จากรูปที่ 4.30 และ 4.31 จะเห็นว่าค่า E_{corr} , E_{pp} , E_p และ I_{corr} ที่ได้ มีแนวโน้มไปในทิศทางเดียว กับการทดสอบในสารละลายโซเดียมคลอไรด์ 1 เปอร์เซ็นต์โดยน้ำหนัก กล่าวคือ ปริมาณแมงกานีสใน โลหะผสมที่เพิ่มขึ้น ช่วยเพิ่มความสามารถในการต้านทานการกัดกร่อนของโลหะผสมได้ ค่า I_{corr} ที่หา ได้ นำมาคำนวณหาค่าอัตราการกัดกร่อนได้ผลดังตารางที่ 4.10 สำหรับการทดสอบด้วยสารละลายที่ อิ่มตัวด้วยก๊าซไฮโดรเจนซัลไฟด์นี้ จะไม่สามารถหาค่า I_p ได้ เนื่องจากโลหะทดสอบไม่มีฟิล์มพาสซีพ เกิดขึ้นที่ผิว เพราะก๊าซไฮโดรเจนซัลไฟด์ซึ่งเป็นสารประกอบซัลเฟอร์มีผลยับยั้งการเกิดฟิล์มของโลหะผสม เมื่อนำ ค่า I_{corr} และค่าอัตราการกัดกร่อนในการทดสอบการกัดกร่อนในสารละลายทั้งสอง ลักษณะมาเปรียบเทียบ แสดงดังรูปที่ 4.32 และ 4.33



รูปที่ 4.32 ผลของธาตุแมงกานีสในโลหะผสมเงินสเตอร์ลิงต่อค่า $I_{_{
m corr}}$ ในสภาวะที่มี $1\%{
m NaCl}$ เปรียบเทียบกับสภาวะที่มี $1\%{
m NaCl}$ อิ่มตัวด้วย $H_{_2}{
m S}$ ที่อุณหภูมิ $25~^{
m o}{
m C}$



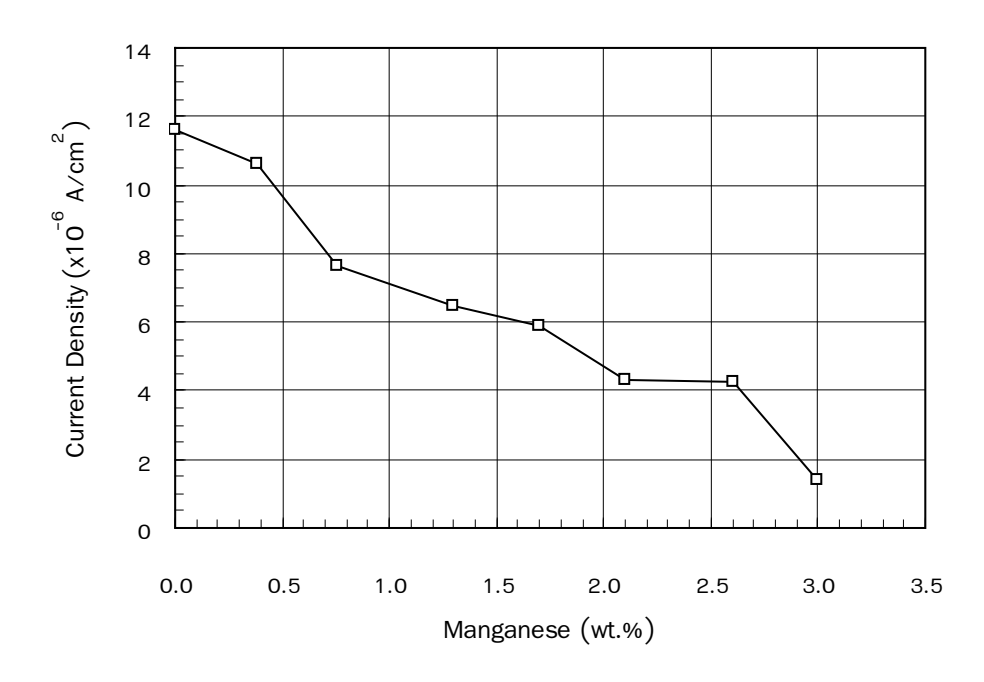
รูปที่ 4.33 ผลของธาตุแมงกานีสในโลหะผสมเงินสเตอร์ลิงต่อค่าอัตราการกัดกร่อน ในสภาวะที่ มี 1%NaCl เปรียบเทียบกับสภาวะที่มี 1%NaCl อิ่มตัวด้วย H_2S ที่อุณหภูมิ $25\,^{\circ}C$

จากรูปที่ 4.32 และ 4.33 ค่าความหนาแน่นกระแสไฟฟ้าการกัดกร่อน หรือ I_{oor} ที่ได้จากเส้น โพลาไรเซชัน สามารถนำมาคำนวณหาอัตราการสูญเสียเนื้อโลหะได้เป็นค่าอัตราการกัดกร่อน (mm/year) ในการทดสอบการกัดกร่อนของโลหะผสมทั้ง 8 ชุด จะเห็นว่าเมื่อโลหะผสมมีปริมาณ แมงกานีสสูงขึ้น ค่าความหนาแน่นกระแสไฟฟ้าการกัดกร่อนที่ได้จากเส้นโพลาไรเซชันมีค่าลดลง อัตราการกัดกร่อนที่คำนวณได้มีค่าลดลงด้วย แสดงว่าฟิล์มออกไซด์ที่เกิดขึ้นบนผิวของโลหะผสมช่วย เพิ่มความต้านทานในการกัดกร่อนและการหมอง โดยฟิล์มนี้จะปกคลุมที่ผิวหน้าของโลหะผสม หน่วง การเกิดปฏิกิริยาของธาตุหลักในโลหะผสมกับก๊าซซัลเฟอร์หรือออกซิเจนที่อยู่ในบรรยากาศ ทำให้โลหะผสมที่มีปริมาณแมงกานีสที่สูงกว่า มีความเสถียรสูง และสามารถต้านทานการกัดกร่อนและต้านทาน การหมองได้ดีกว่า

4.11 สรุปผลการทดลอง

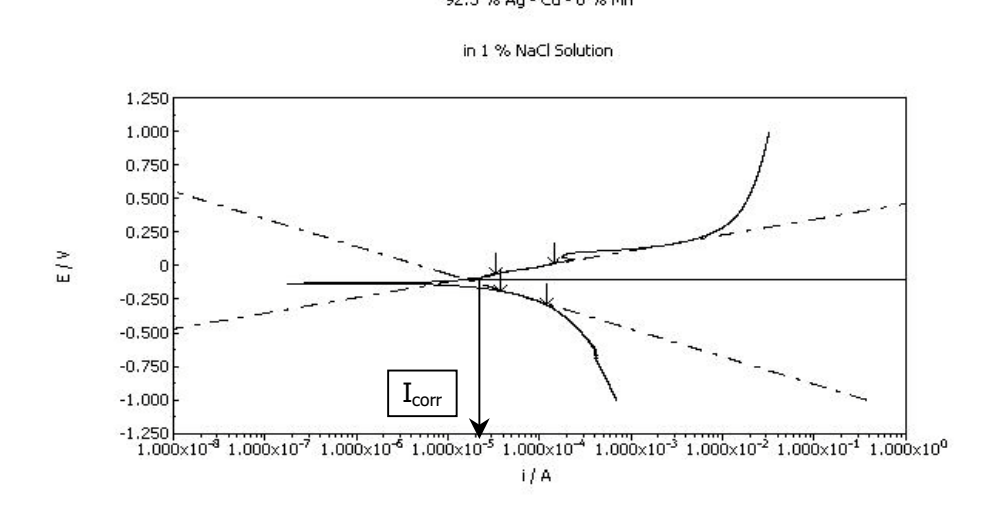
- ธาตุแมงกานีสที่เติมลงในโลหะผสมเงิน 92.5% ทองแดง แมงกานีส พบในโครงสร้าง
 ยูเทคติคที่เป็น Cu rich phase ในปริมาณสูงกว่าที่พบในโครงสร้างเนื้อพื้น (Ag rich phase)
- 2. ความแข็งและความแข็งแรงของโลหะเงินสเตอร์ลิงจะมีค่าลดลงตามปริมาณทองแดงที่ลด ลง (ปริมาณแมงกานีสเพิ่มขึ้น) โดยโครงสร้างยูเทคติคที่พบมีปริมาณลดลง โครงสร้างเนื้อพื้น (Ag rich phase) พบในปริมาณมากขึ้น ค่าความต้านทานแรงดึงสูงสุด ความเค้นจุดคราก และความแข็ง จึง มีแนวโน้มลดลง โดยโลหะผสมเงินสเตอร์ลิงที่มีปริมาณแมงกานีส 3.0 เปอร์เซ็นต์โดยน้ำหนัก มีความ แข็งเพียง 52.1 HV ซึ่งต่ำกว่าความแข็งของโลหะเงินสเตอร์ลิงที่ไม่ได้เติมแมงกานีส (66.8 HV) ความ ต้านทานแรงดึงสูงสุด และความเค้นจุดครากที่มีค่าสูงที่สุด พบในโลหะเงินสเตอร์ลิงที่ไม่มีแมงกานีส คือ 208.7 และ 80.88 MPa ตามลำดับ
- 3. ปริมาณแมงกานีสในโลหะผสมในช่วง 1.3-3.0 เปอร์เซ็นต์ มีผลในการเพิ่มความสามารถ ในการต้านทานการหมอง โดยค่าการเปลี่ยนแปลงสีผิว (DE*) ของโลหะผสมแมงกานีสค่อนข้างต่ำ เมื่อ เทียบกับค่า DE* ของโลหะผสมที่ไม่ได้เติมแมงกานีส และเมื่อโลหะผสมมีปริมาณแมงกานีสตั้งแต่ 0.38 เปอร์เซ็นต์ขึ้นไป จะมีผลต่อค่าศักย์ไฟฟ้าการกัดกร่อน ($E_{\rm corr}$) และความหนาแน่นกระแสไฟฟ้า ขณะเกิดฟิล์มพาสซีพ ($I_{\rm p}$) อย่างซัดเจน โดยค่า $E_{\rm corr}$ และ $I_{\rm p}$ ของโลหะผสมที่มีแมงกานีส 0.38 เปอร์เซ็นต์ เท่ากับ -70 mV และ $50.34~\mu{\rm A/cm}^2$ ตามลำดับ ซึ่ง $E_{\rm corr}$ มีค่าต่ำกว่าและ $I_{\rm p}$ มีค่าสูงกว่าค่าที่ได้จากโลหะ ผสมที่ไม่มีแมงกานีส ($E_{\rm corr}=-132~{\rm mV},~I_{\rm p}=117.58~\mu{\rm A/cm}^2)$ ค่า $E_{\rm corr}$ สูง แสดงว่าโลหะเกิดการกัด กร่อนได้ยาก ค่า $I_{\rm p}$ ต่ำกว่า แสดงว่าฟิล์มสามารถต้านทานการแพร่ผ่านของอิจอนได้มากกว่า สามารถ หน่วงการเกิดปฏิกิริยาที่ผิวโลหะจะสัมผัสกับปัจจัยที่เอื้อให้เกิดการหมอง เช่น ออกซิเจนหรือซัลเฟอร์ ช่วยป้องกันการหมองของโลหะเงินสเตอร์ลิงได้

- 4. โลหะผสมเงินสเตอร์ลิงที่มีแมงกานีสตั้งแต่ 1.7 เปอร์เซ็นต์โดยน้ำหนักขึ้นไป จะมีจุดสีดำ บนผิวชิ้นงานกระจายอยู่ทั่วไป เนื่องจากผิวโลหะทำปฏิกิริยากับบรรยากาศขณะหล่อ ทำให้ผิวชิ้นงาน ขาดความสวยงาม และความเงางาม
- 5. ส่วนผสมทางเคมีของโลหะเงินสเตอร์ลิงที่เหมาะสม คือ 6.14%Cu 1.3%Mn balance of Ag โลหะที่ส่วนผสมนี้จะมีสมบัติทางกล คือ ความแข็ง และความแข็งแรงค่อนข้างดี มีความสามารถใน การต้านทานการหมองที่เหมาะสม และลักษณะผิวหลังการหล่อสะอาด ไม่มีข้อบกพร่องที่ผิวหน้า หาก เป็นโลหะผสมที่มีแมงกานีสต่ำกว่านี้หรือไม่มีเลย สมบัติทางกลดี แต่ความต้านทานการหมองต่ำ ใน ทางตรงข้าม หากมีปริมาณแมงกานีสสูง คือ ตั้งแต่ 1.7 เปอร์เซ็นต์โดยน้ำหนักขึ้นไป ความต้านทานการ หมองดี แต่สมบัติทางกลต่ำ ทั้งยังเกิดข้อบกพร่องลักษณะจุดสีดำบนผิวโลหะ ทำให้ลดความเงางาม ของผิวโลหะเงิน สเตอร์ลิง



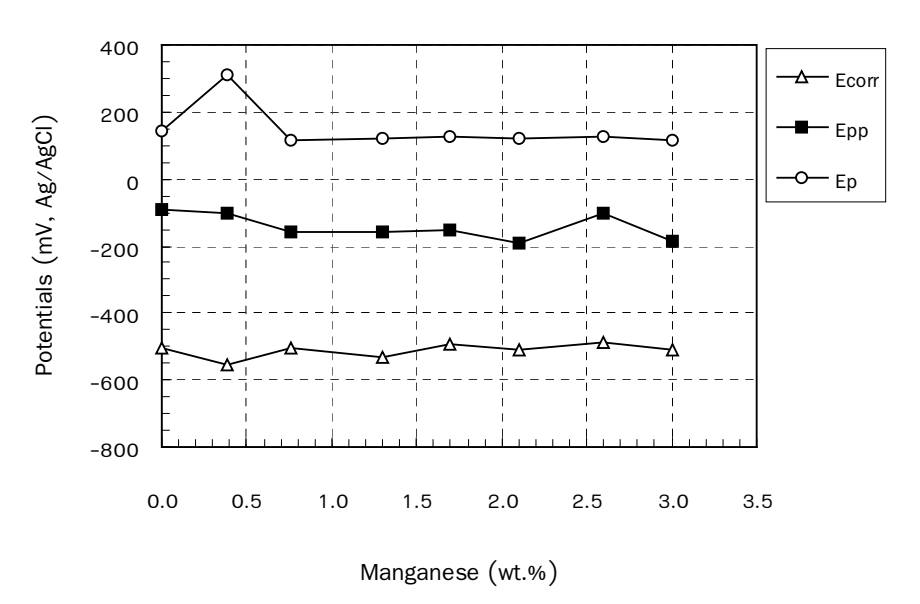
รูปที่ 4.28 ผลของธาตุแมงกานีสในโลหะผสมเงินสเตอร์ลิง ต่อค่า I_{corr} ในสารละลาย โซเดียมคลอไรด์ 1 เปอร์เซ็นต์โดยน้ำหนัก ที่อุณหภูมิ 25 $^{
m o}{
m C}$

จากรูปที่ 4.26, 4.27 และ 4.28 ทดสอบในสารละลายโซเดียมคลอไรด์ 1 เปอร์เซ็นต์โดยน้ำ หนัก พบว่าเมื่อโลหะเงินสเตอร์ลิงมีปริมาณแมงกานีสมากขึ้น มีผลในการเพิ่มค่า ${
m E}_{\scriptscriptstyle {
m corr}}$ ลดค่า ${
m E}_{\scriptscriptstyle {
m p}}$ และ ค่า ${
m I}_{
m p}$ อย่างเห็นได้ชัด แต่มีผลในการลดค่า ${
m E}_{
m p}$ ไม่ชัดเจนนักแต่มีแนวโน้มที่ลดลง แสดงว่าปริมาณ แมงกานีสที่เติมลงในโลหะเงินสเตอร์ลิง มีผลในการเพิ่มความสามารถในการต้านทานการกัดกร่อน ของฟิล์มที่เกิดขึ้น โลหะเงินสเตอร์ลิงที่มีปริมาณแมงกานีส 3 เปอร์เซ็นต์โดยน้ำหนัก มีค่า $E_{corr} = -54$ ${
m mV}$ ซึ่งสูงกว่าในโลหะผสมที่ไม่มีปริมาณแมงกานีส (${
m E}_{
m corr}=$ -132 ${
m mV}$) โดยโลหะผสมที่มีค่า ${
m E}_{
m corr}$ ต่ำ จะ ถูกกัดกร่อนได้ง่ายกว่า ค่า ${
m E}_{_{
m p}}$ ที่ได้ลดลงน้อยมาก แสดงว่าปริมาณแมงกานีสที่เพิ่มขึ้นไม่มีผลต่อการ ต้านทานการแตกตัวของฟิล์มป้องกันมากนัก คือ หากโลหะผสมอยู่ในสภาวะที่มีสนามไฟฟ้าที่เหมาะ สม ฟิล์มก็จะสามารถแตกตัวได้ และเนื่องจากค่า ${
m E}_{
m p}$ คือ ค่าศักย์ไฟฟ้าที่เกิดการเปลี่ยนสภาวะที่ไม่มี ฟิล์มไปเป็นสภาวะขณะเกิดฟิล์มที่ผิว (active-passive transition) การลดลงของค่า ${
m E}_{
m pp}$ (อัตราการลดลง ค่อนข้างต่ำ) เมื่อโลหะผสมมีปริมาณแมงกานีสสูงขึ้น แสดงว่าโลหะผสมนั้นสามารถเกิดฟิล์มพาสซีพ (passive film) ได้ง่ายขึ้น และการลดของค่า I ู ที่ชัดเจนอาจชี้ให้เห็นว่าฟิล์มที่ผิวของโลหะผสม มีความ สามารถที่จะต้านทานการไหลผ่านของอิออนได้มากขึ้น ป้องกันการแพร่ของออกซิเจนหรือซัลเฟอร์ใน ผสมที่ไม่ได้เติมแมงกานีสมีค่า 117.58 $\mu A/cm^2$ และค่า $I_{
m j}$ จะลดลงเหลือเพียง 5.4 $\mu A/cm^2$ ในโลหะผสม ที่มีแมงกานีส 3.0 เปอร์เซ็นต์โดยน้ำหนัก สำหรับค่า $I_{\scriptscriptstyle corr}$ ที่ได้จากจุดตัดของเส้นโค้งคาโทดิกและอาโน ดิก สามารถหาได้ดังรูปที่ 4.29 โดยเลือกจุดเพื่อหาความชันของเส้นโค้งทั้งสอง ค่ากระแสที่จุดตัดคือค่า I_{corr} คำนวณค่าอัตราการกัดกร่อนโดยใช้โปรแกรมคอมพิวเตอร์ที่เชื่อมต่อกับเครื่องโพเทนซิโอสแตท หรือนำค่า I_{corr} ที่หาได้ ไปคำนวณโดยใช้สูตรจากสมการที่ (4.7) ผลการคำนวณแสดงไว้ในตารางที่ 4.9

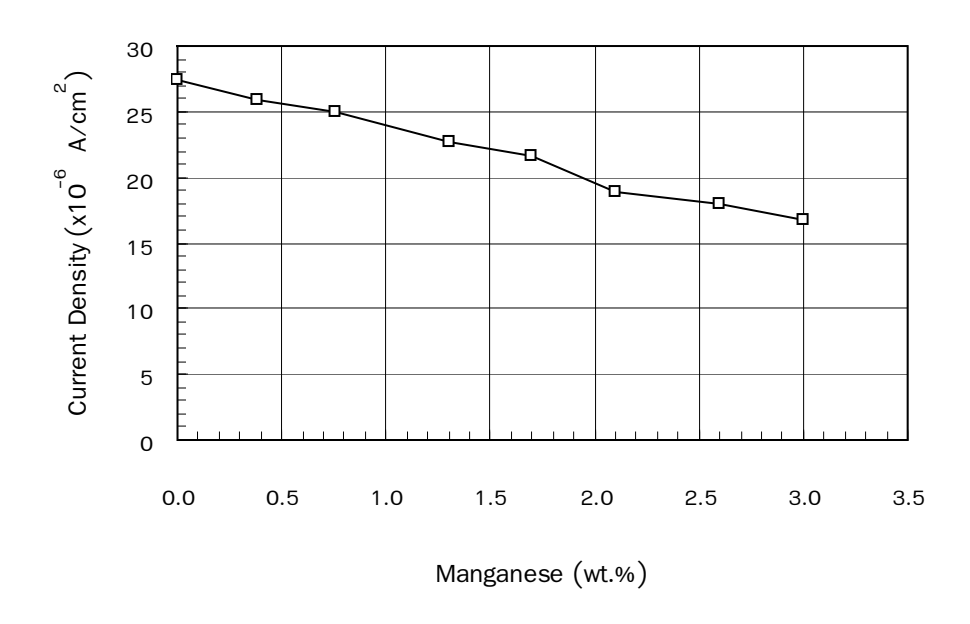


รูปที่ 4.29 แสดงการหาค่า $I_{\scriptscriptstyle
m corr}$ จากจุดตัดระหว่างเส้นโค้งคาโทดิกและเส้นโค้งอาโนดิก

สำหรับการทดสอบการกัดกร่อนของโลหะผสมเงินสเตอร์ลิงด้วยการวัดเส้นโพลาไรเซชันของ โลหะทดสอบในสารละลายโซเดียมคลอไรด์ 1 เปอร์เซ็นต์โดยน้ำหนัก ซึ่งอิ่มตัวด้วยก๊าซ ไฮโดรเจนซัลไฟด์ ที่อุณหภูมิ 25 $^{\circ}$ C ได้ค่า E_{corr} , E_{pp} , E_{pp} และ I_{corr} ดังตารางที่ 4.10



รูปที่ 4.30 ผลของธาตุแมงกานีสในโลหะผสมเงินสเตอร์ลิง ต่อค่า E_{corr} , E_{pp} และ E_p ในสารละลาย โซเดียมคลอไรด์ 1 เปอร์เซ็นต์โดยน้ำหนัก อิ่มตัวด้วยก๊าซไฮโดรเจนซัลไฟด์ ที่อุณหภูมิ $25\,^{\circ}\mathrm{C}$



รูปที่ 4.31 ผลของธาตุแมงกานีสในโลหะผสมเงินสเตอร์ลิง ต่อค่า I_{corr} ในสารละลายโซเดียมคลอไรด์ 1 เปอร์เซ็นต์โดยน้ำหนัก อิ่มตัวด้วยก๊าซไฮโดรเจนซัลไฟด์ ที่อุณหภูมิ $25~^{
m OC}$

จากรูปที่ 4.30 และ 4.31 จะเห็นว่าค่า E_{corr} , E_{pp} , E_p และ I_{corr} ที่ได้ มีแนวโน้มไปในทิศทางเดียว กับการทดสอบในสารละลายโซเดียมคลอไรด์ 1 เปอร์เซ็นต์โดยน้ำหนัก กล่าวคือ ปริมาณแมงกานีสใน โลหะผสมที่เพิ่มขึ้น ช่วยเพิ่มความสามารถในการต้านทานการกัดกร่อนของโลหะผสมได้ ค่า I_{corr} ที่หา ได้ นำมาคำนวณหาค่าอัตราการกัดกร่อนได้ผลดังตารางที่ 4.10 สำหรับการทดสอบด้วยสารละลายที่ อิ่มตัวด้วยก๊าซไฮโดรเจนซัลไฟด์นี้ จะไม่สามารถหาค่า I_p ได้ เนื่องจากโลหะทดสอบไม่มีฟิล์มพาสซีพ เกิดขึ้นที่ผิว เพราะก๊าซไฮโดรเจนซัลไฟด์ซึ่งเป็นสารประกอบซัลเฟอร์มีผลยับยั้งการเกิดฟิล์มของโลหะผสม เมื่อนำ ค่า I_{corr} และค่าอัตราการกัดกร่อนในการทดสอบการกัดกร่อนในสารละลายทั้งสอง ลักษณะมาเปรียบเทียบ แสดงดังรูปที่ 4.32 และ 4.33